

инж. С.Д.Лейтес

**СПРАВОЧНИК
по определению
свободных длин
элементов
стальных
конструкций**

МОСКОВА 1963

ПРЕДИСЛОВИЕ

Справочник предназначен для определения свободных длин скжатых элементов стальных конструкций и содержит доведенное до численного результата решение 267 задач устойчивости стержневых систем.

Справочник является пособием для проектировщиков стальных конструкций, однако рассмотренные в справочнике задачи могут быть использованы при проектировании стержневых конструкций из других материалов.

Работа по составлению Справочника выполнена в Днепропетровском филиале института Проектстальконструкция.
Задачи 15, 176-183, 203-206 решены А.Г.Дорфманом.
Решение всех остальных 254 задач и составление Справочника
в целом принадлежит С.Д.Лейтесу.

Н.П.Мельников,
доктор технических
наук.

Введение

Сжатые элементы стальных конструкций всегда испытывают изгиб или от предусмотренных проектом нагрузок или от случайных эксцентриситетов. Потеря устойчивости таких элементов происходит в упруго-пластической области.

Упруго-пластические свойства стали отражены коэффициентами U и $U_{\text{н}}$, приведенными в нормах проектирования стальных конструкций. Эти коэффициенты являются функциями относительного эксцентриситета и гибкости элемента.

$$\lambda = \frac{l_0}{r},$$

где l_0 — свободная длина элемента, r — радиус инерции попечного сечения.

Свободная длина элемента определяется из расчета системы на устойчивость в эйлеровом смысле. Предполагается неограниченная применимость закона Гука и пропорциональное возрастание продольных усилий в элементах системы вплоть до момента потери устойчивости.

Определенная таким образом критическая сила элемента N^* не является реальной критической нагрузкой, но представляет собой характеристику упругой устойчивости элемента, входящего в состав системы. Сравнение рассматриваемого элемента с эталонным параллельно спиртиком оторицем, для которого эйлерова критическая сила равна

$$N^* = \frac{\pi^2 E I}{l^2},$$

дает возможность определить свободную длину элемента

$$l = \sqrt{\frac{E I}{N^*}}.$$

Свободная длина сжатого элемента ℓ_0 связана с его геометрической длиной ℓ зависимостью

$$\ell_0 = \mu \ell,$$

где μ — коэффициент свободной длины, обозначаемый в справочнике сокращенно: ксд.

Коэффициент свободной длины сжатого элемента зависит от схемы конструкции, от соотношений между длинами и жесткостями элементов, а также и от соотношений между продольными усилиями в элементах.

Справочник содержит данные до численного результата решения 267 задач упругой устойчивости. В большинстве случаев дается график или простая формула для определения величины ксд μ . Для задач устойчивости шарнирной цепи стержней на упругих опорах (глава третья) даны значения критических сил.

Рассмотренные в справочнике задачи разбиты на 8 глав в соответствии с расчетной схемой конструкций. Предполагается, что жесткость каждого из элементов постоянна по его длине.

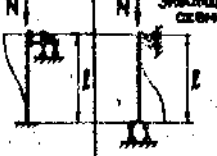
Сводка основных обозначений

- $\{l_1, l_2, l_3, \dots\}$ - длины элементов;
 $\{h, a, b\}$ -
- $\{J_1, J_2, J_3, \dots\}$ - моменты инерции элементов;
- $\{EJ_1, EJ_2, EJ_3, \dots\}$ - жесткости элементов;
- $\{N_1, N_2, N_3, \dots\}$ - продольные усилия в элементах;
- $\{N_1^*, N_2^*, N_3^*, \dots\}$ - критические значения продольных сжимающих усилий;
- $\{l_{01}, l_{02}, l_{03}, \dots\}$ - свободные длины элементов;
- $\{R_1, R_2, R_3, \dots\}$ - коэффициенты свободной длины элементов (сокращенное обозначение: код);
- $\{v\}$ - коэффициент жесткости упруго-перемещающейся опоры (сила, вызывающая единичное перемещение);
- $\{\mu\}$ - коэффициент жесткости упруго-вращающейся опоры (момент, вызывающий единичный угол поворота);
- $\{k, m, n, p, q\}$ - коэффициенты (параметры задачи), от которых зависит код v ;
- $\{K_{pr}, M_{pr}, N_{pr}\}$ - приведенные значения коэффициентов.

Глава первая

Однопролетные стержни, стержни с консолями.

Однопролетные стержни с четко выраженнымими условиями закрепления концов.

Задача	Характеристика	Схема	$\kappa \delta \beta$
1	Стержень, шарнирно опорный обутыми концами.		$\beta = 1$
2	Стержень, имеющий один конец защемленный, а другой - свободный.		$\beta = 2$
3	Стержень, имеющий на одном конце неподвижное, а на другом конце - подвижное защемление.		$\beta = 1$
4	Стержень, имеющий на одном конце защемление, а на другом - опору.		$\beta = 0,699$
5	Стержень, защемленный обутыми концами.		$\beta = 0,5$

Статики с консолями

Задача	Характеристика	Схема	Коэффициенты	КСВ р
6	Шарнирно опертый спержак с консолью.		$n = \frac{N_1 l_1}{N_2 l_2}$ $k = \frac{l_1 l_2}{l_2 l_1}$	β_1 по рис. 1 (смр 8) $\beta_2 = \sqrt{\frac{n}{k}} \beta_1$ или по табл. линейн рис. 1
7	Частичный случай задачи 6: сжато только консоль ($N_1 = 0$).		$k = \frac{l_1 l_2}{l_2 l_1}$	β_1 по рис. 2 (смр 9)
8	Частичный случай задачи 6: жесткость и сжимающая сила постоянны ($J_1 = J_2 = J$, $N_1 = N_2 = N$).		$k = \frac{l_2}{l_1}$ $J_1 = J_2$ $\beta_1 = \frac{\beta_2}{k}$	β_1 по рис. 3 (смр 8) $\beta_2 = \frac{\beta_1}{k}$
9	Эпизодический случай консоль спержак с консолью.		$n = \frac{N_1 l_1}{N_2 l_2}$ $k = \frac{l_1 l_2}{l_2 l_1}$	β_1 по рис. 4 (смр 8) $\beta_2 = \sqrt{\frac{n}{k}} \beta_1$ или по табл. линейн рис. 4
10	Частичный случай задачи 9: сжато только консоль ($N_1 = 0$).		$k_{sp} = \frac{4}{3} \frac{l_1 l_2}{l_2 l_1}$	β_1 по рис 2 (смр 9)

Стяжки с консолями

Задача	Характеристика	Схема	Расчетная схема	коэф. р.
11	Частный случай задачи 9: жесткость и сжимающая сила постоянны $(J_1 = J_2 = J, N_1 = N_2 = N)$.			$k = \frac{J_2}{L_1}$ Р ₁ по рис. 5 (стр. 11) $R_2 = \frac{A_1}{k}$ $L_{eff} = L_{real}$
12	Стяжение с обеих симметричных консолей.			R_1 по рис. 6 (стр. 12) $R_2 = \sqrt{\frac{R_1^2}{k^2} + N^2}$ или по табличным методам рис. 6
13	Частный случай задачи 12: скаты только консолями ($N_1 = 0$).			R_1 по рис. 2 (стр. 9)
14	Частный случай задачи 12: жесткость и сжимающая сила постоянны $(J_1 = J_2 = J, N_1 = N_2 = N)$.			$L_{eff} = L_{real} = L_1 + 2L_2$

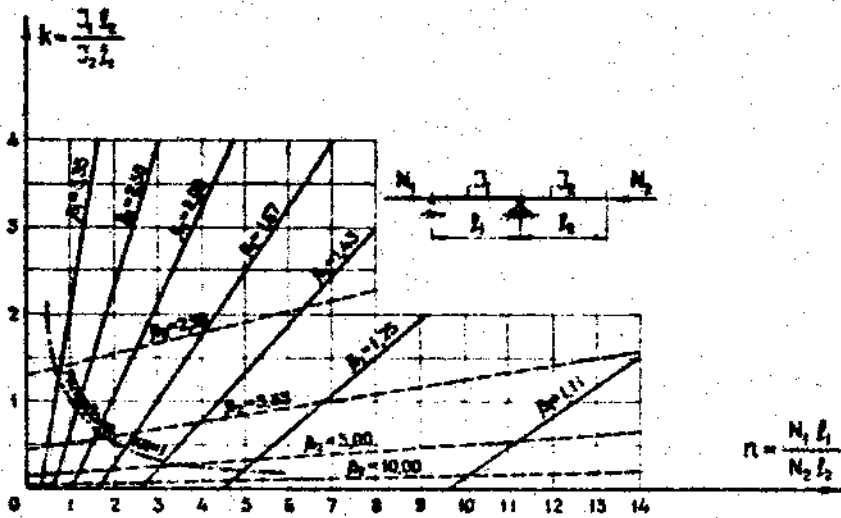


Рис. 1. Задача 6.

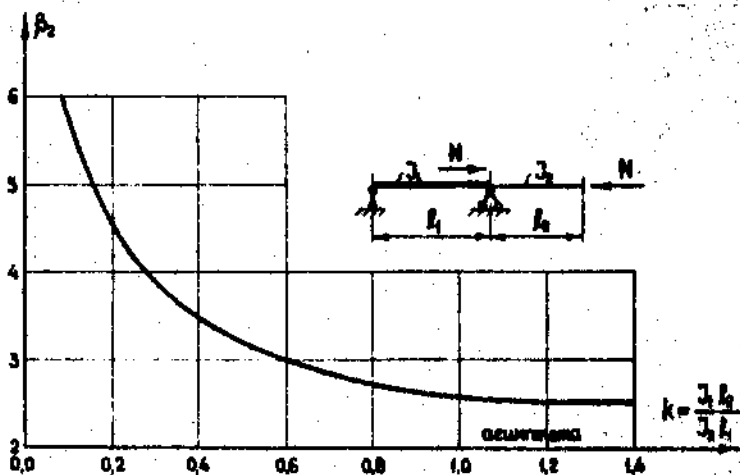


Рис. 2. Задача 7 (максимум задачи 10, 13 при k_{sp} близко к).

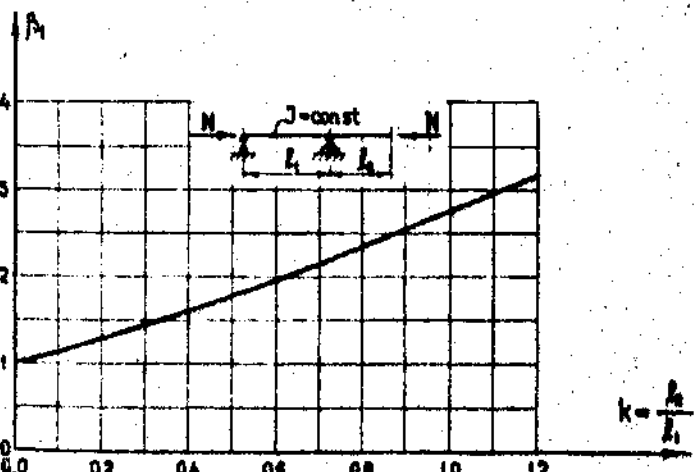


Рис. 3. Задача 8.

$$k = \frac{J_2 J_3}{J_1 J_4}$$

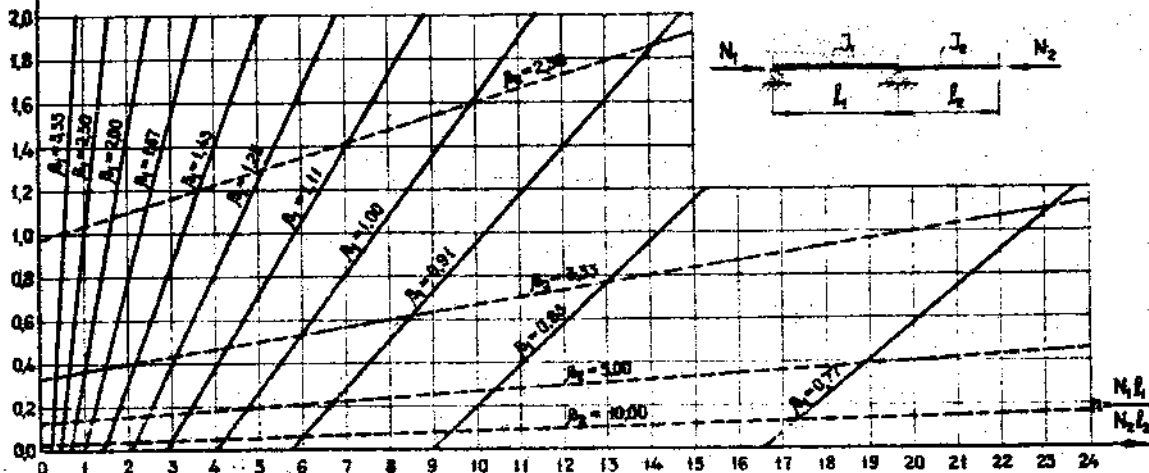


Рис. 4. Задача 9.

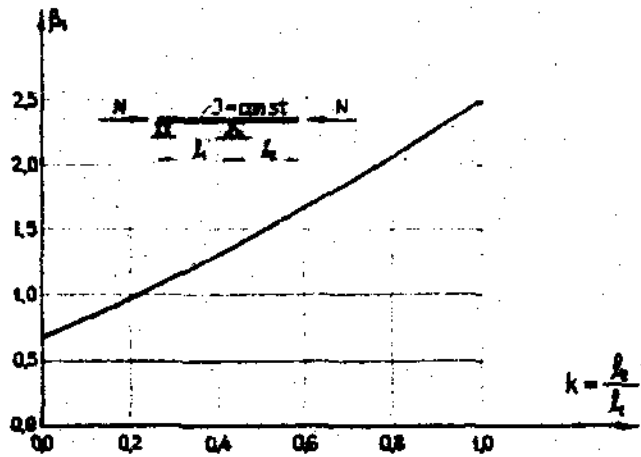


Рис. 5. Задача 11.

$$k = \frac{N_1 Z_1}{N_2 Z_2}$$

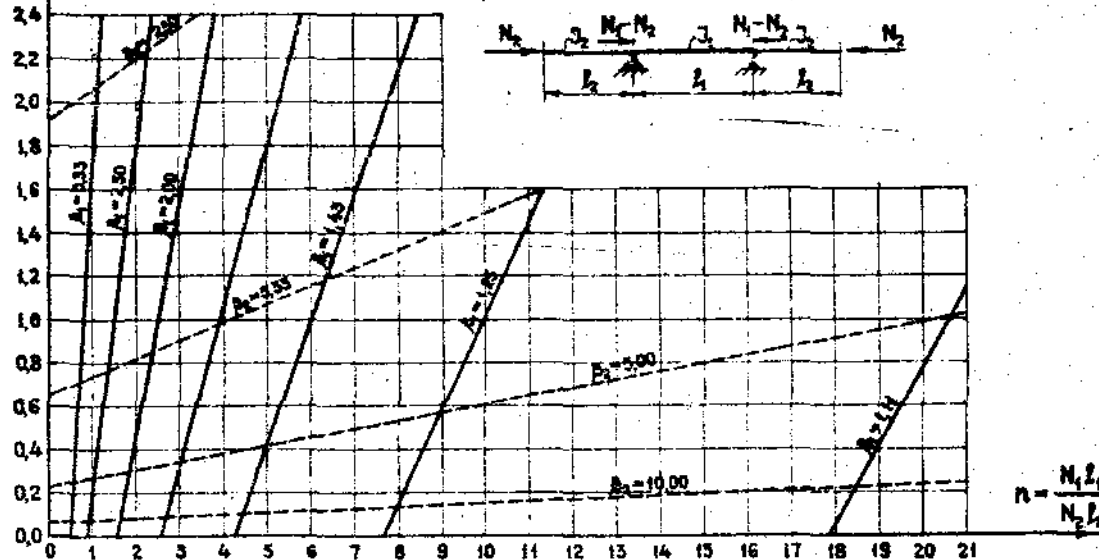


Рис. 6. Задача №2.

Глава вторая

ОДНОПРОЛЕТНЫЕ СТЕРЖНИ С УПРУГИМИ ЗАКРЕПЛЕНИЯМИ

Стержень I-2, входящий в состав плоской упругой системы (рис.7а на стр.19), в самом общем случае можно рассматривать как однопролетный стержень с упругими закреплениями. Связь стержня с системой в узле I характеризуется тремя коэффициентами жесткости упругой опоры общего типа μ_1, v_1, p_1 . При повороте узла I на угол

$\theta_1 = I$ в примыкающей к стержню конструкции возникает изгибающий момент M_1 и перпендикулярное оси стержня усилие P_1 . При линейном перемещении узла I на величину $\delta_1 = I$ в примыкающей конструкции возникает перпендикулярное оси стержня усилие V_1 и изгибающий момент P_1 . Подобным же образом коэффициенты μ_2, v_2 и p_2 характеризуют жесткость упругой опоры общего типа в узле 2.

Если стержень I-2 сжат, то его устойчивость в общем случае зависит от шести коэффициентов жесткости

$$\mu_1, v_1, p_1; \mu_2, v_2, p_2.$$

Численные значения этих коэффициентов определяются схемой примыкающей конструкции, жесткостью ее элементов, а также зависит от величины продольных усилий в этих элементах.

В некоторых случаях при исследовании устойчивости оказывается возможным пренебречь побочными реакциями P_1 и P_2 , принимая $S_1 = S_2 = 0$. Вопрос о величинах возникающей при этом погрешности недостаточно изучен.

Полагая $S_1 = S_2 = 0$, мы приводим задачу к однопролетному стержню, имеющему на концах упруго-вращающиеся опоры с коэффициентами

жесткости M_1, M_2 и упруго-перемещающейся опоры с коэффициентами жесткости V_1, V_2 (рис. 7б). Эти опоры, которые на схемах условно изображаются пружинами, являются независимыми: поворот узла I на некоторый угол θ_1 вызывает реактивный момент $M_1 \theta_1$ в упруго-вращающейся опоре, но не вызывает усилия в упруго-перемещающейся опоре и наоборот, перемещение узла I на величину δ_1 вызывает реактивное усилие $V_1 \delta_1$ в упруго-перемещающейся опоре, но не вызывает момента в упруго-вращающейся опоре.

Число коэффициентов жесткости, от которых зависит устойчивость стержня I-2, можно уменьшить до трех, если заменить коэффициенты V_1 и V_2 их средним гармоническим значением

$$V = \frac{1}{\frac{1}{V_1} + \frac{1}{V_2}} = \frac{V_1 V_2}{V_1 + V_2}$$

При этом мы приходим к схеме (6) или к схеме (2) (см. рис. 7), которые с точки зрения устойчивости эквивалентны.

Коэффициенты жесткости M_1, M_2 и V определяются обычным статическим расчетом примыкающей к стержню I-2 конструкции, когда эта конструкция не содержит сжатых элементов. Если же примыкающая к стержню I-2 конструкция содержит сжатые элементы, то коэффициенты M_1, M_2 и V должны быть определены на основе деформационного расчета. При этом величина сжимающих усилий в элементах примыкающей конструкции должна быть принята соответствующей состоянию потеря устойчивости стержня I-2. Иными словами, в критическом состоянии должно быть соблюдено заданное соотношение между сжимающими усилиями в стержне I-2 и в других стержнях системы. Определенные на основе деформационного расчета коэффициенты жесткости M_1, M_2 и V могут принимать отрицательные значения.

Настоящая глава содержит кинограмму и графики для определения свободной длины однопролетного стержня с упругими закреплениями независимого типа. Коэффициент свободной длины в является функцией трех относительных коэффициентов жесткости

$$m_1 = \frac{\mu_1 l}{EJ}, \quad m_2 = \frac{M_2 l}{EJ}, \quad n = \frac{y l^3}{EJ}.$$

Рассмотрен только случай положительных значений m_1, m_2 и n .
Предельные значения коэффициентов жесткости таковы:

$m_1 = \infty$ ($m_2 = \infty$) - закрепление препятствует повороту опорного сечения;

$m_1 = 0$ ($m_2 = 0$) - сопротивление повороту опорного сечения отсутствует;

$n = \infty$ - закрепление препятствует линейному перемещению опоры;

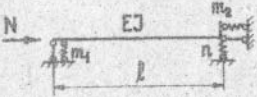
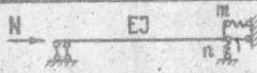
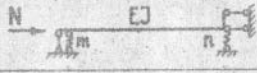
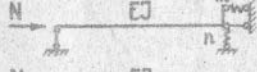
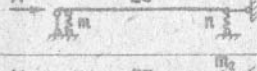
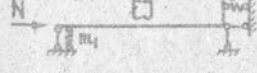
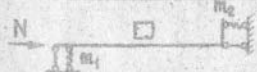
$n = 0$ - сопротивление линейному перемещению опоры отсутствует.

На стр. I7 систематизированы задачи устойчивости однопролетных стержней с тремя и двумя упругими закреплениями. Случай одного упругого закрепления рассмотрены на стр. I8. Все эти задачи являются частными случаями общей задачи I5 (три упругих закрепления).

Для полноты классификации всех возможных частных случаев на стр. I9 повторены задачи I-5 главы первой. Эти задачи получаются из общего случая (задача I5), если каждому из коэффициентов жесткости придать предельное значение со или 0.

Материалами настоящей главы рекомендуется пользоваться в том случае, когда в элементах примыкающей к исследуемому сжатому стержню конструкции сжимающие силы отсутствуют или настолько малы, что ими можно пренебречь.

Однограничные стержни с упругими закреплениями
(Три и два упругих закрепления)

Задача	Схема	Коэффициенты m_1 m_2 n	График	Пределы измене- ния β
15		$m_1 \quad m_2 \quad n$	Рис. 8 (стр. 22) пояснение на стр. 20	$0,5 \leq \beta \leq \infty$
16	$n = 0$		рис. 9	
17	$n = 0,1$		рис. 10	стр. 23
18	$n = 0,5$		рис. 11	
19	$n = i$	частные случаи задачи 15.	рис. 12	стр. 24
20	$n = 2$		рис. 13	
21	$n = 4$		рис. 14	стр. 25
22	$n = 10$		рис. 15	
23	$n = \infty$		рис. 16	стр. 26
24		$\infty \quad m \quad n$	рис. 17 (стр. 27)	$0,5 \leq \beta \leq 2$
		$m \quad \infty \quad n$		
25		$0 \quad m \quad n$	рис. 18 (стр. 28)	$0,7 \leq \beta \leq \infty$
		$m \quad 0 \quad n$		
23		$m_1 \quad m_2 \quad \infty$	рис. 16 (стр. 26)	$0,5 \leq \beta \leq 1$
26	$m_1 = m_2 = m$ частный случай задачи 23		рис. 20 (стр. 29)	
16		$m_1 \quad m_2 \quad 0$	рис. 9 (стр. 23)	$1 \leq \beta \leq \infty$
27	$m_1 = m_2 = m$ частный случай задачи 16		рис. 21 (стр. 30)	

Однопролетные стяжки с упругими закреплениями
 (Одно упругое закрепление)

Задача	Схема	Коэффициенты m_1 m_2 n	График	пределы изме- нения β
28		$\infty \infty n$	рис. 23 (стр. 31)	$0,5 \leq \beta \leq 1$
29		$\infty 0 n$	рис. 22 (стр. 30)	$0,7 \leq \beta \leq 2$
30		$\infty m \infty$ $m \infty \infty$	рис. 24 (стр. 31)	$0,5 \leq \beta \leq 0,7$
31		$\infty m 0$ $m \infty 0$	рис. 19 (стр. 29)	$1 \leq \beta \leq 2$
32		$0 m \infty$ $m 0 \infty$	рис. 25 (стр. 32)	$0,7 \leq \beta \leq 1$
33		$0 m 0$ $m 0 0$	рис. 26 (стр. 32)	$2 \leq \beta \leq \infty$
34		$0 0 n$		$\beta = 1$
	Требуется дополнительная проверка на устойчивость. Критическая сила, не зависящая от жесткости стяжки, равна		$N^* = v$	

Однопролетные стержни с упругими закреплениями
 (предельные случаи: коэффициенты m_1 , m_2 , n равны или бесконечности или нулю, см. главу первую, стр. 5)

Задача	Схема	Коэффициенты m_1 , m_2 , n	значения β
1		0 0 ∞	$\beta = 1$
2		∞ 0 0	$\beta = 2$
3		0 ∞ 0	$\beta = 1$
4		∞ 0 ∞ 0 ∞ ∞	$\beta = 0,7$
5		∞ ∞ ∞	$\beta = 0,5$

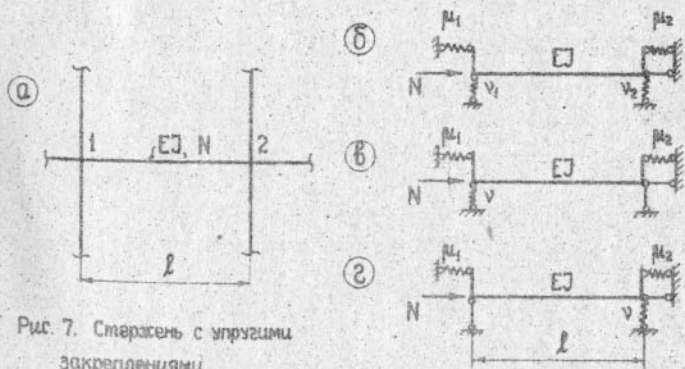


Рис. 7. Стержень с упругими закреплениями.

Пояснение к номограмме (рис.8)

Задача 15. Общий случай однопролетного стержня с упругими закреплениями

Номограмма предназначена для определения ксд β по известным значениям коэффициентов жесткости упругих опор m_1 , m_2 и n .

Шкалы m_1 и m_2 совпадают и расположены на окружности.

Шкала n начесана на вертикальной прямой в левой части номограммы (при $n \leq 10$) и на наклонной прямой в правой части номограммы (при $n \geq 20$). К шкале n примыкает сетка криволинейных отрезков, каждый из которых соответствует указанному на шкале фиксированному значению n . Изостабы (кривые постоянного значения ксд β) представляют собой прямолинейные отрезки, касающиеся окружности и нанесенные на номограмму тонкими линиями.

Правило пользования. Проводим секущую через точку m_1 и m_2 на окружности. Находим точку пересечения этой секущей с криволинейным отрезком, соответствующим заданному значению n . Искомое значение β прочитываем по цифрам, стоящим справа от вертикальной шкалы n и под криволинейным отрезком $n=0$ (при $n \leq 0$) или же по цифрам, стоящим справа от криволинейного отрезка $n=\infty$ (при $n \geq 20$).

В случае, когда $m_1 = \infty$ (или $m_2 = \infty$) секущая проводится через точки, имеющие одинаковые отметки m_2 (или m_1) на окружности и на горизонтальном радиусе.

Пример 1. Дано $m_1 = 2$, $m_2 = 4$, $n = 4$. Прикладываем линейку (желательно прозрачную) к точкам $n_1 = 2$, $m_2 = 4$ на окружности и замечаем точку пересечения линейки с криволинейным отрезком $n = 4$. По шкале слева прочитываем $\beta = 1,15$.

Пример 2. Дано $m_1 = 2$, $m_2 = 0,5$, $n = 20$. Прикладываем линейку, прочитываем по шкале справа $\beta = 0,85 \pm$

Пример 3. Дано $m_1 = \infty$, $m_2 = 3$, $n = 6$. Прикладываем линейку к точкам $m_2 = 3$ на окружности и на горизонтальном радиусе. Замечая точку пересечения линейки с криволинейным отрезком $n = 6$ прочитываем по шкале слева $\beta = 0,93 \pm$.

Примечание: В случае $m_1 = m_2 = \infty$ следует пользоваться графиком на рис. 23 (задача 23)!

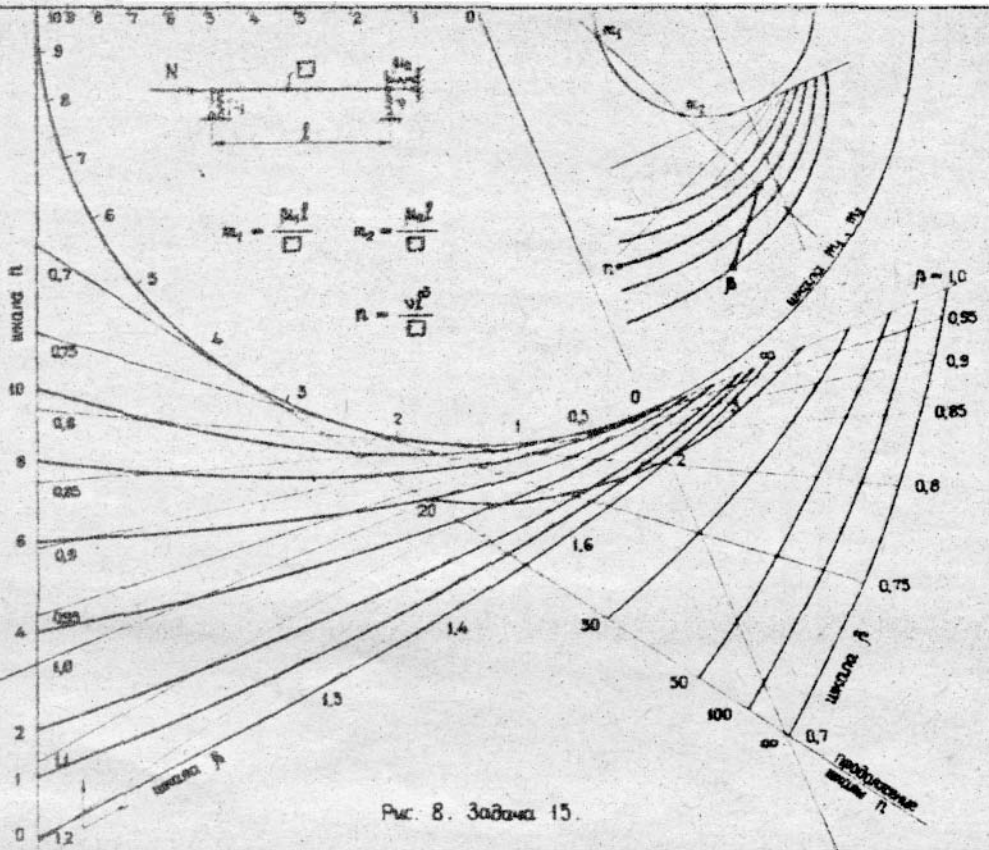


Рис. 8. Задача 15.

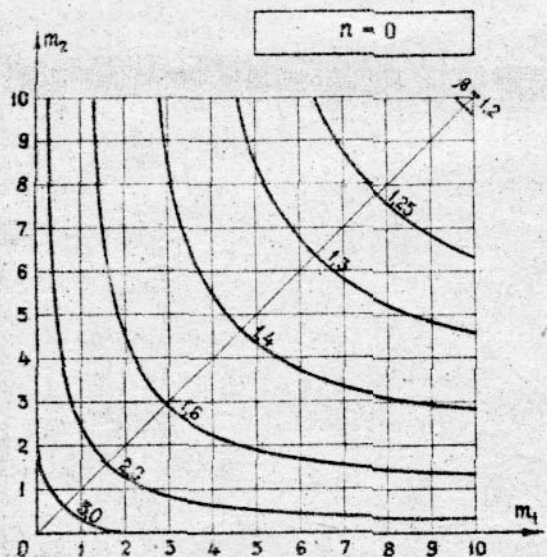


Рис. 9. Задача 16.

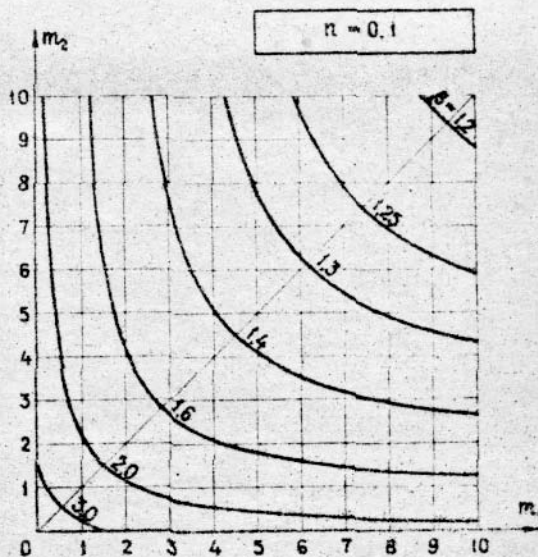


Рис. 10. Задача 17.

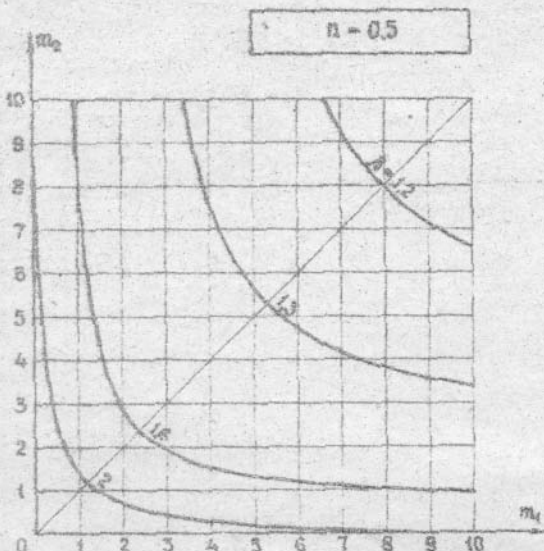


Рис. 11. Задача 18.

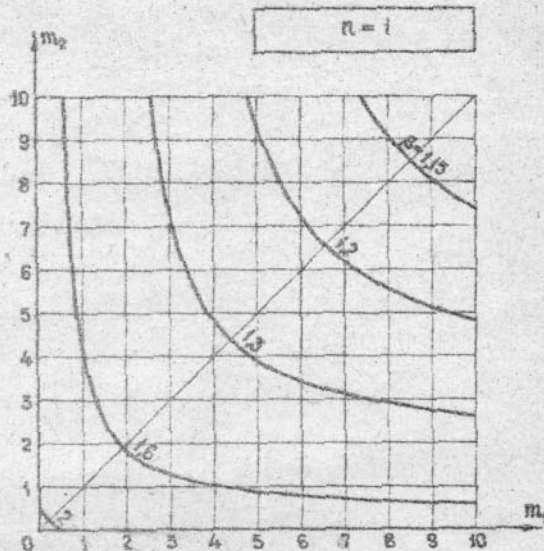


Рис. 12. Задача 19.

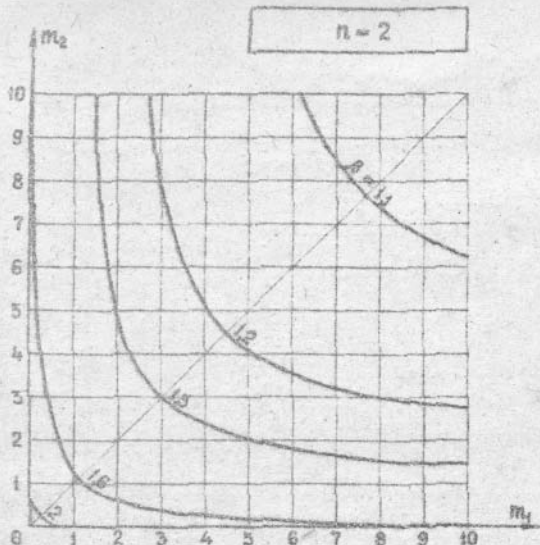


Рис. 13. Задача 20.

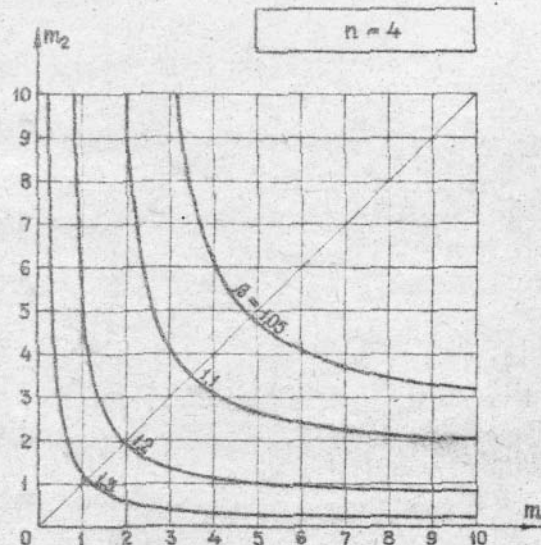


Рис. 14. Задача 21.

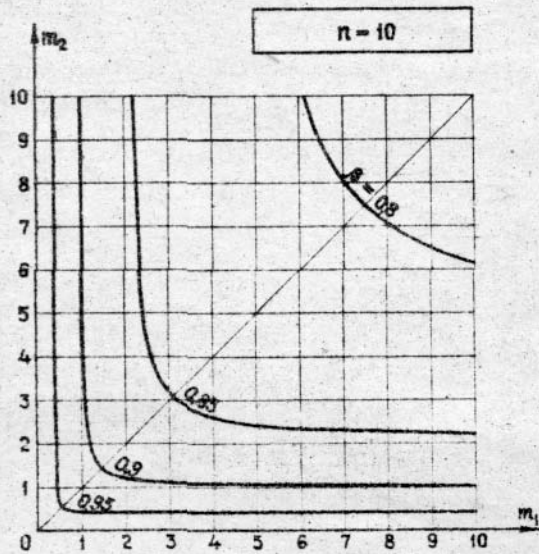


Рис. 15. Задача 22.

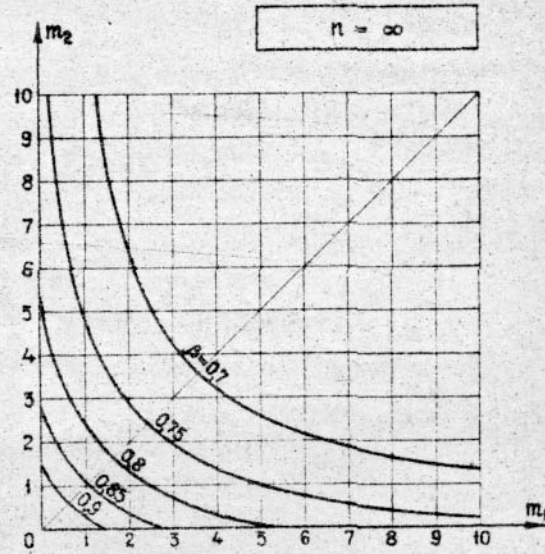


Рис. 16. Задача 23
(также задачи 107, 117).

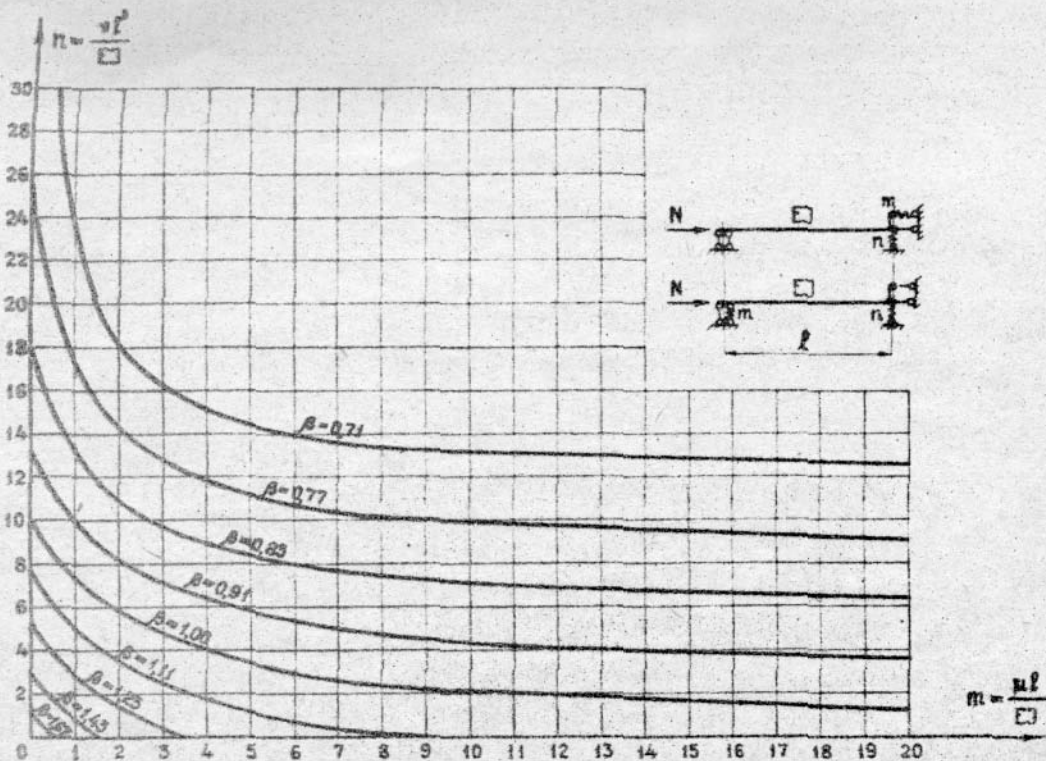


Рис. 17. Задача 24.

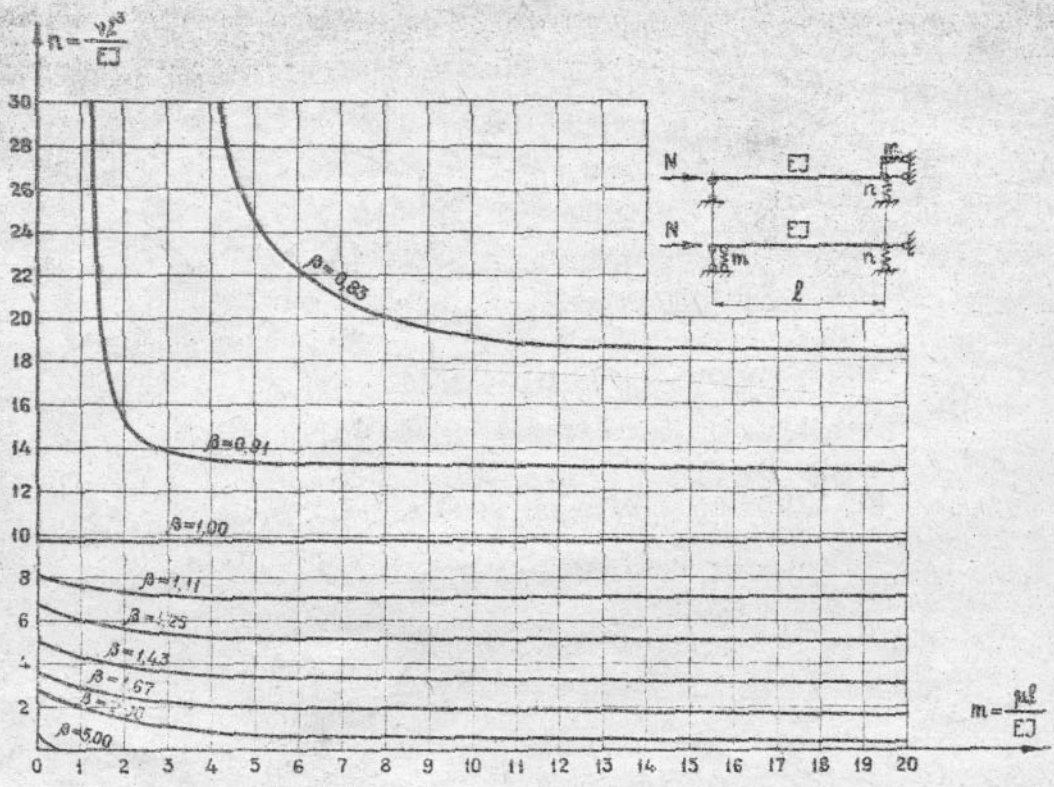


Рис. 18. Задача 25.

$$m = \frac{\mu E}{EJ}$$

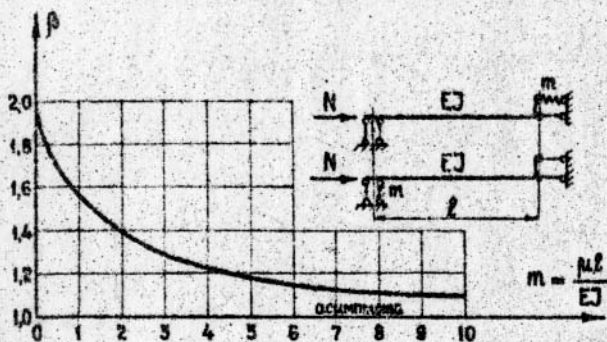


Рис. 19. Задача 31
(также задачи 93, 98, 200, 201).

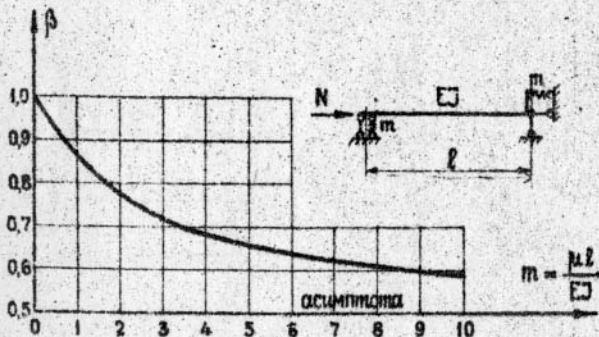


Рис. 20. Задача 26
(также задачи 108, 118, 162).

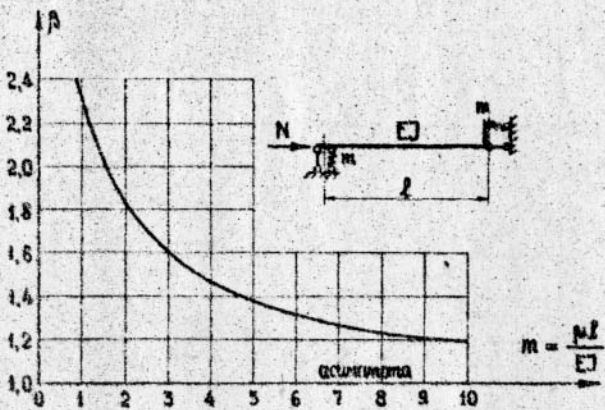


Рис. 21. Задача 27
(также задача 166).

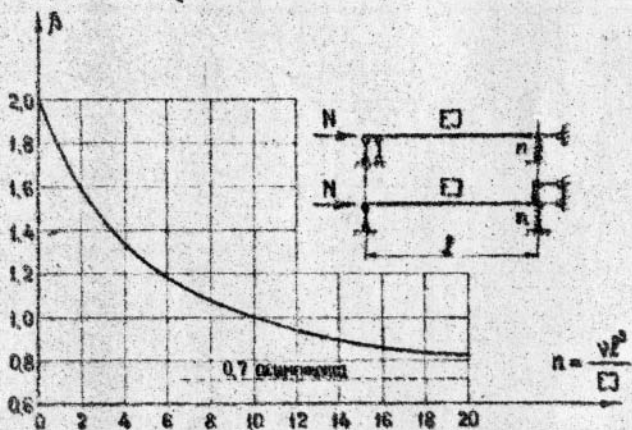


Рис. 22. Задача 29
(также задача 127 при $N_{\text{вн}} = \text{вместо } n$).

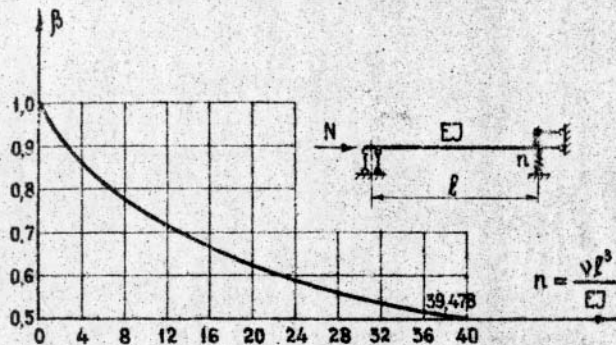


Рис. 23. Задача 28.

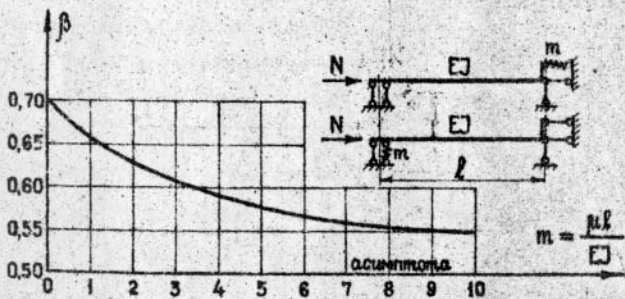


Рис. 24. Задача 30.
(также задачи 83, 88, 99, 113, 121, 136).

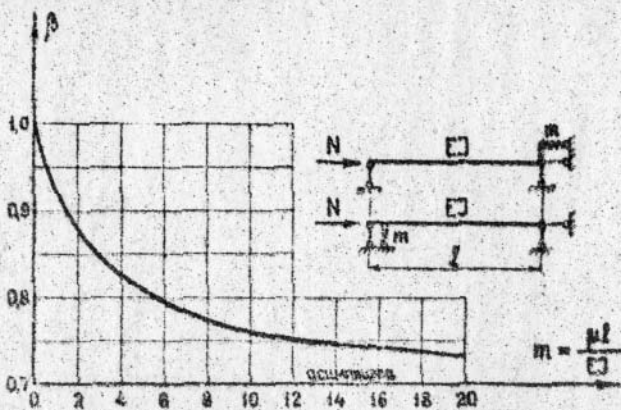


Рис. 25. Задача 32.
(также задачи 78, 84, 94, 103, 111, 135, 173, 174).

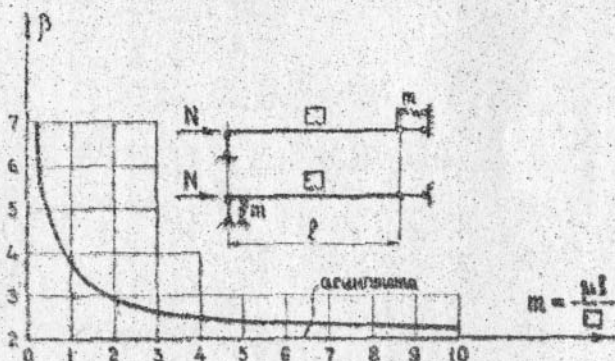


Рис. 26. Задача 33.
(также задачи 169, 170).

Глава третья

СИСТЕМЫ СТЕРЖНЕЙ С УПРУГИМИ СОЕДИНЕНИЯМИ

В настоящей главе рассмотрена устойчивость следующих систем:

- 1) Шарнирные цепи стержней на упругих опорах.
- 2) Последовательности упруго соединенных в вершине стоек.
- 3) Последовательности упруго соединенных шарнирно опиertoх балок.

Шарнирные цепи стержней на упругих опорах

Потеря устойчивости шарнирной цепи стержней на упруго-перемещающихся опорах (рис. 27) характеризуется перемещением опор при сохранении прямолинейной формы каждого из стержней (рис. 28). Критическая система нагрузок зависит от соотношения между длинами ℓ_i и сжимающими силами N_i стержней, а также от коэффициентов жесткости упругих опор V_i (V_i — реакция опоры i , соответствующая ее единичному перемещению).

Ниже даются формулы и графики для определения критических сил N_i^* в указанном смысле.

Каждый из стержней системы может потерять устойчивость по схеме однопролетного стержня на шарнирных неподвижных опорах (рис. 29). Поэтому, кроме проверки устойчивости системы в целом, необходима проверка устойчивости каждого из стержней в отдельности при коэффициенте $\beta = 1$.

Последовательности упруго соединенных в вершине стоек

Если основания стоек закреплены шарнирно (задачи 66-72), то возможны две независимые формы потери устойчивости:

а) Потеря устойчивости системы в целом, связанная с перемещением вершин стоек при сохранении их прямолинейной формы. Критическая система нагрузок зависит от соотношения между длинами l_i и скжимающими силами N_i стоек, а также от коэффициентов жесткости V_i упругих связей (V_i - усилие, соответствующее единичному удлинению связи).

Ниже даются формулы и графики для определения критических сил N_i^* в указанном смысле.

б) Потеря устойчивости одной из стоек системы, связанная с выпучиванием стойки при отсутствии перемещения вершины. Поэтому необходима проверка устойчивости каждой из стоек при ксд $\beta = 1$.

Если основания стоек защемлены (задачи 73, 74), то потеря устойчивости характеризуется одновременно выпучиванием стоек и перемещением их вершин. Величина ксд β_i зависит от соотношения между длинами l_i , жесткостями EJ_i и скжимающими силами N_i стоек, а также от коэффициентов жесткости V_i упругих связей.

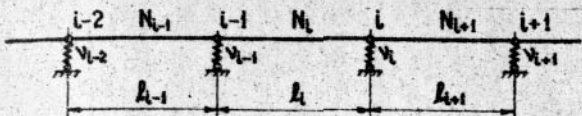


Рис. 27. Шарнирная цепь стяжки на упругих опорах.

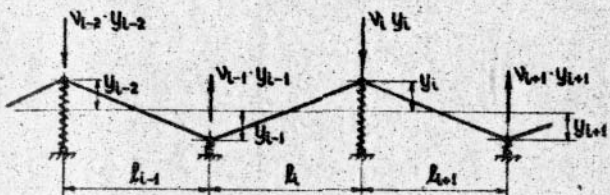
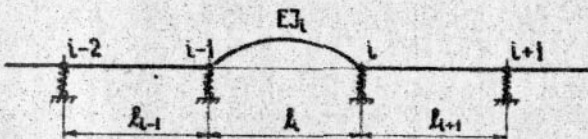


Рис. 28. Потеря устойчивости системы.

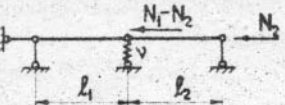
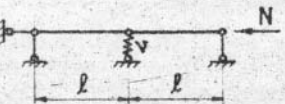
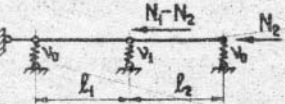
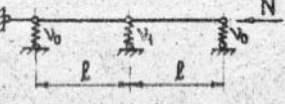
Рис. 29. Потеря устойчивости стяжки ($\beta = 1$).

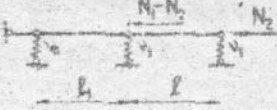
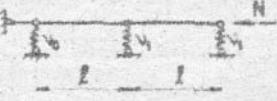
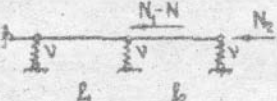
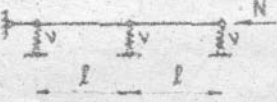
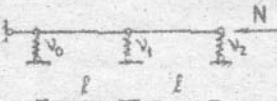
Шарнирная цепь из одного стяжения.

Задача	Характеристика	Схема	Критическая сила
35	Однопролетный спираль на упругих опорах.		$N^* = \frac{v_0 v_i}{v_0 + v_i} P$
36	Частный случай задачи 35: одна из опор жесткая ($v_0 = \infty$).		$N^* = v_i P$ сравни задачу 34.
37	Частный случай задачи 35: жесткость опор одинакова ($v_0 = v_i = v$).		$N^* = 0,5 v P$

Шарнирная цепь из двух стержней.

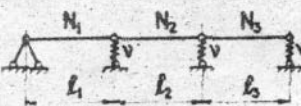
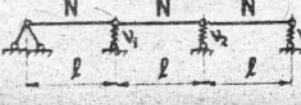
Задача	Характеристика	Схема	Коэффициенты	Критическая сила
38	Цепь из двух стержней на упругих опорах.		$k = \frac{N_2 l_1}{N_1 l_2}$ $p = \sqrt{k} \left(1 + \frac{v_1}{v_2} \right)$ $q = \frac{\sqrt{k}}{1 + \frac{v_1}{v_2}}$	$N_1^* = \frac{\alpha}{\sqrt{k}} v_1 l_1$ Значения α по рис. 30 (стр. 45)
39	Частный случай задачи 38: правая опора жесткая $(v_2 = \infty)$.		$k = \frac{N_2 l_1}{N_1 l_2}$ $n = \frac{v_2}{v_1}$	$N_1^* = \alpha v_1 l_1$ Значения α по рис. 31 (стр. 46)
40	Частный случай задачи 39: жесткость опор одинакова $(v_1 = v_2 = v)$.		$k = \frac{N_2 l_1}{N_1 l_2}$	$N_1^* = \alpha v l_1$ Значения α по рис. 32 (стр. 47)
41	Частный случай задачи 40: длины пролетов равны, сжимающая сила постоянна ($l_1 = l_2 = l$, $N_1 = N_2 = N$).		Сравни задачу 64 при n=2	$N^* = 0,3820 v l$

Задача	Характеристика	Схема	Коэффициенты	Критическая сила
42	Частный случай задачи 39: длины пролетов равны, сжимающая сила постоянна ($\ell_1 = \ell_2 = l$, $N_1 = N_2 = N$).		$n = \frac{v_2}{v_1}$	$N^* = \alpha v_1 l$ Значения α по рис. 33 (стр. 47)
43	Частный случай задачи 38: обе крайние опоры жесткие ($v_0 = v_2 = \infty$).		$k = \frac{N_2 l_1}{N_1 l_2}$	$N_1^* = \frac{v l_1}{1+k}$
44	Частный случай задачи 43: длины пролетов равны, сжимающая сила постоянна ($\ell_1 = \ell_2 = l$, $N_1 = N_2 = N$).		сравни задачу 63 при $n=2$	$N^* = 0,5 v l$
45	Частный случай задачи 38: жесткости крайних опор одинаковы ($v_2 = v_0$).		$k = \frac{N_2 l_1}{N_1 l_2}$ $n = \frac{v_0}{v_1}$	$N_1^* = \alpha v_1 l_1$ Значения α по рис. 34 (стр. 48.)
46	Частный случай задачи 45: длины пролетов равны, сжимающая сила постоянна ($\ell_1 = \ell_2 = l$, $N_1 = N_2 = N$).			$N^* = \frac{v_0 v_1}{2 v_0 + v_1} l$

Задача	Характеристика	Схема	Коэффициенты	Критическая сила
47	Частный случай задачи 48: жесткость сжатых опор одинакова $(v_0 = v_1)$.		$k = \frac{N_2 l_1}{N_1 l_2}$ $n = \frac{v_0}{v_1}$	$N^* = \alpha v_1 l_1$ Значения α по рис. 35 (стр. 49)
48	Частный случай задачи 47: длины пролетов равны, сжимающая сила постоянна ($l_1 = l_2 = L$, $N_1 = N_2 = N$)		$n = \frac{v_0}{v_1}$	$N^* = \alpha v_1 L$ Значения α по рис. 36 (стр. 49)
49	Частный случай задачи 38: жесткости всех трех опор одинаковы $(v_0 = v_1 = v_2 = v)$.		$k = \frac{N_2 l_1}{N_1 l_2}$	$N^* = \alpha v l_1$ Значения α по рис. 37 (стр. 50)
50	Частный случай задачи 49: длины пролетов равны, сжимающая сила постоянна ($l_1 = l_2 = L$, $N_1 = N_2 = N$)		Сравни задачу 65 при $n = 2$	$N^* = \frac{1}{3} v L$
51	Частный случай задачи 38: длины пролетов равны, сжимающая сила постоянна ($l_1 = l_2 = L$, $N_1 = N_2 = N$)		$m = \frac{v_0}{v_1}$ $n = \frac{v_2}{v_1}$	$N^* = \alpha v_1 L$ Значения α по рис. 38 (стр. 50)

Параллельная цепь из трех стержней.

Задача	Характеристика	Схема	Коэффициенты	Критическая сила
52	Цепь из трех стержней с крайними жесткими и промежуточными упругими опорами.		$k = \frac{N_2 l_1}{N_1 l_2}$, $m = \frac{N_3 l_1}{N_1 l_3}$, $n = \frac{v_2}{v_1}$; $q = k(1 - \frac{m}{n})$ $p = \frac{m + k + mk}{n}$.	$N_1^* = \alpha v_1 l_1$ Значения α по рис. 39 (стр. 51)
53	Частный случай задачи 52: длины крайних пролетов равны, сжимающие силы в них одинаковы ($l_3 = l_1$, $N_3 = N_1$).		$k = \frac{N_2 l_1}{N_1 l_2}$, $n = \frac{v_2}{v_1}$	$N_1^* = \alpha v_1 l_1$ Значения α по рис. 40 (стр. 52)
54	Частный случай задачи 52: жесткости опор одинаковы ($v_1 = v_2 = v$).		$k = \frac{N_2 l_1}{N_1 l_2}$	$N_1^* = \frac{v l_1}{1 + 2k}$
55	Частный случай задачи 52: длины пролетов равны, сжимающая сила постоянна ($l_1 = l_2 = l_3 = l$, $N_1 = N_2 = N_3 = N$).		$n = \frac{v_2}{v_1}$	$N_1^* = \alpha v_1 l$ Значения α по рис. 41 (стр. 53)

Задача	Характеристика	Схема	Коэффициенты	Критическая сила
56	Частный случай задачи 55: жесткости опор одинаковы $(v_1 = v_2 = v)$.		Сравни задачу 63 при $n=3$.	$N^* = \frac{1}{3} v l$
57	Частный случай задачи 52: жесткости опор одинаковы $(v_1 = v_2 = v)$.		$k = \frac{N_2 l_1}{N_1 l_2}$ $m = \frac{N_3 l_1}{N_1 l_3}$	$N_1^* = \alpha v l_1$ Значения α по рис. 42 (стр. 53)
58	Цепь из трех стержней с одной крайней жесткостью и прочими упругими опорами одинаковой жесткости.		$k = \frac{N_2 l_1}{N_1 l_2}$ $m = \frac{N_3 l_1}{N_1 l_3}$	$N_1^* = \alpha v l_1$ Значения α по рис. 43 (стр. 54)
59	Частный случай задачи 58: длины пролетов равны, сжимающая сила постоянна $(l_1 = l_2 = l_3 = l,$ $N_1 = N_2 = N_3 = N)$.		Сравни задачу 64 при $n=3$.	$N^* = 0,3080 v l$
60	Цепь из трех стержней с одной крайней жесткостью и прочими упругими опорами, длины пролетов равны, сжимающая сила постоянна.		$n = \frac{v_2}{v_1}$ $m = \frac{v_3}{v_1}$	$N^* = \alpha v_1 l$ Значения α по рис. 44 (стр. 55)

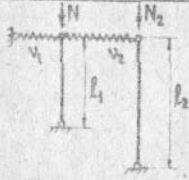
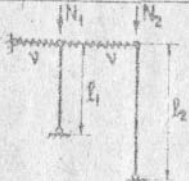
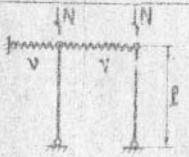
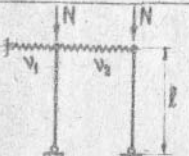
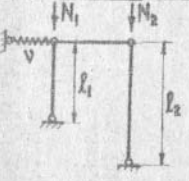
Задача	Характеристика	Схема	Коэффициенты	Критическая сила
61	Цепь из трех стержней на четырех упругих опорах одинаковой жесткости.		$k = \frac{N_2 l_1}{N_1 l_2}$ $m = \frac{N_3 l_1}{N_1 l_3}$	$N_c = \alpha v \sqrt{l_1}$ Значения α по рис. 45 (стр. 56)
62	Частный случай задачи 61: длины пролетов равны, сжимающая сила по- стоянна ($l_1 = l_2 = l_3 = l$, $N_1 = N_2 = N_3 = N$).		Справки задачу 65 при $n=3$.	$N_c = 0,2929 \sqrt{l}$

Регулярная шарнирная цепь из n стержней

Задача	Характеристика	Схема
63	Шарнирная цепь из n стержней на упругих опорах, обе крайние опоры жесткие	
64	Шарнирная цепь из n стержней на упругих опорах, одна крайняя опора жесткая.	
65	Шарнирная цепь из n стержней на упругих опорах, жесткие опоры отсутствуют.	

Критическая сила $N_c = \alpha v \sqrt{l}$ Значения α по таблице	Число пролетов n	1	2	3	4	5	6	∞
		Задача 63	-	0,5000	0,3333	0,2929	0,2764	0,2680
	Задача 64	1,0000	0,3820	0,3080	0,2831	0,2715	0,2652	0,2500
	Задача 65	0,5000	0,3333	0,2929	0,2754	0,2680	0,2630	0,2500

Система двух упруго соединенных в вершине стоек с шарнирным закреплением основания

Задача	Характеристика	Схема	Коэффициенты	Критическая сила
66	Система двух стоеч с шарнирным закреплением в основании.		$k = \frac{N_2 l_1}{N_1 l_2}$ $n = \frac{v_2}{v_1}$	$N_1^* = \alpha v_1 l_1$ значения α по рис. 31 (стр. 45)
67	Частный случай задачи 66: жесткости упругих связей одинаковы ($v_1 = v_2 = v$).		$k = \frac{N_2 l_1}{N_1 l_2}$	$N_1^* = \alpha v l_1$ значения α по рис. 32 (стр. 47)
68	Частный случай задачи 67: длины стоек равны, сжимающие силы одинаковы ($l_1 = l_2 = l$, $N_1 = N_2 = N$).		Сравни задачу 64 при $n = 2$	$N^* = 0,3820 v l$
69	Частный случай задачи 66: длины стоек равны, сжимающие силы одинаковы ($l_1 = l_2 = l$, $N_1 = N_2 = N$).		$n = \frac{v_2}{v_1}$	$N^* = \alpha v_1 l$ значения α по рис. 33 (стр. 47)
70	Частный случай задачи 66: связь между стойками жесткая ($v_2 = \infty$).		$k = \frac{N_2 l_1}{N_1 l_2}$	$N_1^* = \frac{v l_1}{1 + k}$

Регулярная система n упруго соединенных в вершине стоеч с шарнирным закреплением основания.

Задача	Характеристика	Схема	Критическая сила					
71	Регулярная система n стоек, упруго закреплена только первая стойка.		$N^* = \alpha \sqrt{\ell}$					
72	Регулярная система n стоек, упруго закреплены первая и последняя стойки.		Значения α по таблице					
	Число стоек n	1	2	3	4	5	6	∞
Задача 71		1,0	0,3820	0,1981	0,1206	0,0810	0,0781	0,0
Задача 72		2,0	1,0	0,5858	0,3820	0,2680	0,1981	0,0

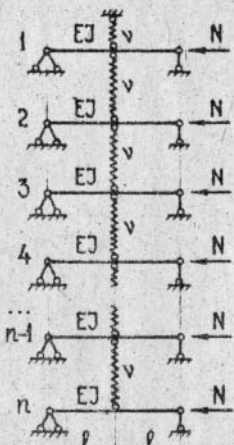
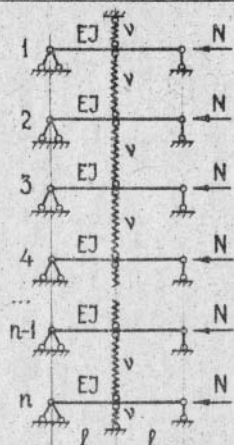
Регулярная система n упруго соединенных в вершине стоек с защеленным основанием.

Задача	Характеристика	Схема	Коф. β
73	Регулярная система n стоек, упруго закреплена только первая стойка		β по рис. 46 (стр. 57)
74	Регулярная система n стоек, упруго закреплены первая и последняя стойки		β по рис. 47 (стр. 58)

Коэффициенты для задач 73 и 74: $m = \frac{v\ell^3}{EJ}$,

v — число стоек.

Последовательности упруго соединенных шарнирно опорных балок

Задача	Характеристика	Схема	Коэффициенты	Коф. р
75	Регулярная последовательность n упруго соединенных в середине пролета балок, упруго закреплены только первая балка.		$m_{np} = \frac{\nu l^5}{2EJ}$ n - число балок	β по рис. 46 (смр. 57)
76	Регулярная последовательность n упруго соединенных в середине пролета балок, упруго закреплены первая и последняя балки.		$m_{np} = \frac{\nu l^5}{2EJ}$ n - число балок	β по рис. 47 (смр. 58)

Примечание: Свободная длина $\ell_0 = \beta \ell$, где ℓ - половина длины пролета балки.

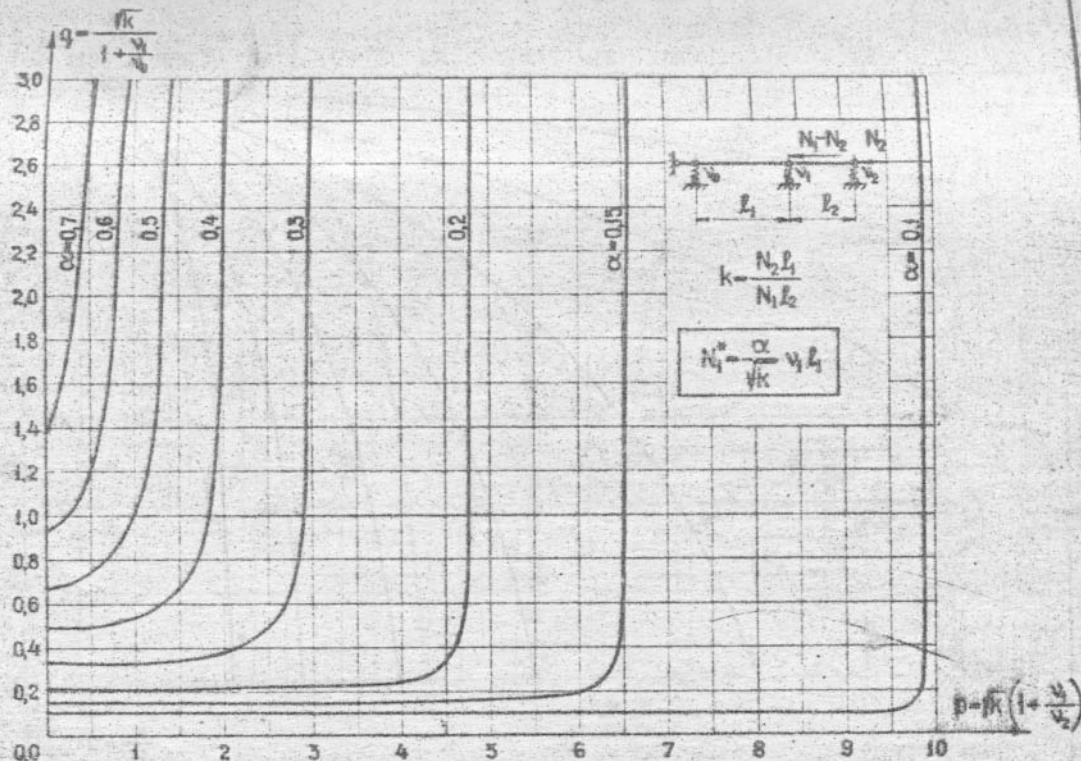


Рис. 30. Задача 38.

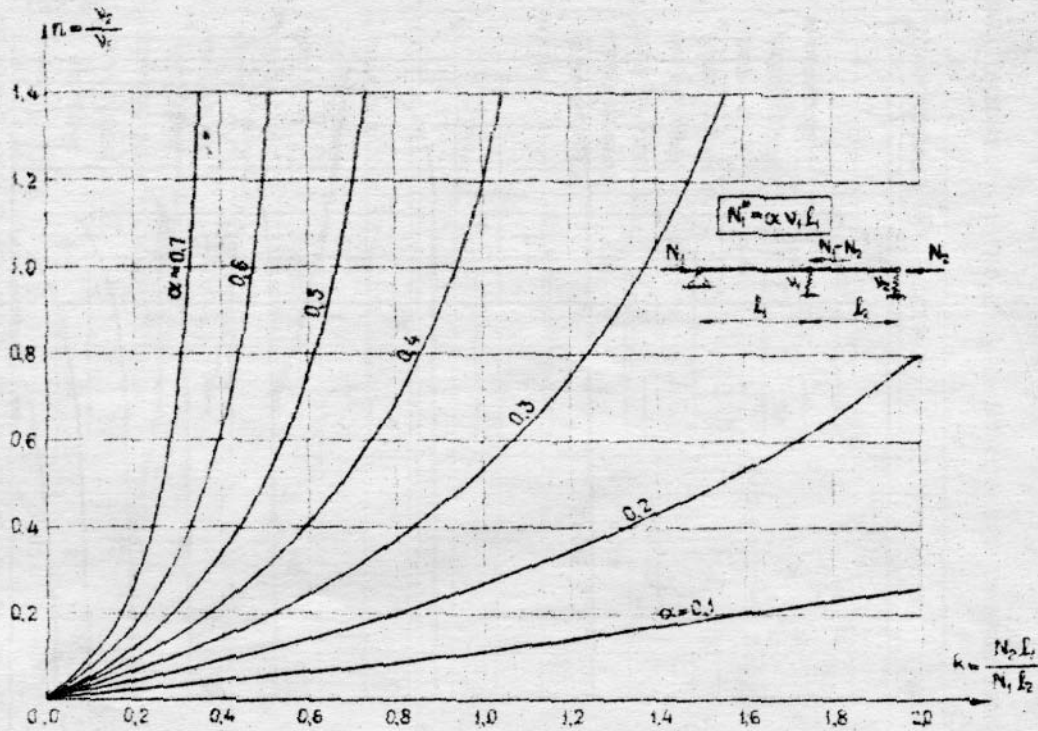


Рис. 31. Задача 39 (также задача 66).

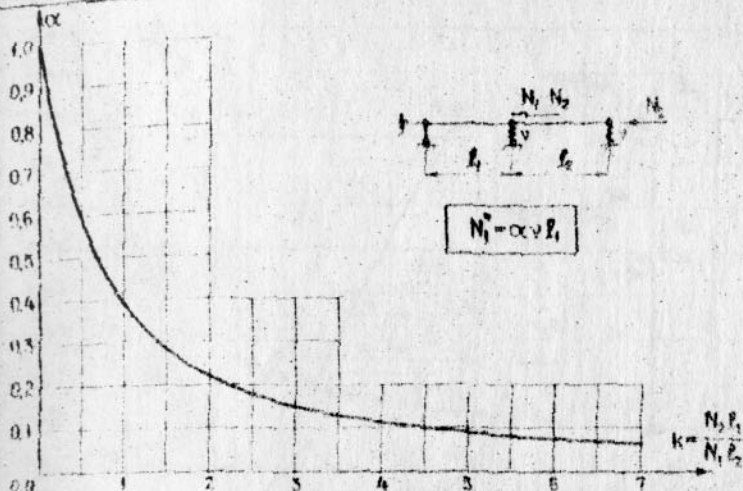


Рис. 32 Задача 40 (также задача 67).

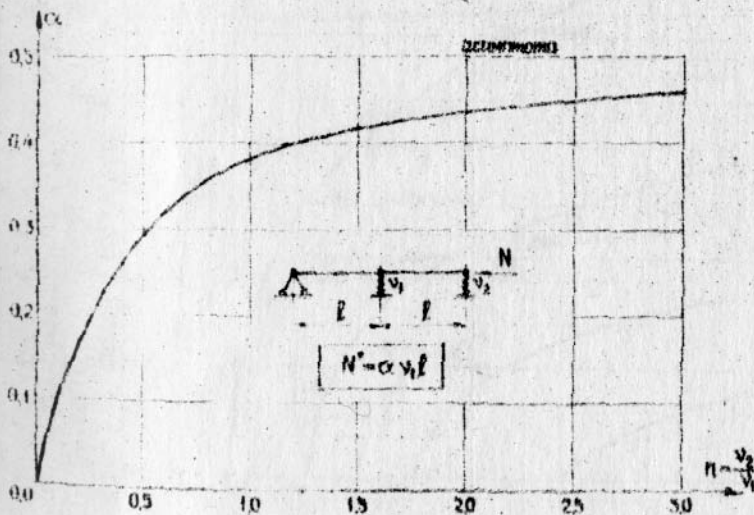


Рис. 33. Задача 42 (также задача 69).

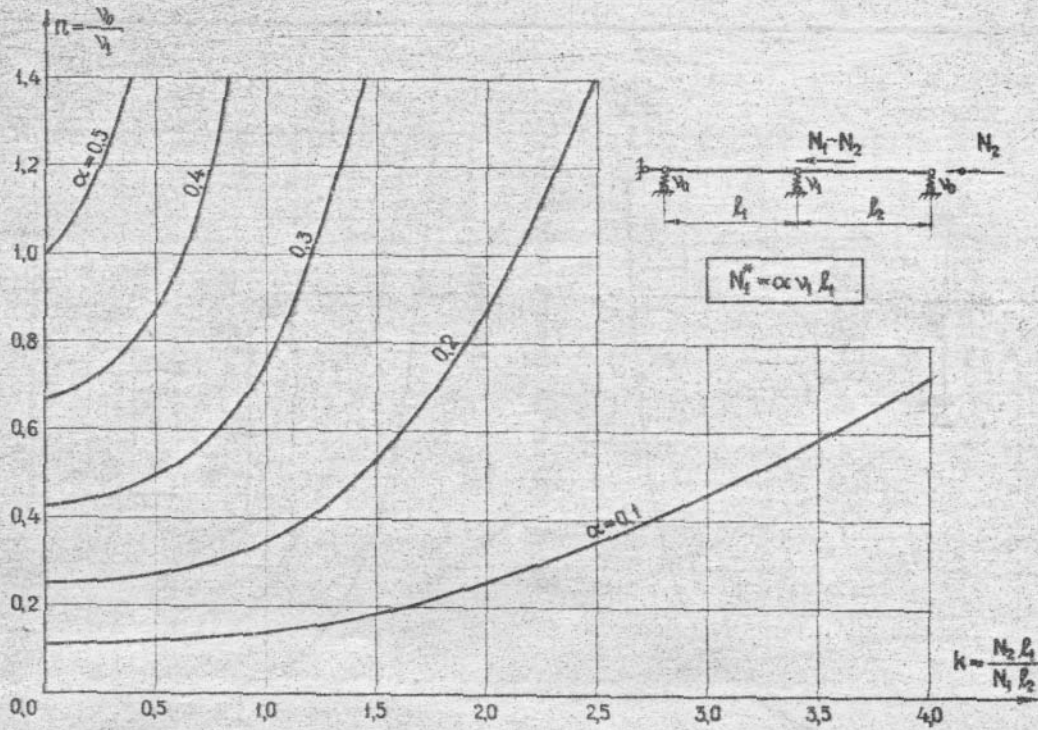


Рис. 34. Задача 45.

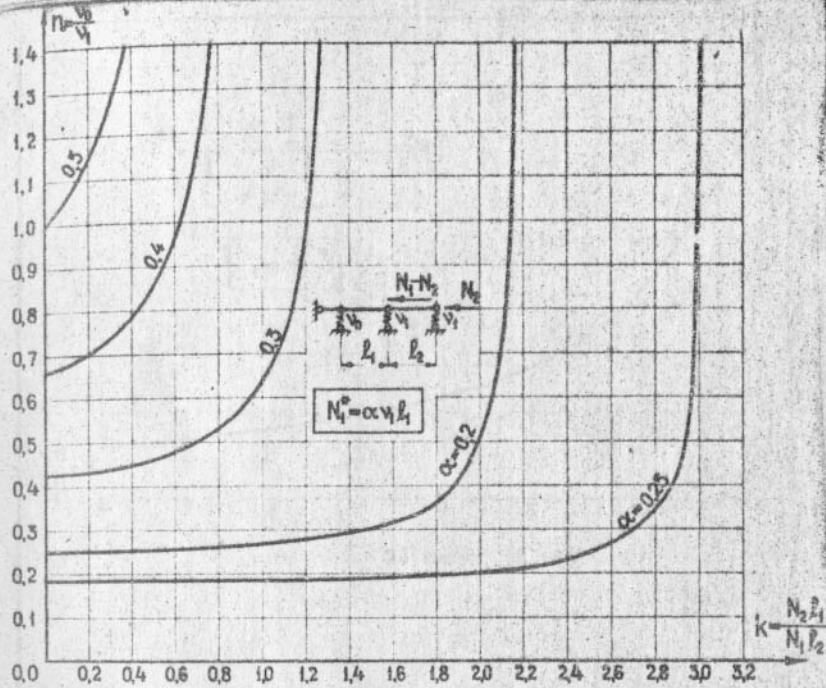


Рис. 35. Задача 47.

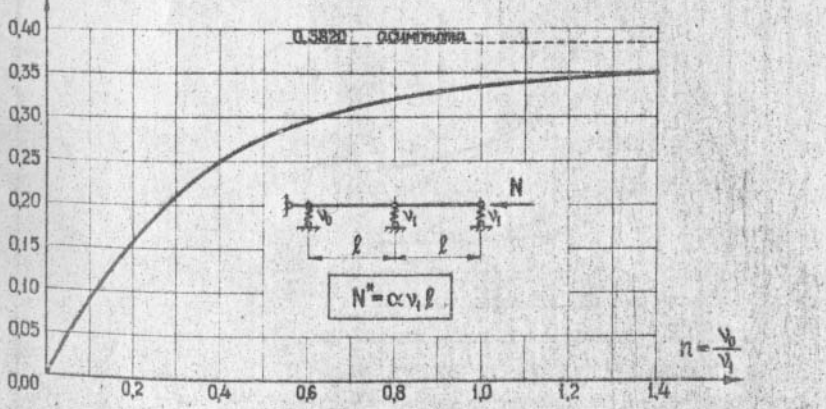


Рис. 36. Задача 48.

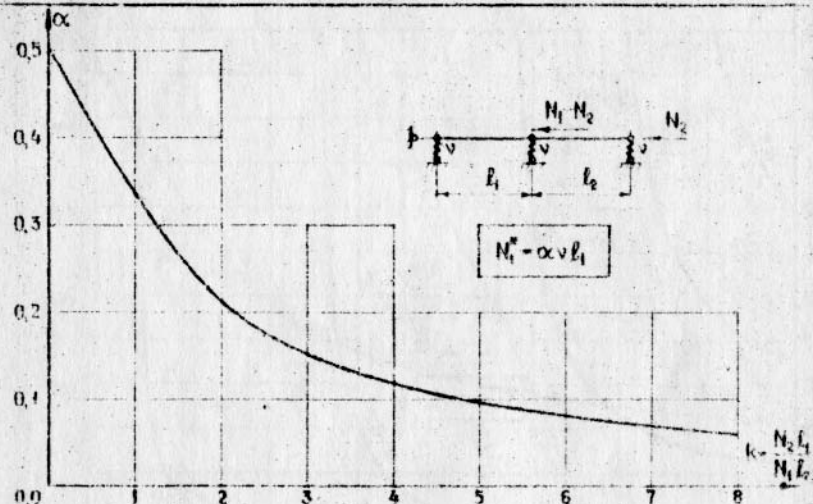


Рис. 37. Задача 49.

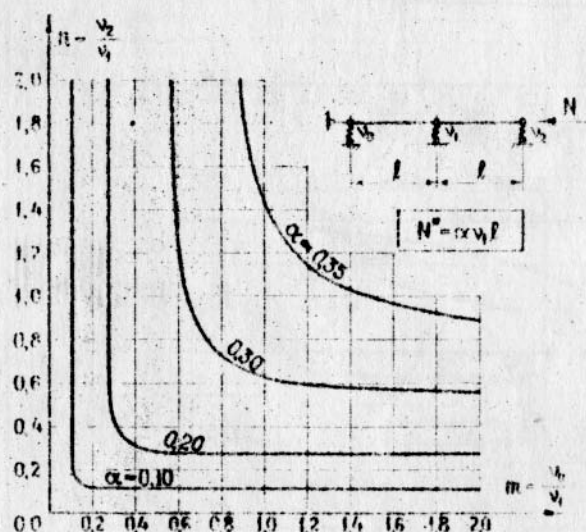


Рис. 38. Задача 51.

$$p = \frac{m+k-mk}{n}$$

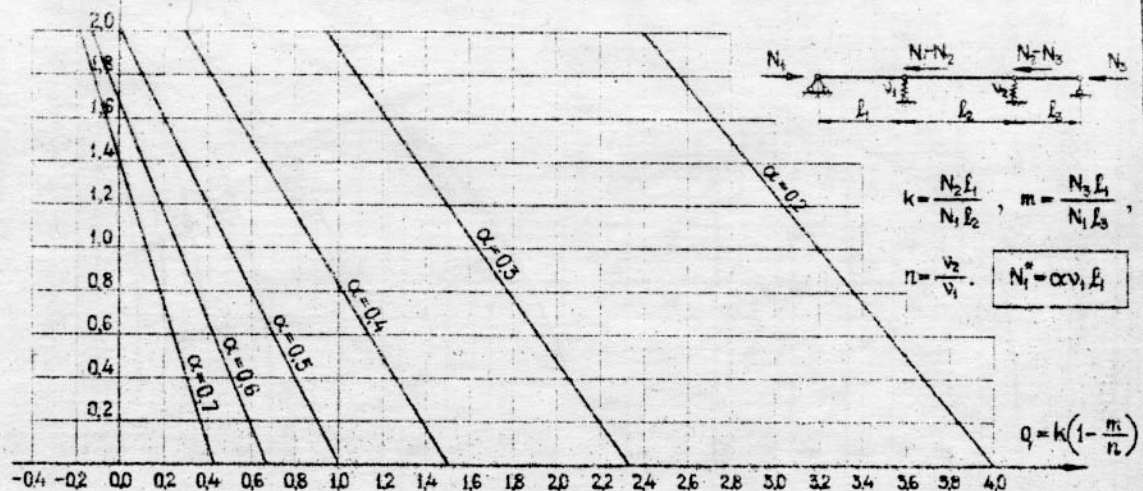


Рис. 39. Задача 52.

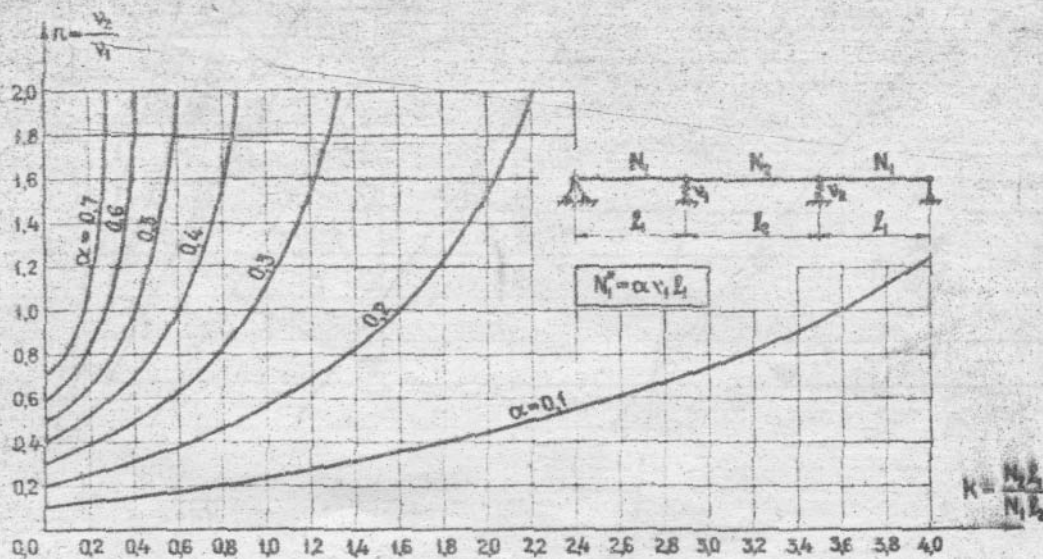


Рис. 40. Задача 53.

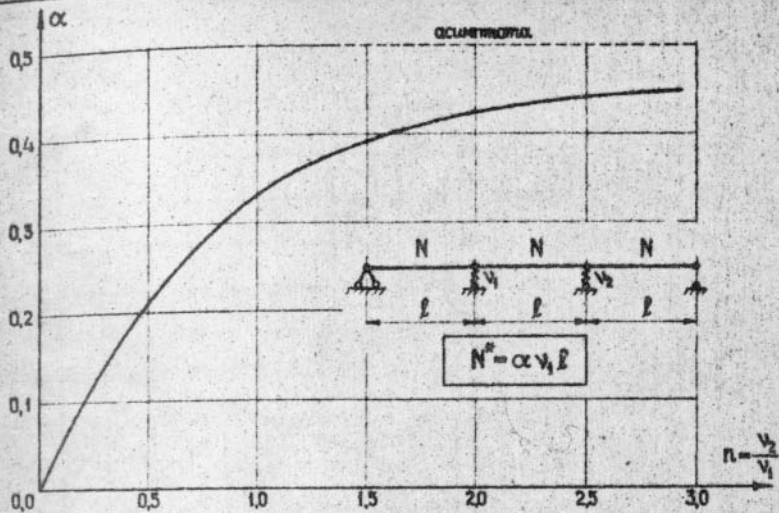


Рис. 41. Задача 55.

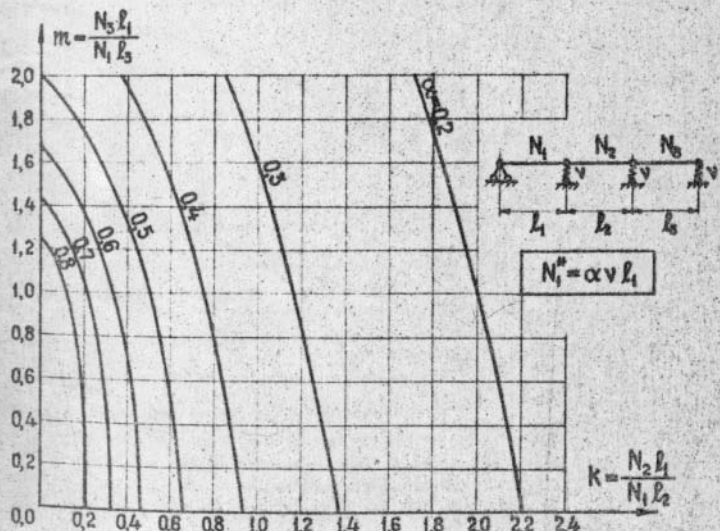


Рис. 42. Задача 57.

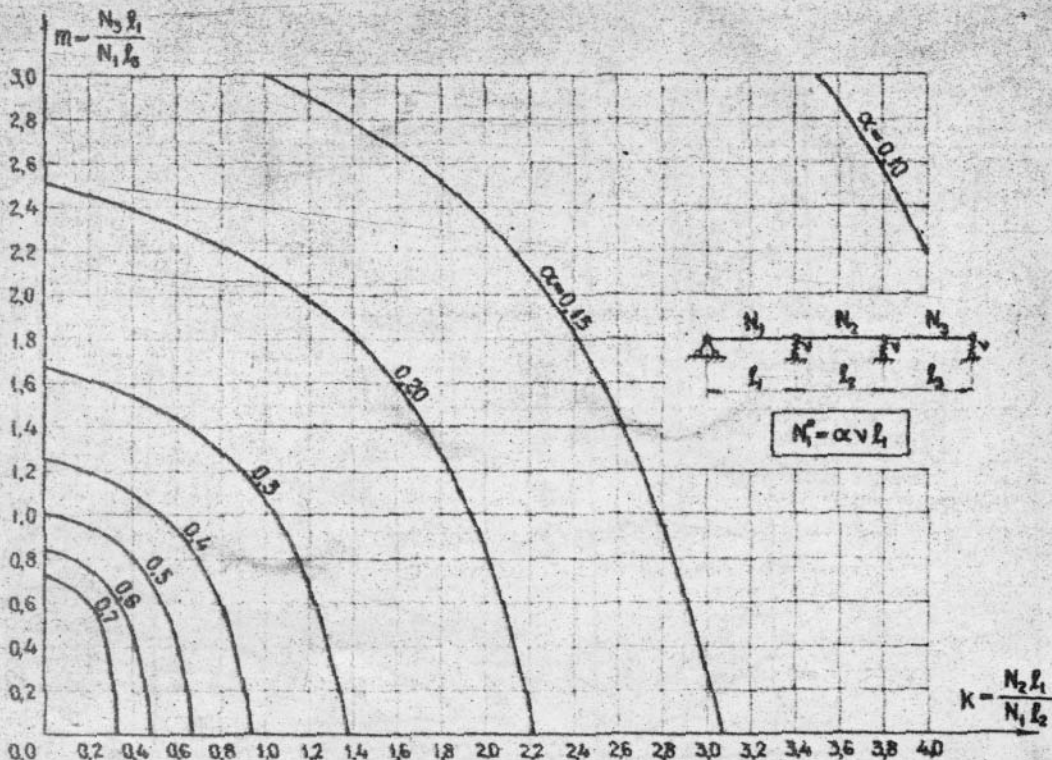


Рис. 43. Задача 58.

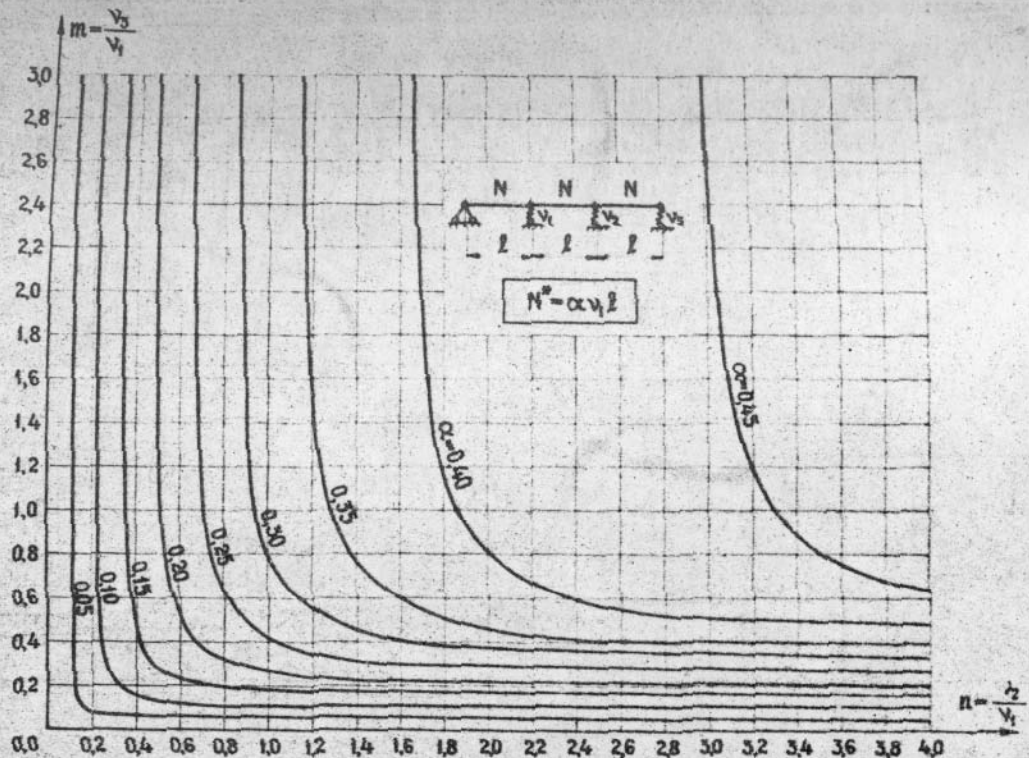


Рис. 44. Задача 60.

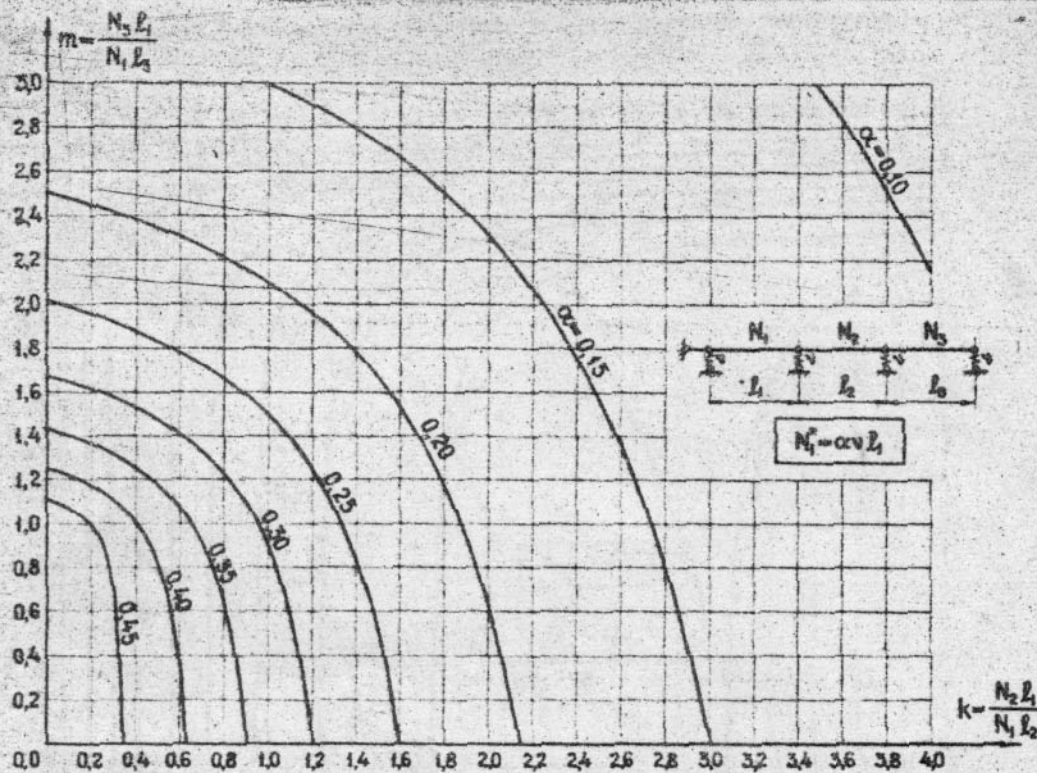


Рис. 45. Задача 61.

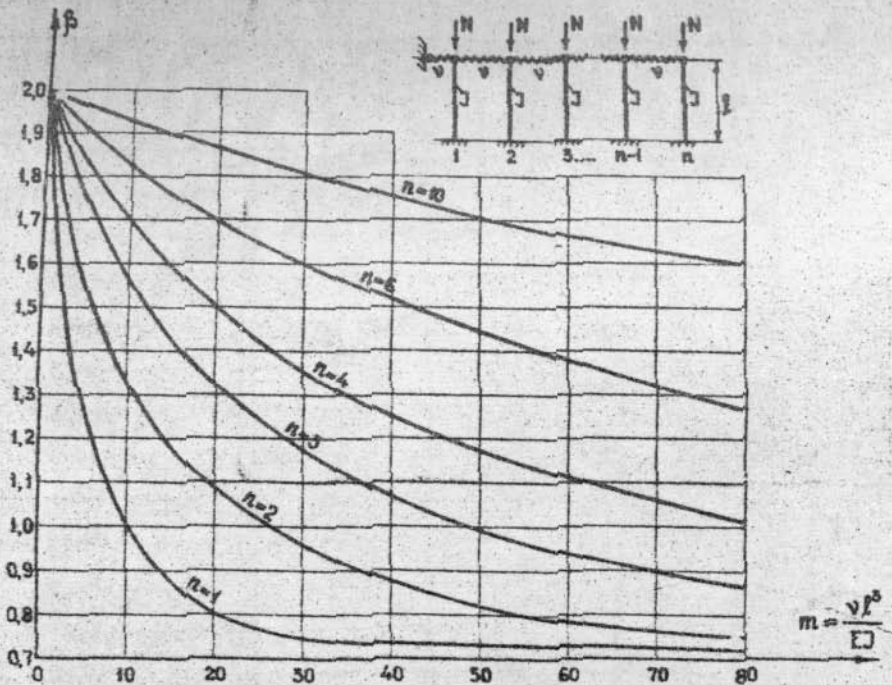


Рис. 46. Задача 73 (также задача 75 при $m_{\text{пр}}$ вместо m).

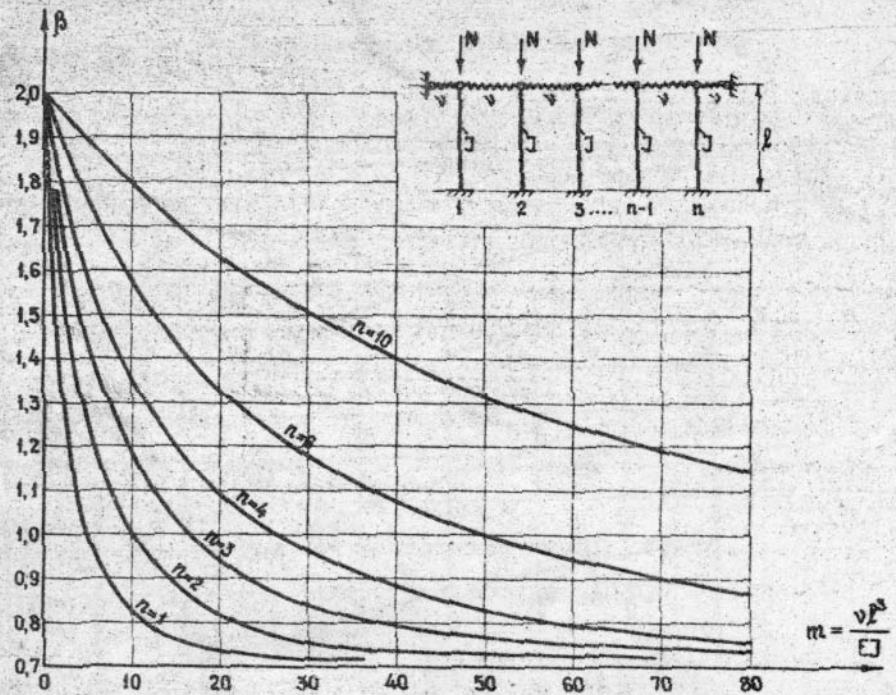
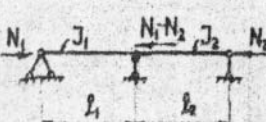
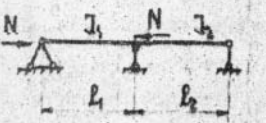
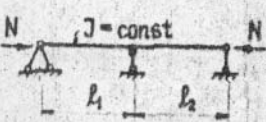
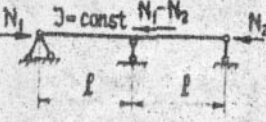
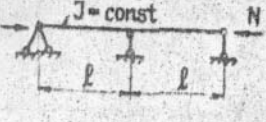


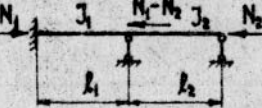
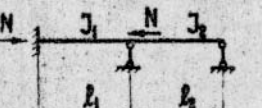
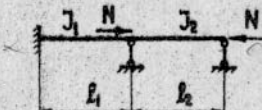
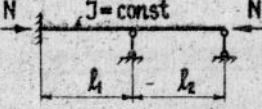
Рис. 47. Задача 74 (также задача 76 при $m_{\text{пр}}$ вместо m).

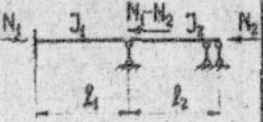
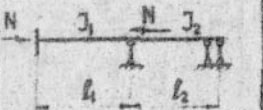
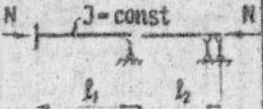
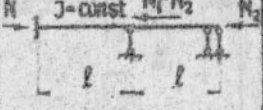
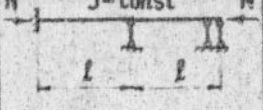
Глава четвертая

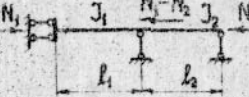
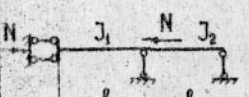
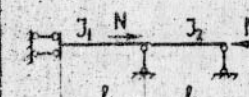
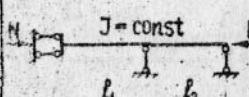
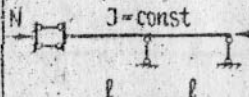
Неразрезные балки на жестких опорах

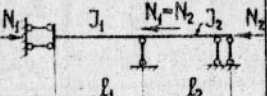
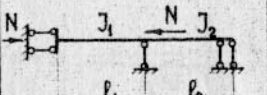
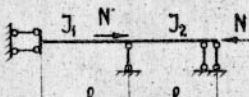
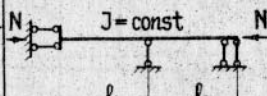
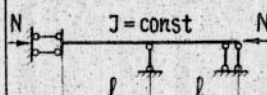
Двухпролетная балка

Задача	Характеристика	Схема	Коэффициенты	Ксд β
77	Двухпролетная балка, оба конца шарнирно закреплены.		$K = \frac{J_2 l_1}{J_1 l_2}$ $n = \frac{N_2 l_2}{N_1 l_1}$	β_1 по рис. 48 (стр. 60) $\beta_2 = \sqrt{\frac{K}{n}} \beta_1$
78	Частный случай задачи 77: сжимающая сила во втором пролете отсутствует ($N_2 = 0$).		$m = \frac{3J_2 l_1}{J_1 l_2}$	β по рис. 25 (стр. 32)
79	Частный случай задачи 77: жесткость и сжимающая сила постоянны ($J_1 = J_2 = J$, $N_1 = N_2 = N$).		$\tau_1 = \frac{l_2}{l_1}$	β_1 по рис. 49 (стр. 70) $\tau_{01} = \tau_{02}$
80	Частный случай задачи 77: жесткость постоянна, длины пролетов равны ($J_1 = J_2 = J$, $l_1 = l_2 = l$).		$n = \frac{N_2}{N_1}$ $\beta_2 = \frac{\beta_1}{\sqrt{n}}$	β_1 по рис. 50 (стр. 70)
81	Частный случай задачи 80: сжимающая сила постоянна ($N_1 = N_2 = N$).		Сравни задачу 123 при $n=2$	$\beta = 1$

Задача	Характеристика	Схема	Коэффициенты	КСД β
82	Двухпролетная балка, один конец защемлен, другой шарнирно закреплен.		$k = \frac{J_2 l_1}{J_1 l_2}$ $n = \frac{N_2 l_2}{N_1 l_1}$	β_1 по рис. 51, 52 (стр. 71) $\beta_2 = \sqrt{\frac{k}{n}} \beta_1$
83	Частный случай задачи 82: сжимающая сила во втором пролете отсутствует ($N_2 = 0$).		$m = \frac{3J_2 l_1}{J_1 l_2}$	β по рис. 24 (стр. 31)
84	Частный случай задачи 82: сжимающая сила в первом пролете отсутствует ($N_1 = 0$).		$m = \frac{4J_1 l_2}{J_2 l_1}$	β по рис. 25 (стр. 32)
85	Частный случай задачи 82: жесткость и сжимающая сила постоянны ($J_1 = J_2 = J$, $N_1 = N_2 = N$).		$n = \frac{l_2}{l_1}$ $l_{01} = l_{02}$	β_1 по рис. 53 (стр. 72)
86	Частный случай задачи 85: длины пролетов равны ($l_1 = l_2 = l$).		Сравните задачу 125 при $n=2$	$\beta = 0,879$

Задача	Характеристика	Схема	Коэффициенты	Коэф β
87	Двухпролетная балка, оба конца защемлены.		$K = \frac{J_2 l_1}{J_1 l_2}$ $n = \frac{N_2 l_2}{N_1 l_1}$	β_1 по рис. 54 (стр. 73) $\beta_2 = \sqrt{\frac{k}{n}} \beta_1$
88	Частный случай задачи 87: сжимающая сила во втором пролете постоянна ($N_2 = 0$)		$m = \frac{4 J_2 l_1}{J_1 l_2}$	β по рис. 24 (стр. 31)
89	Частный случай задачи 87: жесткость и сжимающая сила постоянны ($J_1=J_2=J$, $N_1=N_2=N$)		$n = \frac{l_2}{l_1}$ $\beta_2 = \frac{\beta_1}{\sqrt{n}}$	β_1 по рис. 55 (стр. 73)
90	Частный случай задачи 87: жесткость постоянна, длины пролетов равны ($J_1=J_2=J$, $l_1=l_2=l$).		$n = \frac{N_2}{N_1}$ $\beta_2 = \frac{\beta_1}{\sqrt{n}}$	β_1 по рис. 56 (стр. 74)
91	Частный случай задачи 90: сжимающая сила постоянна ($N_1=N_2=N$).		сравнить задачу 124 при n=2	$\beta = 0,699$

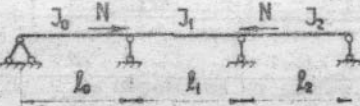
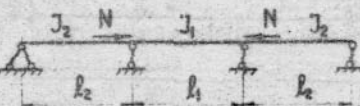
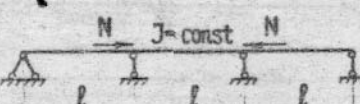
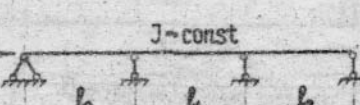
Задача	Характеристика	Схема	Коэффициенты	Коэф. β
92	Двухпролетная балка, один конец защемлен подвижно, другой шарнирно закреплен.		$K = \frac{J_2 l_1}{J_1 + J_2}$ $n = \frac{N_2 l_2}{N_1 l_1}$	β_1 по рис. 57, 58 (ст. 75) $\beta_2 = \sqrt{\frac{K}{n}} \beta_1$
93	Частный случай задачи 92: сжимающая сила во втором пролете отсутствует ($N_2 = 0$).		$m = \frac{3J_2 l_1}{J_1 l_2}$	β по рис. 19 (ст. 29)
94	Частный случай задачи 92: сжимающая сила в первом пролете отсутствует ($N_1 = 0$).		$m = \frac{J_1 l_2}{J_2 l_1}$	β по рис. 25 (ст. 32)
95	Частный случай задачи 92: жесткость и сжимающая сила постоянны ($J_1 = J_2 = J$, $N_1 = N_2 = N$)		$n = \frac{l_2}{l_1}$	β_1 по рис. 59 (ст. 76.) $l_{01} = l_{02}$
96	Частный случай задачи 95: длины пролетов равны ($l_1 = l_2 = \ell$).			$\beta = 1,40$

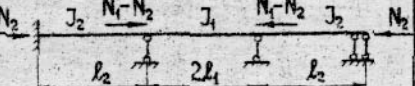
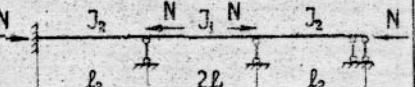
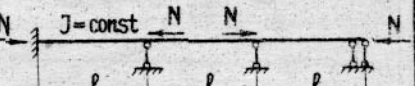
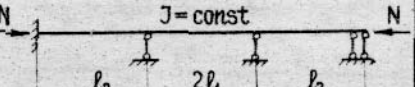
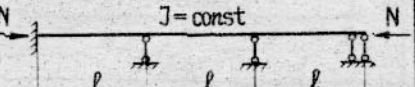
Задача	Характеристика	Схема	Коэффициенты	Коэф. β
97	Двухпролетная балка, один конец защемлен подвижно, другой - неподвижно.		$k = \frac{J_2 l_1}{J_1 l_2}$ $n = \frac{N_2 l_2}{N_1 l_1}$	β_1 по рис. 60, 61 (смр. 77) $\beta_2 = \sqrt{\frac{k}{n}} \beta_1$
98	Частный случай задачи 97: сжимающая сила во втором пролете отсутствует ($N_2 = 0$).		$m = \frac{4 J_2 l_1}{J_1 l_2}$	β по рис. 19 (смр. 29)
99	Частный случай задачи 97: сжимающая сила в первом пролете отсутствует ($N_1 = 0$).		$m = \frac{J_1 l_2}{J_2 l_1}$	β по рис. 24 (смр. 31)
100	Частный случай задачи 97: жесткость и сжимающая сила постоянны ($J_1 = J_2 = J$, $N_1 = N_2 = N$).		$n = \frac{l_2}{l_1}$	β_1 по рис. 62 (смр. 78) $\boxed{l_{01} = l_{02}}$
101	Частный случай задачи 100: длины пролетов равны ($l_1 = l_2 = l$).			$\beta = 1,27$

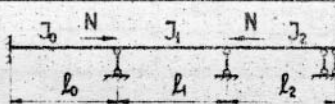
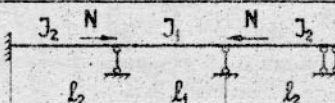
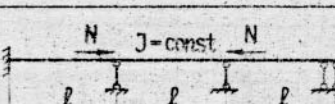
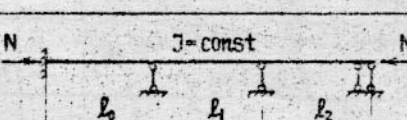
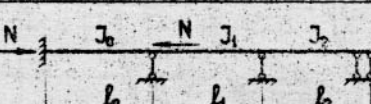
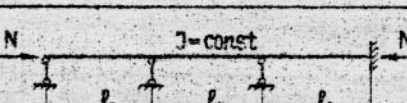
Трехпролетная балка

Задача:	Характеристика:	Схема	Коэффициенты	Коэф. β
102	Трехпролетная симметрическая балка, оба конца шарнирно закреплены.	 см. примечание	$k = \frac{J_2 l_1}{J_1 l_2}$ $n = \frac{N_2 l_2}{N_1 l_1}$	β_1 по рис. 57, 58 (смр. 75) $\beta_2 = \sqrt{\frac{k}{n}} \beta_1$
103	Частный случай задачи 102: скжимающая сила в среднем пролете отсутствует ($N_1 = 0$).		$m = \frac{J_1 l_2}{J_2 l_1}$	β по рис. 25 (смр. 32)
104	Частный случай задачи 103: жесткость постоянна, длины всех пролетов равны ($J_1 = J_2 = J$, $l_2 = 2l_1 = l$).			$\beta = 0,875$
105	Частный случай задачи 102: жесткость и скжимающая сила постоянны ($J_1 = J_2 = J$, $N_1 = N_2 = N$).	 см. примечание	$n = \frac{l_2}{l_1}$	β_1 по рис. 59 (смр. 76) $l_{01} = l_{02}$
106	Частный случай задачи 105: длины пролетов равны ($l_2 = 2l_1 = l$).			Сравни задачу 123 при $= 3$ $\beta = 1$

Примечание: В задачах 102, 105, 112, 115 $l_{01} = \beta_1 l_1$, где l_1 — полбюшта длины среднего пролета.

Задача	Характеристика	Схема	Коэффициенты	Код β
107	Трехпролетная балка, оба конца шарнирно закреплены, скжат только средний пролет.		$m_1 = \frac{3J_0 l_1}{J_1 l_0}$ $m_2 = \frac{3J_2 l_1}{J_1 l_2}$	β по рис. 16 (смр. 26)
108	Частный случай задачи 107: жесткости и длины крайних пролетов равны ($J_0 = J_2$, $l_0 = l_2$).		$m = \frac{3J_2 l_1}{J_1 l_2}$	β по рис. 20 (смр. 29)
109	Частный случай задачи 107: жесткости и длины всех пролетов равны ($J_0 = J_1 = J_2 = J$, $l_0 = l_1 = l_2 = l$).			β=0,722
110	Трехпролетная балка, оба конца шарнирно закреплены, жесткость и сжимающая сила постоянны.		$n = \frac{l_0}{l_1}$ $z = \frac{l_2}{l_1}$	β₁ по рис. 64 (смр. 73) $L_{00} = L_{01} = L_{02}$
111	Трехпролетная балка, оба конца шарнирно закреплены, скжат только крайний пролет.		$k = \frac{J_2 l_1}{J_1 l_2}$ $m = 12 \frac{J_1 l_0}{J_0 l_1} \cdot \frac{k+1}{3k+4}$	β по рис. 25 (смр. 32)

Задача	Характеристика	Схема	Коэффициенты	Коэффициент β
112	Трехпролетная симметричная балка, оба конца защемлены.	 см. примечание на стр. 64	$k = \frac{J_2 l_1}{J_1 l_2}$ $n = \frac{N_2 l_2}{N_1 l_1}$	β_1 по рис. 60, 61 (смр. 77)
113	Частный случай задачи 112: сжимающая сила в среднем пролете отсутствует ($N_1 = 0$).		$m = \frac{J_1 l_2}{J_2 l_1}$	β по рис. 24 (смр. 31)
114	Частный случай задачи 113: жесткость постоянна, длины всех пролетов равны ($J_1 = J_2 = J$, $l_2 = 2l_1 = l$).			$\beta = 0,626$
115	Частный случай задачи 112: жесткость и сжимающая сила постоянны ($J_1 = J_2 = J$, $N_1 = N_2 = N$).	 см. примечание на стр. 64	$n = \frac{l_2}{l_1}$	β_1 по рис. 62 (смр. 78)
116	Частный случай задачи 115: длины пролетов равны ($l_2 = 2l_1 = l$).			$\beta = 0,814$

Задача	Характеристика	Схема	Коэффициенты	Коэф. β
117	Трехпролетная балка, оба конца защемлены, сжат только средний пролет.		$m_1 = \frac{4J_0l_1}{J_1l_0}$ $m_2 = \frac{4J_2l_1}{J_1l_2}$	β по рис. 16 (смр. 26)
118	Частный случай задачи 117: жесткости и длины крайних пролетов равны ($J_0 = J_2$, $l_0 = l_2$).		$m = \frac{4J_2l_1}{J_1l_2}$	β по рис. 20 (смр. 29)
119	Частный случай задачи 117: жесткости и длины всех пролетов равны ($J_0 = J_1 = J_2 = J$, $l_0 = l_1 = l_2 = l$).			$\beta = 0,685$
120	Трехпролетная балка, оба конца защемлены, жесткость и сжимающая сила постоянны.		$n = \frac{l_0}{l_1}$ $z = \frac{l_2}{l_1}$	β_1 по рис. 63 (смр. 78)
121	Трехпролетная балка, оба конца защемлены, сжат только крайний пролет.		$k = \frac{J_2l_1}{J_1l_2}$ $m = \frac{J_2l_0}{J_0l_1} \cdot \frac{4k+3}{k+1}$	β по рис. 24 (смр. 31)
122	Трехпролетная балка, один конец закреплен шарнирно, другой защемлен, жесткость и сжимающая сила постоянны.		$n = \frac{l_0}{l_1}$ $z = \frac{l_2}{l_1}$	β_1 по рис. 65 (смр. 80)

Регулярные многопролетные балки

Задача	Характеристика	Схема	Коэф.
123	Регулярная n -пролетная балка, оба конца шарнирно закреплены.	<p>Diagram of a regular n-span beam. The beam has $n+1$ points labeled 0, 1, 2, ..., n. The first point 0 is a pinned support. The last point n is a pinned support. Points 1, 2, ..., $n-1$ are roller supports. A horizontal force N acts at point 0. A constant load $J = \text{const}$ acts downwards along the entire length of the beam. The distance between the supports is l.</p>	$\beta = 1,0$
124	Регулярная n -пролетная балка, оба конца защемлены.	<p>Diagram of a regular n-span beam. The beam has $n+1$ points labeled 0, 1, 2, ..., n. The first point 0 is a clamped support. The last point n is a clamped support. Points 1, 2, ..., $n-1$ are roller supports. A horizontal force N acts at point 0. A constant load $J = \text{const}$ acts downwards along the entire length of the beam. The distance between the supports is l.</p>	по таблице близк
125	Регулярная n -пролетная балка, один конец шарнирно закреплен, другой защемлен.	<p>Diagram of a regular n-span beam. The beam has $n+1$ points labeled 0, 1, 2, ..., n. The first point 0 is a pinned support. The last point n is a clamped support. Points 1, 2, ..., $n-1$ are roller supports. A horizontal force N acts at point 0. A constant load $J = \text{const}$ acts downwards along the entire length of the beam. The distance between the supports is l.</p>	
Число пролетов n			
	1	2	3
Задача 124	0,5	0,699	0,814
Задача 125	0,699	0,879	0,939
	4	5	6
Задача 124	0,879	0,917	0,939
Задача 125	0,939	0,964	0,977
	7	8	9
Задача 124	0,954	0,964	0,971
Задача 125	0,983	0,988	0,990
	10	∞	
Задача 124	0,977	1,0	
Задача 125	0,992	0,994	1,0

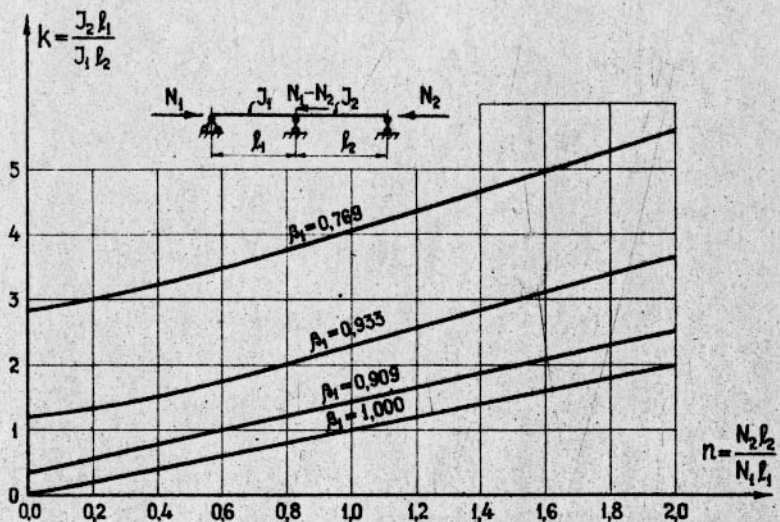


Рис. 48. Задача 77.

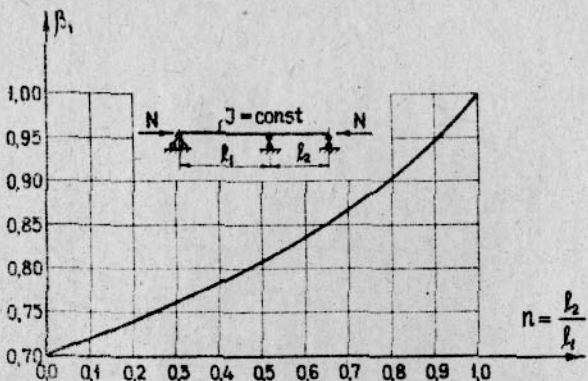


Рис. 49. Задача 79.

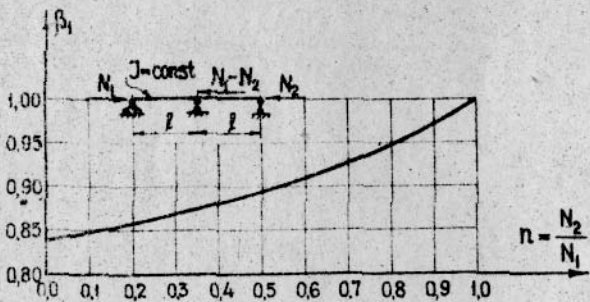


Рис. 50. Задача 80.

$$k = \frac{J_2 l_1}{J_1 l_2}$$

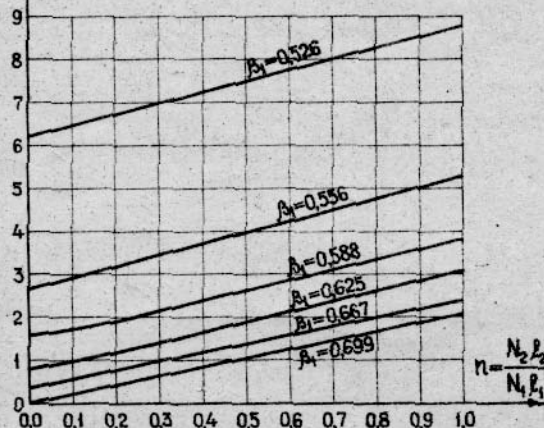


Рис. 51. Задача 82.

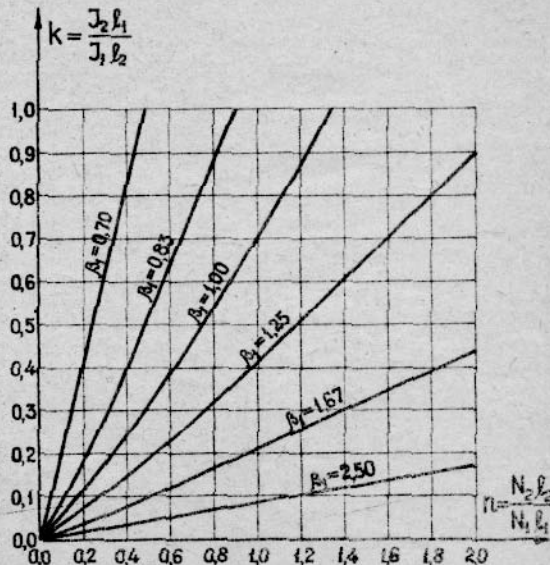


Рис. 52. Задача 82.

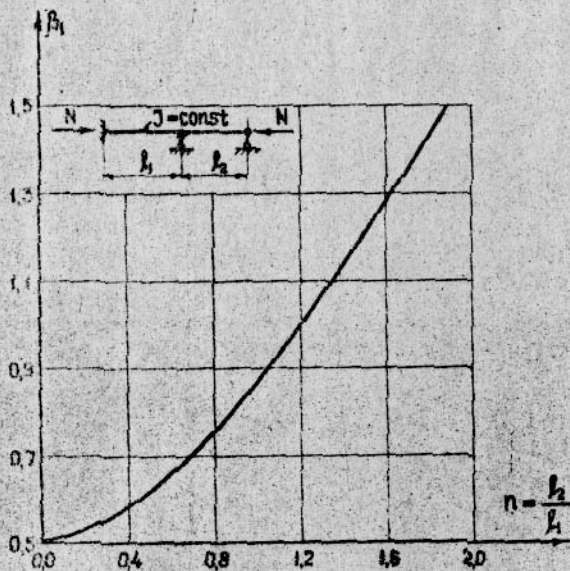


Рис. 53. Задача 85.

$$K = \frac{J_2 \beta_1}{J_1 \beta_2}$$

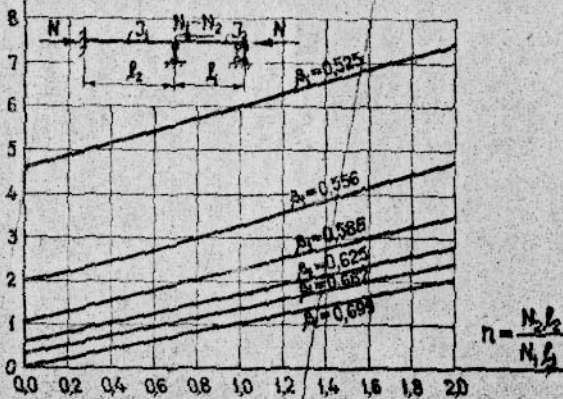


Рис. 54. Задача 87.

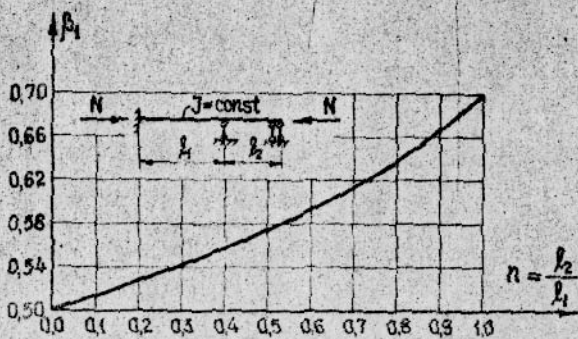


Рис. 55. Задача 89.

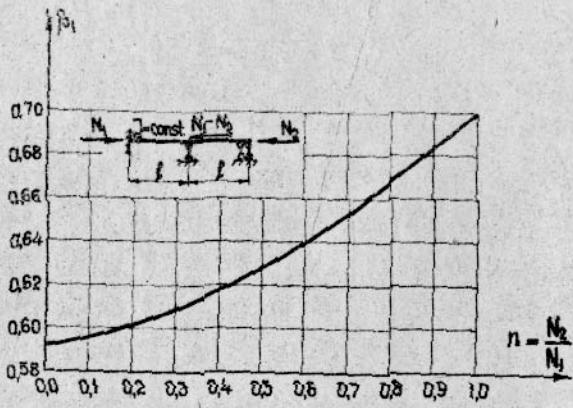


Рис. 56. Задача 90.

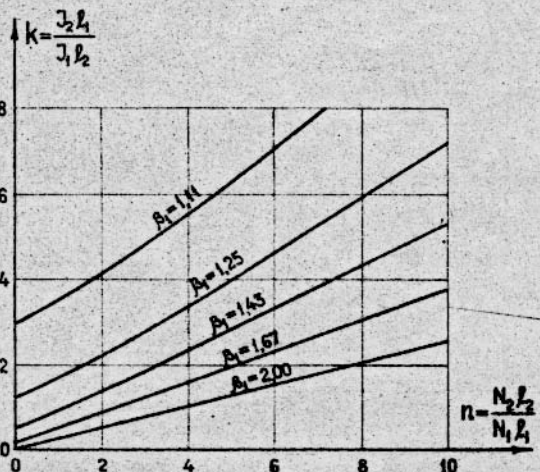


Рис. 57. Задача 92

(также задача 102).

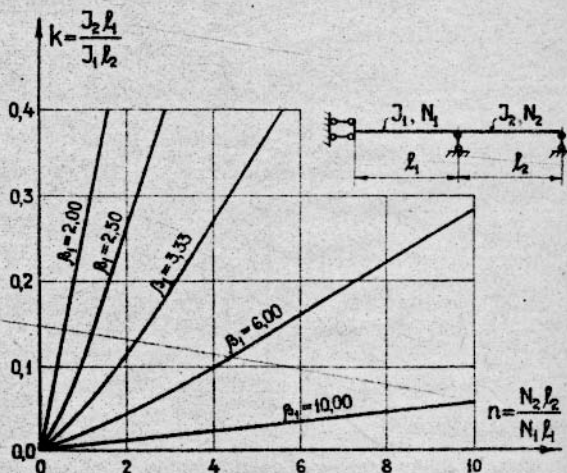


Рис. 58. Задача 92

(также задача 102).

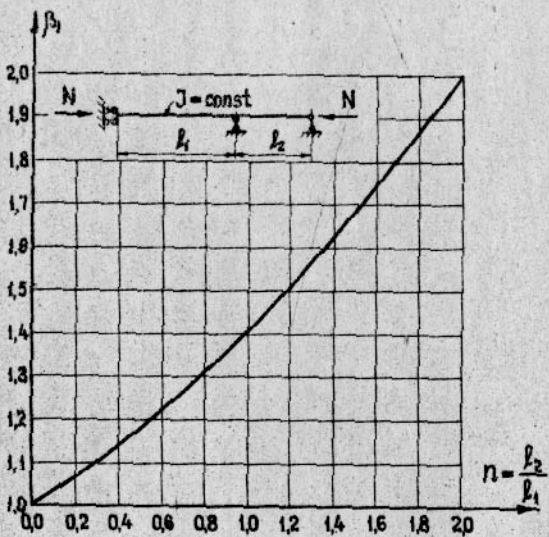


Рис. 59. Задача 95

(также задача 105).

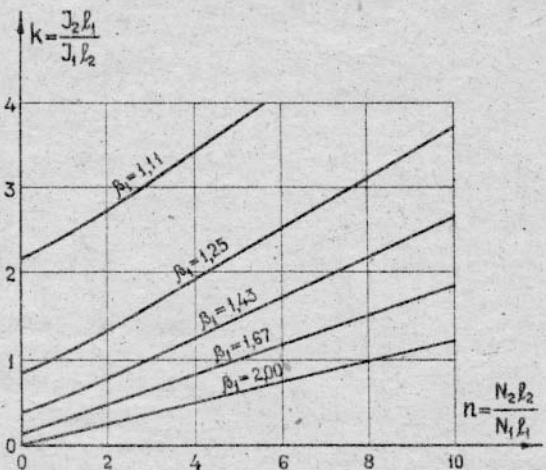


Рис. 60. Задача 97

(также задача 112).

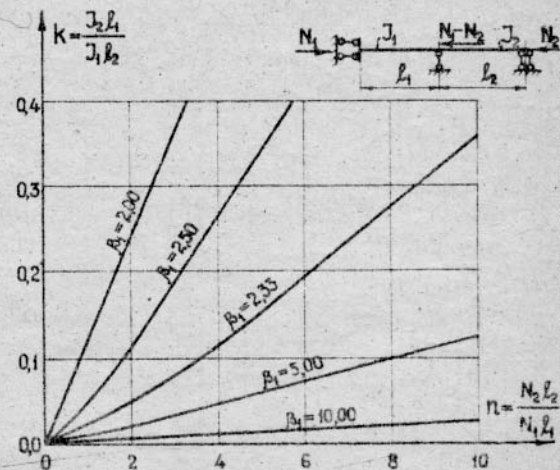


Рис. 61. Задача 97

(также задача 112).

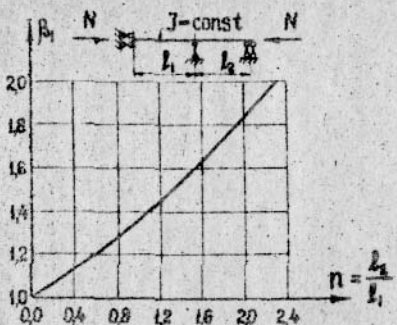


Рис. 62. Задача 100
(точка задача 115).

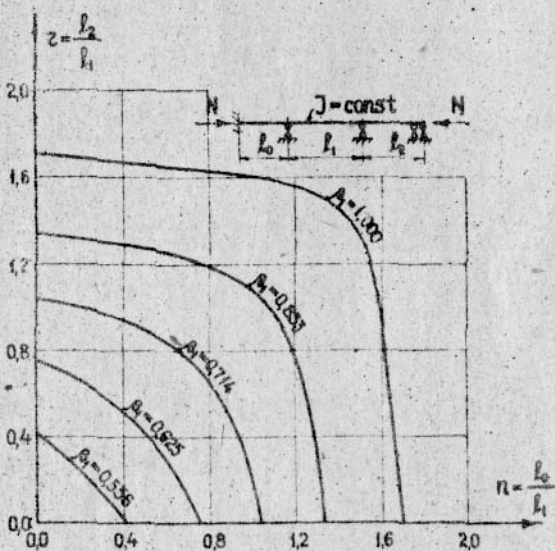


Рис. 63. Задача 120.

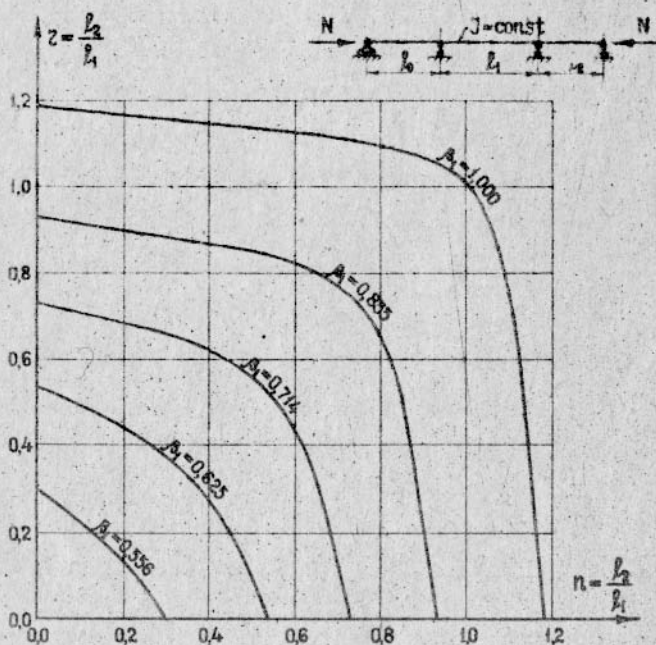


Рис. 64. Задача 110.

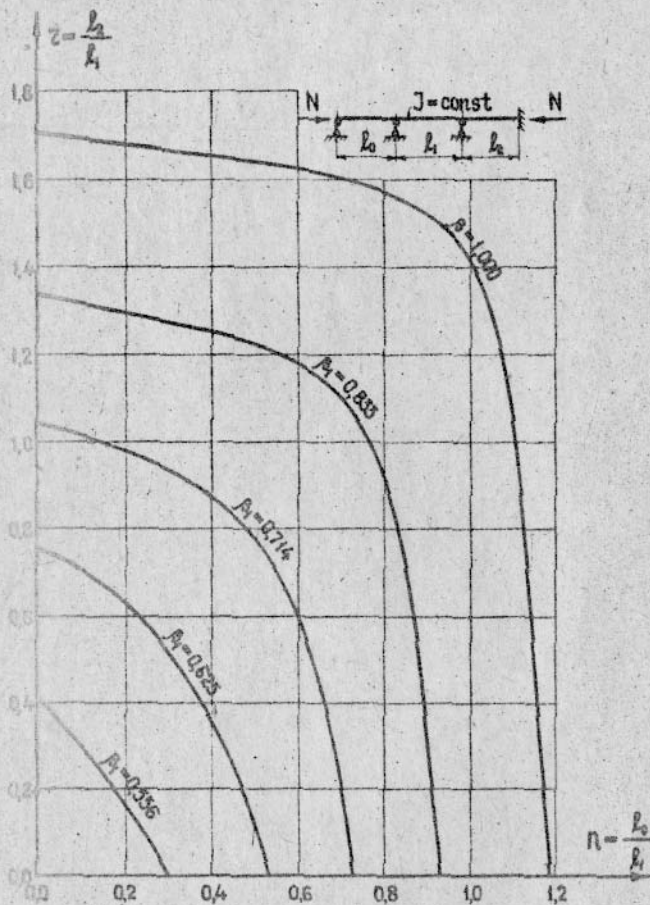


Рис. 65. Задача 122.

Глава пятая

Неразрезные балки на упругих опорах

Рассматривается устойчивость неразрезных балок на упругих (упруго-перемещающихся) опорах и на упруго-вращающихся опорах. Коэффициенты жесткости упругих опор имеют следующий смысл:

1. v - усилие, соответствующее единичному линейному перемещению упругой опоры. При $v = \infty$ опора является жесткой, при $v = 0$ опора отсутствует.

2. μ - момент, соответствующий единичному углу поворота упруго-вращающейся опоры. При $\mu = \infty$ опора обеспечивает жесткую заделку (закемление), при $\mu = 0$ сопротивление повороту опорного сечения отсутствует.

Неразрезные балки на крайних жестких и промежуточных упругих опорах

Задача	Характеристика	Схема	Коэффициенты	$k_{sd} \beta$
126	Шарнирно опертая балка с промежуточной упругой опорой.		k $n = \frac{v\ell^3}{EJ}$	β по рис. 66 (см. 85)
	Частные случаи:	При $v = 0$ При $v = \infty$ При $k = 0,5$	см. задачу 1 см. задачу 79 см. задачу 127	

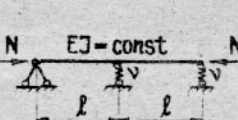
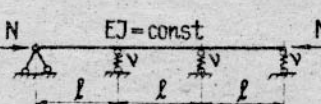
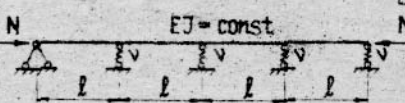
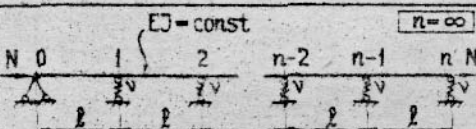
Регулярные неразрезные балки
на крайних жестких и промежуточных упругих опорах

Задача	Характеристика	Схема	Коэффициенты	Код В
127	Регулярная двухпролетная балка на крайних жестких и промежуточных упругих опорах.	<p style="text-align: center;">$EJ = \text{const}$</p>	$n=2$ $m_{\text{уп}} = \frac{\sqrt{l}^3}{2EJ}$	β по рис. 22 (стр. 30)
128	Регулярная трехпролетная балка на крайних жестких и промежуточных упругих опорах.	<p style="text-align: center;">$EJ = \text{const}$</p>	$n=3$ $m = \frac{\sqrt{l}^3}{EJ}$	β по рис. 67 (стр. 86)
129	Регулярная четырехпролетная балка на крайних жестких и промежуточных упругих опорах.	<p style="text-align: center;">$EJ = \text{const}$</p>	$n=4$ $m = \frac{\sqrt{l}^3}{EJ}$	β по рис. 68 (стр. 87)
130	Регулярная неразрезная балка на крайних жестких и промежуточных упругих опорах при бесконечно большом числе пролетов.	<p style="text-align: center;">$EJ = \text{const}$</p>	$n=\infty$ m_0	β по рис. 69 (стр. 88)

Пределенные значения коэффициентов жесткости m_0 (При $m \geq m_0$, $\beta = 1$).

Число пролетов n	2	3	4	5	6	7	8	9	10	11	12	∞
m_0	19,74	29,61	33,70	35,71	36,83	37,52	37,98	38,29	38,51	38,68	38,81	39,48

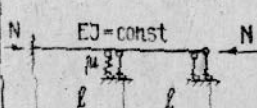
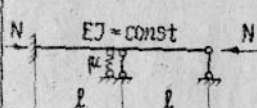
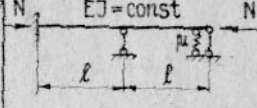
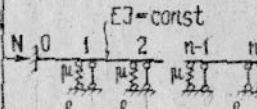
Регулярные неразрезные балки
на одной жесткой и прочих упругих опорах

Задача	Характеристика	Схема	Коэффициенты	Код β
131	Регулярная двухпролетная балка на одной жесткой и прочих упругих опорах.	 <p style="text-align: right;">$n=2$</p>		β по рис. 70 (стр. 89)
132	Регулярная трехпролетная балка на одной жесткой и прочих упругих опорах.	 <p style="text-align: right;">$n=3$</p>		β по рис. 71 (стр. 90)
133	Регулярная четырехпролетная балка на одной жесткой и прочих упругих опорах.	 <p style="text-align: right;">$n=4$</p>		β по рис. 72 (стр. 91)
134	Регулярная неразрезная балка на одной жесткой и прочих упругих опорах при бесконечно большом числе пролетов.	 <p style="text-align: right;">$n=\infty$</p>		β по рис. 69 (стр. 88)

Пределые значения коэффициентов жесткости m_0 (При $\beta = m_0$, $\beta = 1$).

Число пролетов n	1	2	3	4	5	6	7	8	9	10	11	∞
m_0	9,87	25,84	32,05	34,86	36,34	37,22	37,77	38,15	38,41	38,60	38,75	39,48

Регулярные неразрезные балки на упруго-вращающихся опорах.

Задача	Характеристика	Схема	Коэффициенты	Код β
135	Двухпролетная балка, крайние опоры шарнирно закреплены, средняя опора - упруго-вращающаяся.		$m_{\text{пр}} = \frac{\mu l}{2EJ}$	β по рис. 25 (стр. 32)
136	Двухпролетная балка, крайние опоры защемлены, средняя опора - упруго-вращающаяся.		$m_{\text{пр}} = \frac{\mu l}{2EJ}$	β по рис. 24 (стр. 31)
137	Двухпролетная балка, одна крайняя опора защемлена, другая шарнирно опирется, средняя опора - упруго-вращающаяся.		$m = \frac{\mu l}{EJ}$	β по рис. 73 (стр. 92)
138	Двухпролетная балка, одна крайняя опора шарнирно закреплена, другая - упруго-вращающаяся.		$m = \frac{\mu l}{EJ}$	β по рис. 74 (стр. 93)
139	Двухпролетная балка, одна крайняя опора защемлена, другая - упруго-вращающаяся.		$m_{\text{пр}} = \frac{2\mu l}{EJ}$	β по рис. 73 (стр. 92)
140	Многопролетная балка, крайние опоры защемлены, промежуточные опоры упруго-вращающиеся.		$n - \text{число пролетов}$ $m = \frac{\mu l}{EJ}$	β по рис. 75 (стр. 94)
			При $m=0$ см	задачу 86.
			При $m=0$ см	задачу 81.
			При $m=0$ см	задачу 86.
			При $m=0$ см	задачу 124.

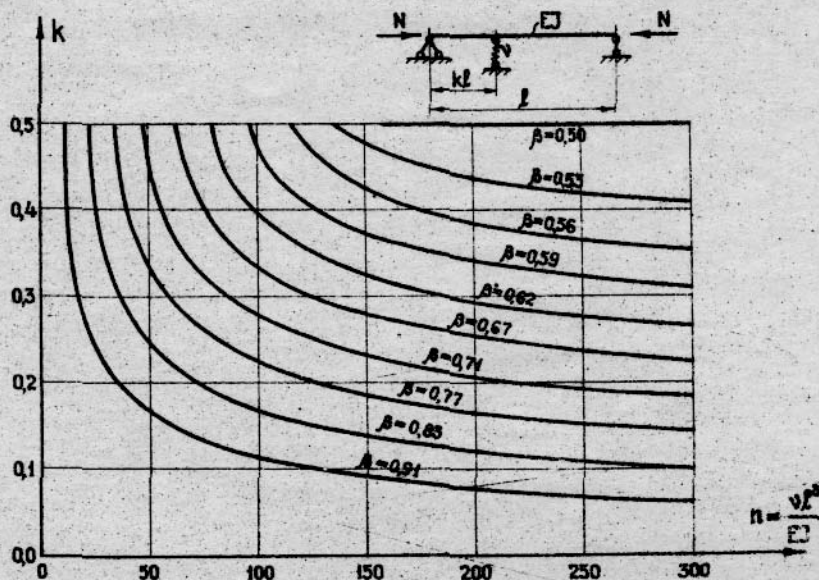


Рис. 66. Задача 126.

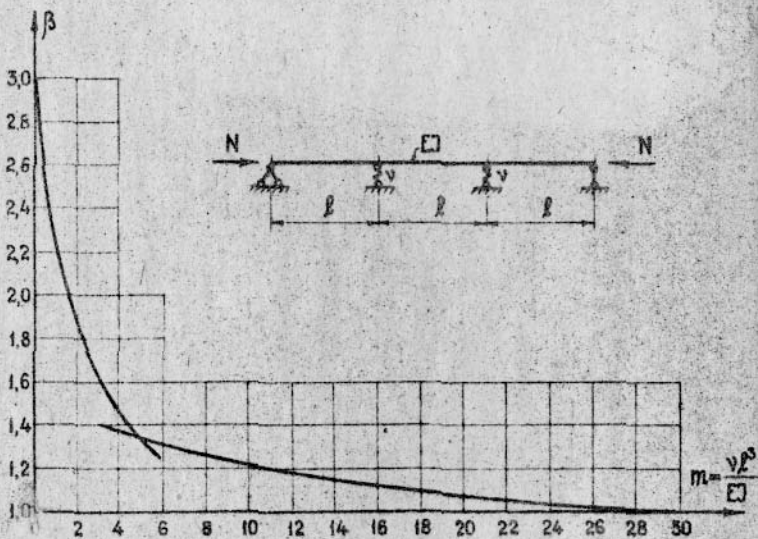


Рис. 67. Задача 128.

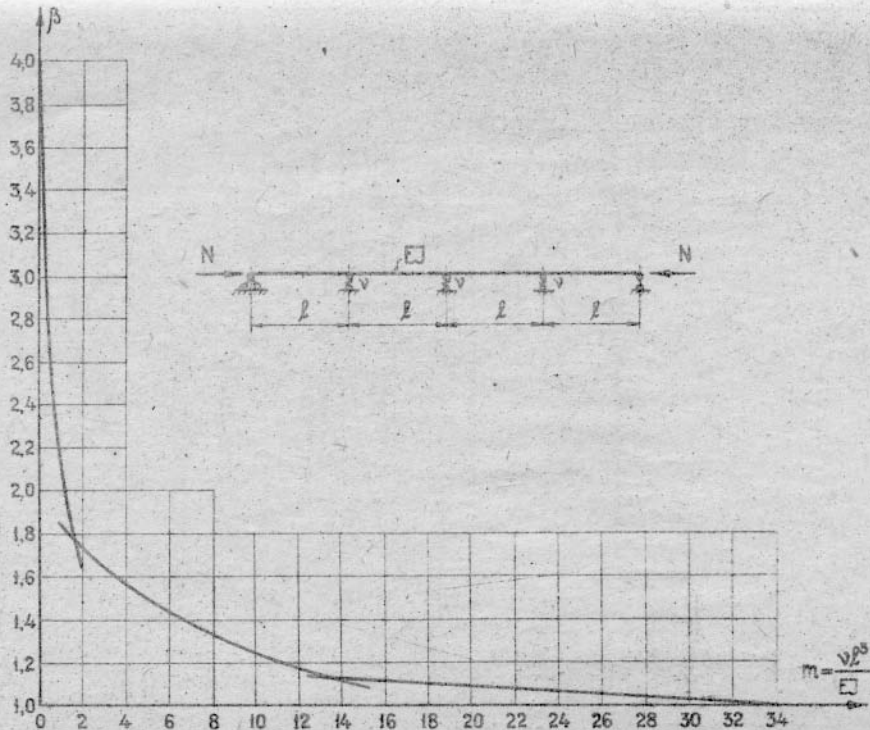


Рис. 68. Задача 129.

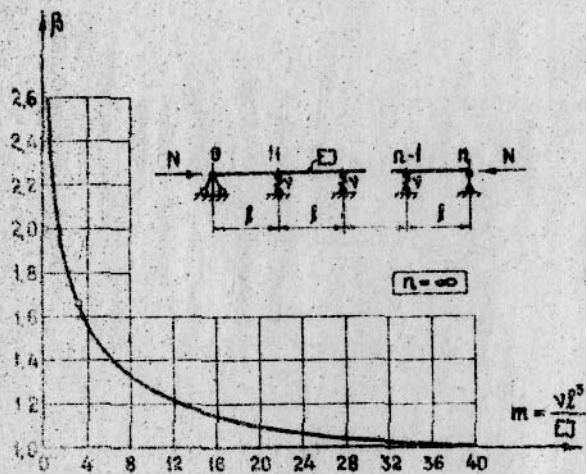


Рис 69. Задача 130
(также задача 134)

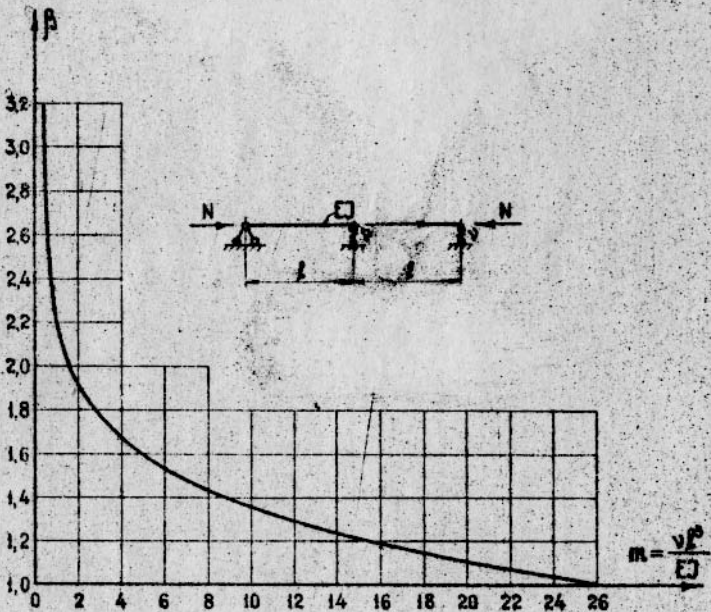


Рис. 70. Задача 131.

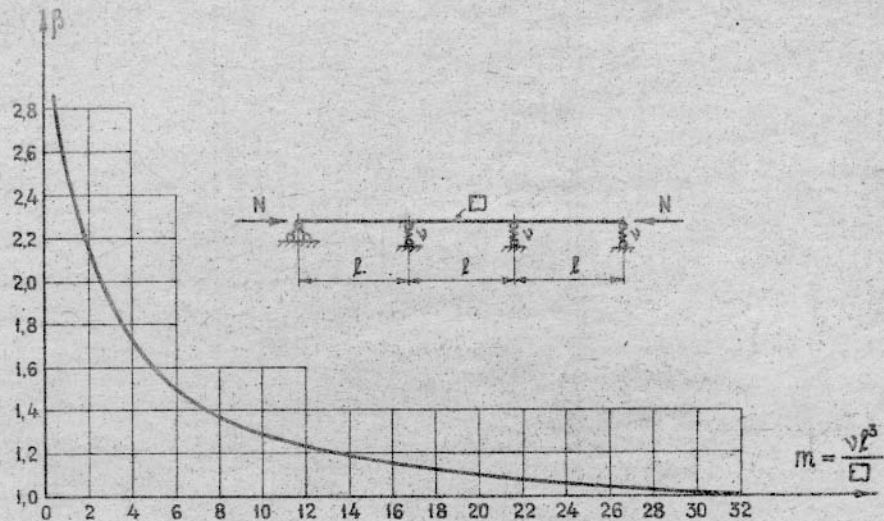


Рис. 71. Задача 152.

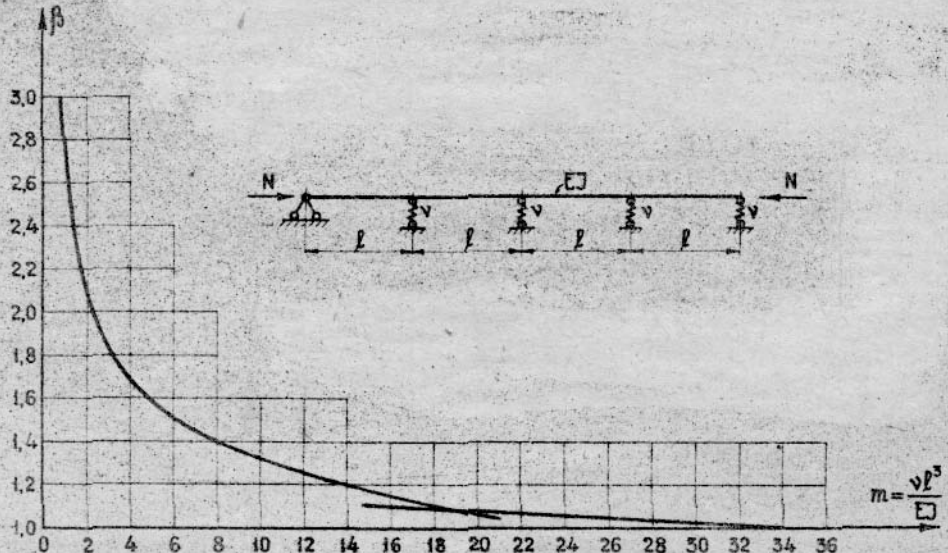


Рис 72. Задача 133.

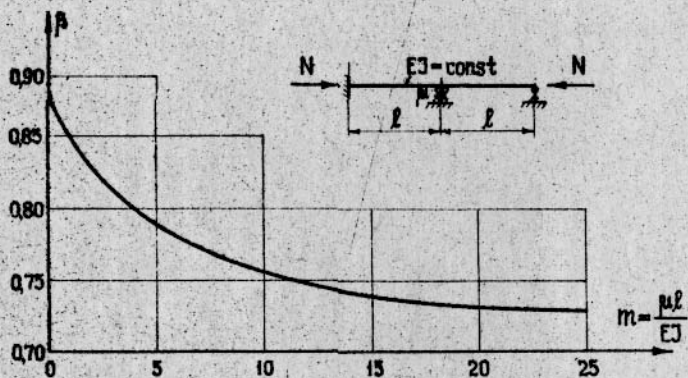


Рис. 73. Задача 137.
(также задача 139 при $m_{\text{пр}}$ вместо m).

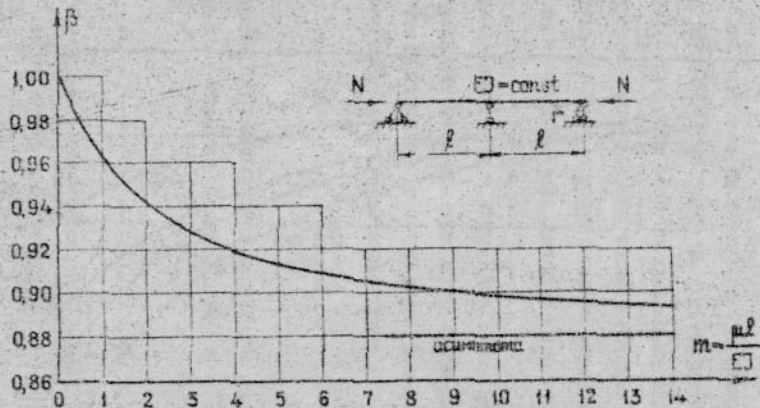


Рис. 74. Задача 138.

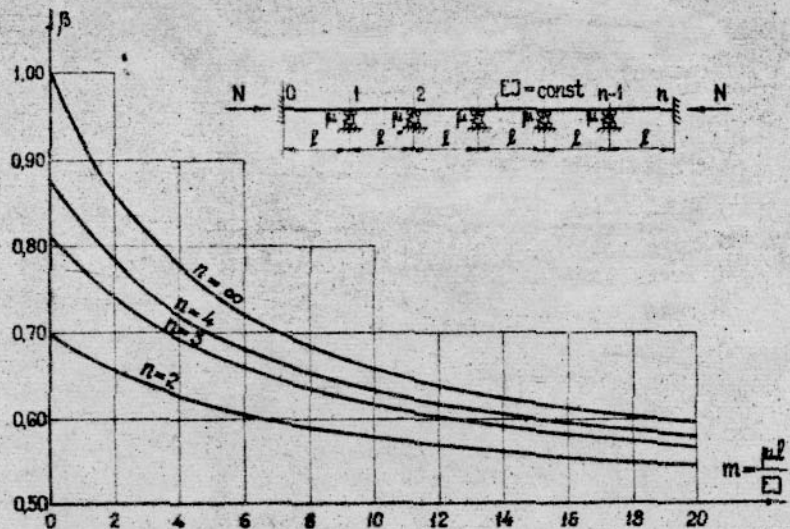


Рис 75. Задача 140.

Глава шестая
Пересекающиеся стержни

Рассматривается устойчивость системы двух стержней, пересекающихся в середине своей длины, а также устойчивость изогнутого стержня, опиравшегося на несколько поперечных балок. Такой стержень представляет собой балку на упругих опорах, причем коэффициенты жесткости упругих опор ψ зависят не только от жесткости EJ , и длины a поперечных балок, но также и от величины продольного усилия S^* в этих балках в момент потери устойчивости, когда окажавшая сила в основном стержне достигнет критического значения N^* .

Определение квадратного корня β для задач I45-I48 производится на основе ряда пробных попыток. Задавшись некоторым значением S^* , вычисляем ψ и по соответствующему графику главы пятой находим квадрат β . Величина критической силы в основном стержне равна

$$N^* = \frac{\pi^2 E J}{(\beta l)^2}$$

Далее проверяем, выполняется ли условие пропорциональности между продольными усилиями в основном стержне и в поперечных балках

$$\frac{N^*}{S^*} = \frac{N}{S}$$

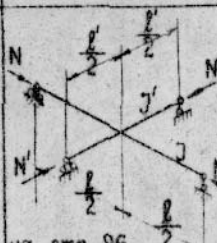
Если это условие не соблюдено, то следует задаться другим значением S^* и повторить вычисления.

Пересекающиеся стержни

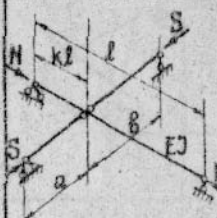
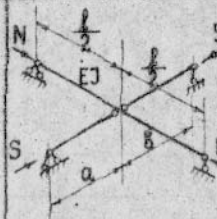
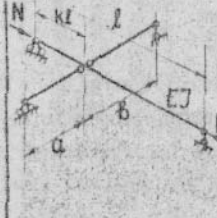
Задача	Характеристика	Схема	Коэффициенты	Коэф. β
141	Пересекающиеся стержни равной длины (перекрестные раскосы фермы с параллельными поясами).		$k = \frac{J'}{J}$ $n = \frac{N'}{N}$	для стержня З β по рис. 76 (стр. 101) для стержня І' $\beta' = \sqrt{\frac{k}{n}} \beta$
142	Частный случай задачи 141: жесткости стержней одинаковы ($J' = J$).		$n = \frac{N'}{N}$	для стержня N β по рис. 77 (стр. 102) для стержня N' $\beta' = \frac{\beta}{\sqrt{n}}$
143	Частный случай задачи 141: в поддерживаемом стержне продольное усилие отсутствует ($N' = 0$).		$k = \frac{J'}{J}$	β по рис. 78 (стр. 103)
144	Частный случай задачи 143: жесткости стержней одинаковы ($J' = J$).			$\beta = 0,713$

Приимечания. 1. В задачах 141-145 значения коэф. β не менее 0,5.

2. В задачах 141, 142, 145 при расстоянии поддерживаемом стержне $n < 0$.

Задача	Характеристика	Схема	Коэффициенты	Код β
145	Стержни неравной длины, пересекающиеся в середине их пролетов.	 на стр. 96.	$k_{\text{пр}} = \frac{J'}{J} \left(\frac{l}{l'} \right)^3$ $n_{\text{пр}} = \frac{N' l}{N^2}$ $\beta' = \sqrt{\frac{k}{n}} \beta$	для стержня J β по рис. 76 (стр. 101) для стержня J'

Шарнирно присоединенные стержни

Задача	Характеристика	Схема	Коэффициенты	Код β
146	Сжатый стержень с двумя шарнирно присоединенными стержнями.		$k (k=0,5)$ $n = \frac{N}{S} \frac{ab}{E(a+b)}$	β по рис. 80 (стр. 104) $S^* = \frac{S}{N} \frac{\pi^2 E J}{(\beta l)^2}$
147	Частный случай задачи 146: примыкание в середине пролета.		$n = \frac{N}{S} \frac{ab}{E(a+b)}$	β по рис. 79 (стр. 103) $S^* = \frac{S}{N} \frac{\pi^2 E J}{(\beta l)^2}$
148	Частный случай задачи 146: сжимающая сила в примыкающих стержнях отсутствует ($S = 0$).		Сравни задачу 1	$\beta = 1,0$

Задача	Характеристика	Схема	Коэффициенты	Критическая сила
149	Частный случай задачи 146: сжаты только шарнирно присоединенные стержни.		Сравни задачу 43 при $N_1 = N_2 = S$	$S^* = \frac{3EJ}{l^3 k^2 (1-k)^2} \cdot \frac{ab}{a+b}$
150	Частный случай задачи 149: прымкание в середине пролета ($k = 0,5$).		Сравни задачу 43 при $N_1 = N_2 = S$	$S^* = \frac{48EJ}{l^3} \cdot \frac{ab}{a+b}$
151	Частный случай задачи 150: длины шарнирно присоединенных стержней одинаковы ($a = b$).		Сравни задачу 44	$S^* = \frac{24EJa}{l^3}$

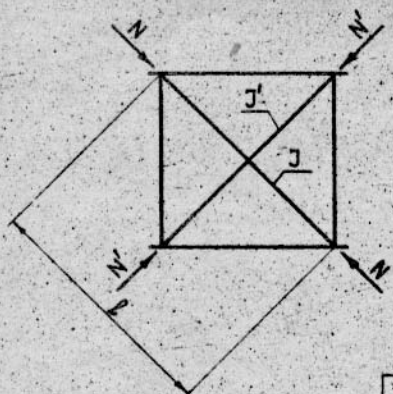
Примечание. В задачах 146-147, 149-151 сжатые шарнирно присоединенные стержни рассчитываются со свободными длинами a и b . Кроме того, должен быть обеспечен запас устойчивости системы по отношению к критической силе S^* .

Стержень, опирающийся на поперечные балки

Задача	Характеристика	Схема	Коэффициент жесткости упругой опоры	Код β
152	Сжатый стержень, опирающийся на сжатые поперечные балки.		$\mu = \sqrt{\frac{S^*}{EJ_1}} a$ (см. примечание на стр. 100) $v = \frac{S^*}{a \left[\frac{\sin \mu a \sin(1-\mu) a}{\mu \sin \mu} - k(1-k) \right]}$	см. задачи 126-134
153	Частный случай задачи 152: опирание в середине пролета поперечных балок ($k = 0,5$).		$\mu = \sqrt{\frac{S^*}{EJ_1}} a$ (см. примечание на стр. 100) $v = \frac{4S^*}{a \left(\frac{2}{\mu} \operatorname{tg} \frac{\mu}{2} - 1 \right)}$	см. задачи 126-134
154	Сжатый стержень, опирающийся на расстояние поперечные балки.		$\mu = \sqrt{\frac{S^*}{EJ_1}} a$ (см. примечание на стр. 100) $v = \frac{S^*}{a \left[k(1-k) - \frac{\operatorname{sh} \mu a \operatorname{sh} (1-k) a}{\mu \operatorname{sh} \mu a} \right]}$	см. задачи 126-134

Задача	Характеристика	Схема	Коэффициент жесткости упругой опоры	Коэф. β
155	частный случай задачи 154: опирание в середине пролета поперечных балок ($k=0,5$).		$u = \sqrt{\frac{S^*}{EJ_1} a}$ (см. примечание)	
156	Частный случай задач 152 и 154: продолжение усилия в поперечных балках отсутствует ($S = 0$)		$v = \frac{4S^*}{a(1 - \frac{2}{u} \ln \frac{u}{1})}$	126 - 134
157	Частный случай задачи 156: опирание в середине пролета поперечных балок ($k = 0,5$).		$v = \frac{3EJ_1}{a^3 k^2 (1-k)^2}$	задачи -001-

Примечание. В задачах 152-155 величина S^* принимается соответствующей состоянию пограничной системы.



$$k = \frac{J'}{J}$$

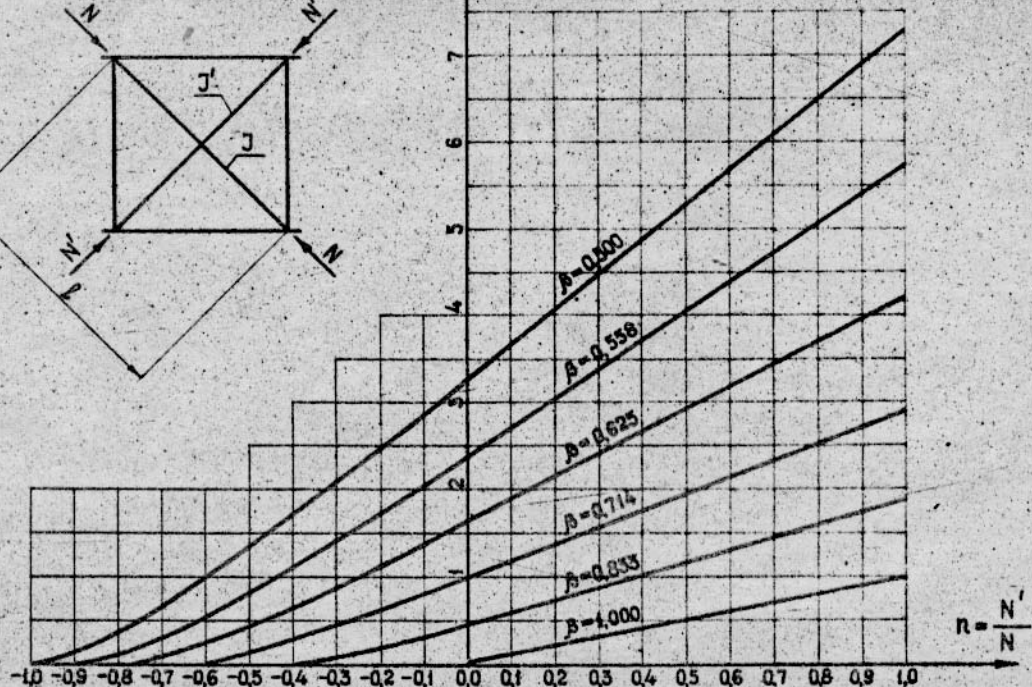


Рис. 76. Задача 141. (также задача 145 при Π_{pr} и K_{pr} вместо n и k).

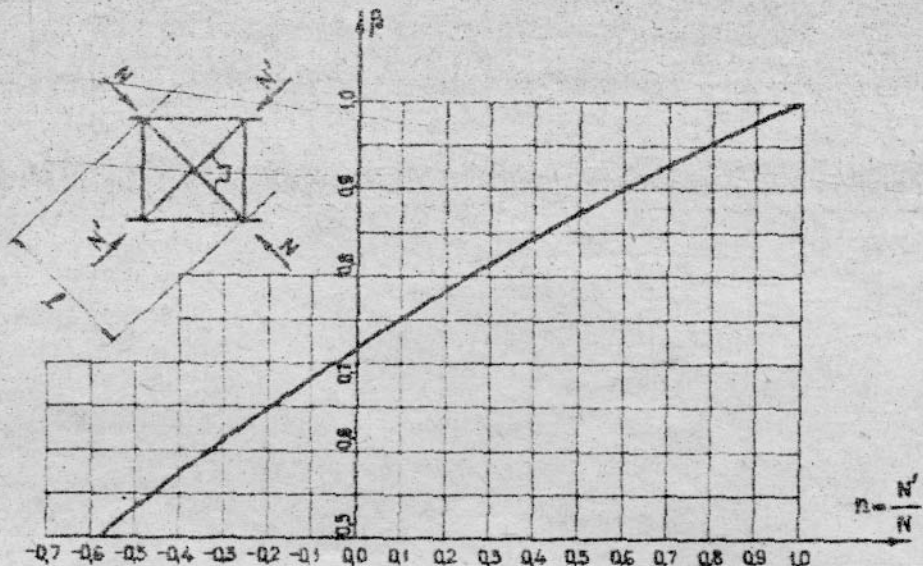


Рис. 77. Задача 142.

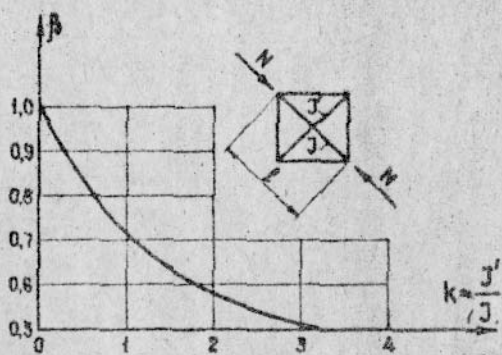


Рис. 78. Задача 143.

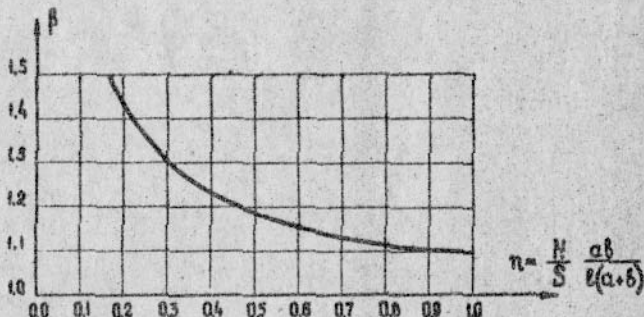


Рис. 79. Задача 147.

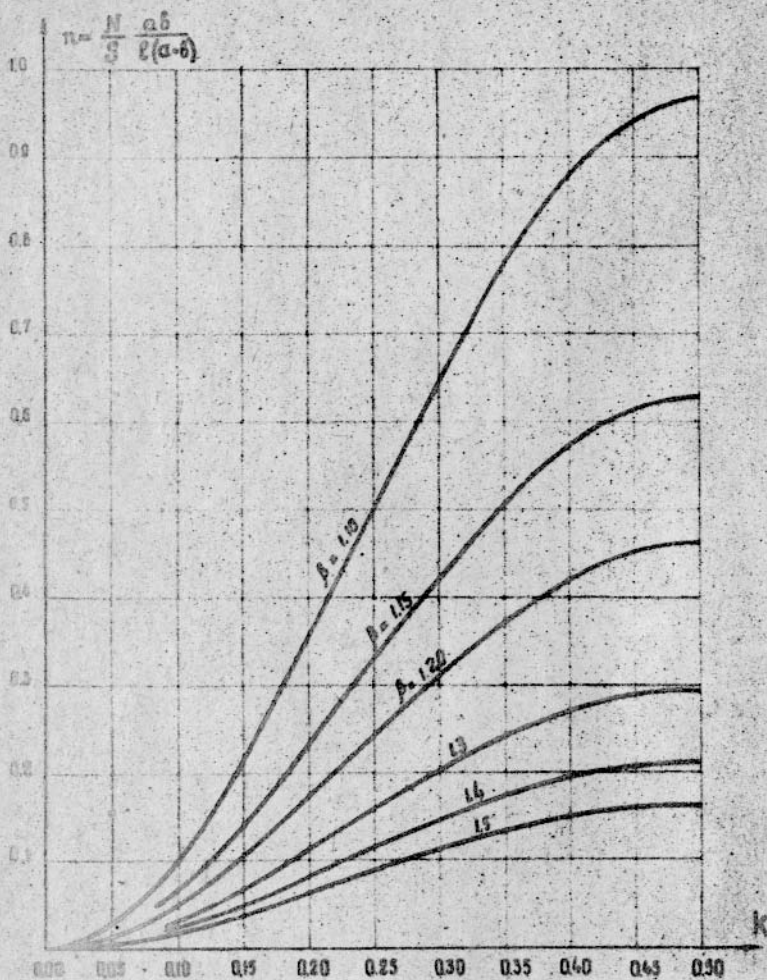
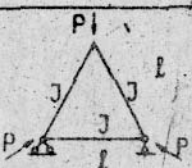
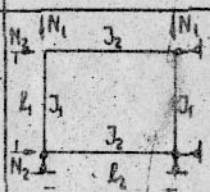
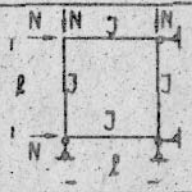
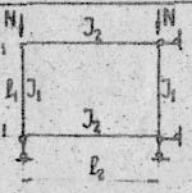


Рис. 80. Задача 146.

Глава седьмая

Одноэтажные рамы

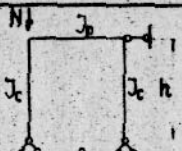
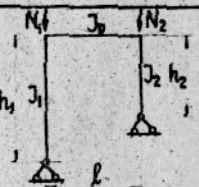
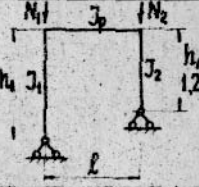
Замкнутые рамы

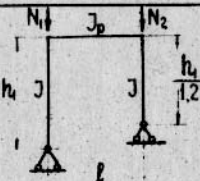
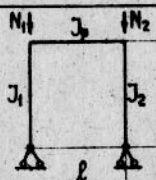
Задача	Характеристика	Схема	Коэффициенты	Код β
158	Замкнутая прямолинейная треугольная рама.			$\beta = 0,814$
159	Замкнутая прямоугольная симметричная рама с несмещивающимися узлами		$k = \frac{J_2 l_1}{J_1 l_2}$ $n = \frac{N_2 l_2}{N_1 l_1}$	β_1 по рис. 81 (смр. 123) $\beta_2 = \sqrt{\frac{k}{n}} \beta_1$
160	Частный случай задачи 159: $\frac{J_1}{J_2} = \frac{N_2}{N_1}$ ($k n = 1$).	см. схему задачи 159	$k = \frac{J_2 l_1}{J_1 l_2}$	$\beta_1 = \frac{1+k}{2k}$ $\beta_2 = \frac{1+k}{2}$
161	Частный случай задачи 159: правильная рама, сжимающие силы во всех элементах равны ($l_1 = l_2 = l$, $J_1 = J_2 = J$, $N_1 = N_2 = N$).			$\beta = 1,0$
162	Частный случай задачи 159: сжимающая сила в горизонтальных элементах отсутствует ($N_2 = 0$).		$m = \frac{2J_2 l_1}{J_1 l_2}$	β по рис. 20 (смр. 29)

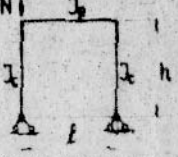
Задача	Характеристика	Схема	Коэффициенты	Коэф. β
163	Частный случай задачи 162: правильная рама ($J_1 = J_2 = J$, $J_1 = J_2 = J$).			$\beta = 0,773$
164	Замкнутая правильная симметричная рама со смешивающимися узлами.		$k = \frac{J_2 l_1}{J_1 l_2}$ $n = \frac{N_2 l_2}{N_1 l_1}$	β_1 по рис. 82 (стр. 124) $\beta_2 = \sqrt{\frac{k}{n}} \beta_1$
165	Частный случай задачи 164: правильная рама, сжимающие силы во всех элементах равны ($J_1 = J_2 = J$, $J_1 = J_2 = J$, $N_1 = N_2 = N$).			$\beta = 1,347$
166	Частный случай задачи 164: сжимающая сила в горизонтальных элементах отсутствует ($N_2 = 0$).		$m = \frac{6J_2 l_1}{J_1 l_2}$	β по рис. 21 (стр. 30)
167	Частный случай задачи 166: правильная рама ($J_1 = J_2 = J$, $J_1 = J_2 = J$).			$\beta = 1,318$

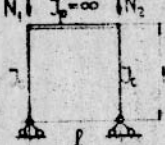
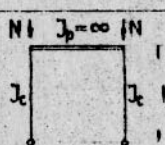
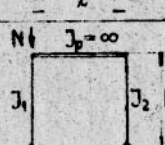
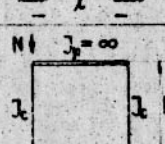
Однопролётные рамы с шарнирно закрепленными стойками

Задача	Характеристика	Схема	Коэффициенты	Коф. β
168	П-образная рама, одна стойка шарнирно закреплена, другая шарнирно опорта.		$k = \frac{J_p h}{J_c l}$ $n = \frac{N_2}{N_1}$	β_1 по рис. 83 (стр. 125) $\beta_2 = \sqrt{n}$
169	Частный случай задачи 168: сжимающие силы в стойках равны ($N_1 = N_2 = N$).		$m = \frac{2J_p h}{J_c l}$	β по рис. 26 (стр. 32)
170	Частный случай задачи 168: сжимающая сила во второй стойке отсутствует ($N_2 = 0$).		$m = \frac{3J_p h}{J_c l}$	β по рис. 26 (стр. 32)
171	Частный случай задачи 168: бесконечную жесткость ригель ($J_p = \infty$).			$\beta_1 = 2$ $\beta_2 = 2$
172	П-образная рама с несмещающимися узлами, стойки шарнирно закреплены.		$k = \frac{J_p h}{J_c l}$ $n = \frac{N_2}{N_1}$	β_1 по рис. 84 (стр. 126) $\beta_2 = \sqrt{n}$
173	Частный случай задачи 172: сжимающие силы в стойках равны ($N_1 = N_2 = N$).		$m = \frac{2J_p h}{J_c l}$	β по рис. 25 (стр. 32)

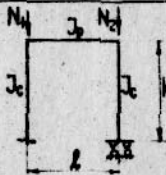
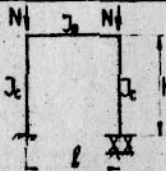
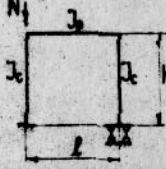
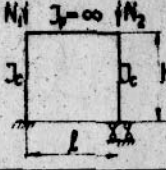
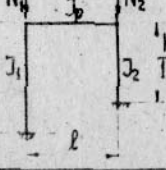
Задача	Характеристика	Схема	Коэффициенты	Код β
174	Частный случай задачи 172: сжимающая сила во второй стойке отсутствует ($N_2=0$)		$m = 12k \frac{k+1}{4k+3}$	β по рис. 25 (стр. 32)
175	Частный случай задачи 172: бесконечно жесткий ригель ($J_p=\infty$)			$\beta_1 = 0,7$ $\beta_2 = 0,7$
176	Несимметричная П-образная рама, стойки шарнирно закреплены:		$p = \frac{h_1}{h_2}$	см. задачи 177-198.
177	Частный случай задачи 176: $h_1 = 1,2h_2$ ($p = 1,2$)		$m = \frac{J_2}{J_1}$	см. задачи 178-183.
178	Частный случай задачи 177: $J_2 = 0,5J_1$, ($m = 0,5$)	см. схему задачи 177.	$k = \frac{J_p h_1}{J_1 l}$ $n = \frac{N_2}{N_1}$	β_1 по рис. 85 (стр. 127) $\beta_2 = \frac{0,848}{\sqrt{n}} \beta_1$
179	Частный случай задачи 177: $J_2 = 0,6J_1$, ($m = 0,6$)	см. схему задачи 177.	$k = \frac{J_p h_1}{J_1 l}$ $n = \frac{N_2}{N_1}$	β_1 по рис. 87 (стр. 128) $\beta_2 = \frac{0,930}{\sqrt{n}} \beta_1$

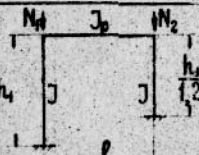
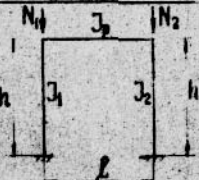
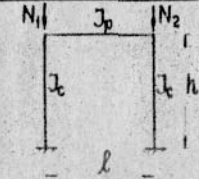
Задача	Характеристика	Схема	Коэффициенты	Код β
180	Частный случай задачи 177: $J_2 = 0,7J_1$ ($m=0,7$)	см. схему задачи 177.	$k = \frac{J_p h_1}{J_1 l}$ $n = \frac{N_2}{N_1}$	β_1 по рис. 88 (стр. 128) $\beta_2 = \frac{1,004}{\sqrt{n}} \beta_1$
181	Частный случай задачи 177: $J_2 = 0,8J_1$ ($m=0,8$)	см. схему задачи 177.	$k = \frac{J_p h_1}{J_1 l}$ $n = \frac{N_2}{N_1}$	β_1 по рис. 89 (стр. 129) $\beta_2 = \frac{1,073}{\sqrt{n}} \beta_1$
182	Частный случай задачи 177: $J_2 = 0,9J_1$ ($m=0,9$)	см. схему задачи 177.	$k = \frac{J_p h_1}{J_1 l}$ $n = \frac{N_2}{N_1}$	β_1 по рис. 90 (стр. 129) $\beta_2 = \frac{1,138}{\sqrt{n}} \beta_1$
183	Частный случай задачи 177: жесткости стоек равны $J_2 = J_1 = J$ ($m=1,0$)		$k = \frac{J_p h_1}{J l}$ $n = \frac{N_2}{N_1}$	β_1 по рис. 86 (стр. 127) $\beta_2 = \frac{1,2}{\sqrt{n}} \beta_1$
184	Частный случай задачи 176: стойки равной высоты $h_1 = h_2 = h$ ($p=1$)		$m = \frac{J_2}{J_1}$	см. задачи 185-198
185	Частный случай задачи 184: $J_2 = 0,5J_1$ ($m=0,5$)	см. схему задачи 184.	$k = \frac{J_p h}{J_1 l}$ $n = \frac{N_2}{N_1}$	β_1 по рис. 91 (стр. 130) $\beta_2 = \frac{0,707}{\sqrt{n}} \beta_1$
186	Частный случай задачи 184: $J_2 = 0,6J_1$ ($m=0,6$)	см. схему задачи 184.	$k = \frac{J_p h}{J_1 l}$ $n = \frac{N_2}{N_1}$	β_1 по рис. 93 (стр. 131) $\beta_2 = \frac{0,775}{\sqrt{n}} \beta_1$

Задача	Характеристика	Схема	Коэффициенты	Код β
187	частный случай задачи 184: $J_2 = 0,7 J_1$, ($m = 0,7$)	см. схему задачи 184	$k = \frac{J_p h}{J_1 l}$ $n = \frac{N_2}{N_1}$	β_1 по рис. 94 (смр. 131) $\beta_2 = \frac{0,837}{\sqrt{n}} \beta_1$
188	частный случай задачи 184: $J_2 = 0,8 J_1$, ($m = 0,8$)	см. схему задачи 184	$k = \frac{J_p h}{J_1 l}$ $n = \frac{N_2}{N_1}$	β_1 по рис. 95 (смр. 132) $\beta_2 = \frac{0,894}{\sqrt{n}} \beta_1$
189	частный случай задачи 184: $J_2 = 0,9 J_1$, ($m = 0,9$)	см. схему задачи 184	$k = \frac{J_p h}{J_1 l}$ $n = \frac{N_2}{N_1}$	β_1 по рис. 96 (смр. 132) $\beta_2 = \frac{0,949}{\sqrt{n}} \beta_1$
190	частный случай задачи 184: жесткости стоеч равны $J_2 = J_1 = J_c$ ($m = 1,0$)		$k = \frac{J_p h}{J_c l}$ $n = \frac{N_2}{N_1}$	β_1 по рис. 92 (смр. 130) $\beta_2 = \frac{\beta_1}{\sqrt{n}}$
191	частный случай задачи 190: сжимающие силы в стойках равны $N_1 = N_2 = N$ ($n=1$)		$k = \frac{J_p h}{J_c l}$	β по рис. 97 (смр. 133)
192	частный случай задачи 190: сжимающая сила во второй стойке отсутствует $N_2 = 0$ ($n=0$)		$k = \frac{J_p h}{J_c l}$	β по рис. 97 (смр. 133)
193	частный случай задачи 184: бесконечно жесткими ригелями ($J_p = \infty$)		$m = \frac{J_2}{J_1}$ $n = \frac{N_2}{N_1}$	$\beta_1 = 2 \sqrt{\frac{1+n}{1+m}} \beta_1$ $\beta_2 = \sqrt{\frac{m}{n}} \beta_1$

Задача	Характеристика	Схема	Коэффициенты	Коф. β
194	Частный случай задачи 193: жесткости стоек равны $J_1 = J_2 = J_c$ ($m=1$)	$N_1 \quad J_p=\infty \quad N_2$ 		$\beta_1 = 2\sqrt{\frac{N_1 + N_2}{2N_1}}$ $\beta_2 = 2\sqrt{\frac{N_1 + N_2}{2N_2}}$
195	Частный случай задачи 193: сжимающие силы в стойках равны $N_1 = N_2 = N$ ($n=1$)	$N_1 \quad J_p=\infty \quad N$ 		$\beta_1 = 2\sqrt{\frac{2J_1}{J_1 + J_2}}$ $\beta_2 = 2\sqrt{\frac{2J_2}{J_1 + J_2}}$
196	Частный случай задачи 195: жесткости стоек равны $J_1 = J_2 = J_c$ ($m=1$)	$N_1 \quad J_p=\infty \quad N$ 		$\beta = 2$
197	Частный случай задачи 193: сжимающая сила во второй стойке отсутствует $N_2=0$ ($n=0$).	$N_1 \quad J_p=\infty$ 		$\beta = 2 \sqrt{\frac{J_1}{J_1 + J_2}}$
198	Частный случай задачи 197: жесткости стоек равны $J_1 = J_2 = J_c$ ($m=1$)	$N_1 \quad J_p=\infty$ 		$\beta = 1,414$

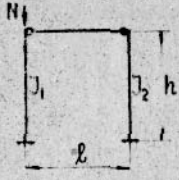
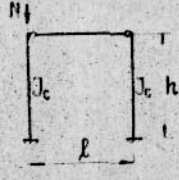
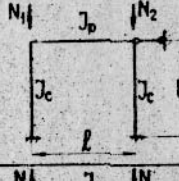
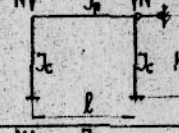
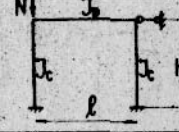
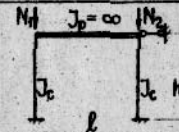
Однопролетные рамы с защемленными стойками

Задача	Характеристика	Схема	Коэффициенты	Код β
199	П-образная рама, одна стойка имеет неподвижное, другая - подвижное защемление.		$k = \frac{J_p h}{J_c l}$ $m = \frac{N_2}{N_1}$	β_1 по рис. 98 (смр. 134) $\beta_2 = \frac{\beta_1}{\sqrt{m}}$
200	Частный случай задачи 199: сжимающие силы в стойках равны $N_1 = N_2 = N$ ($n = 1$).		$m = \frac{2J_p h}{J_c l}$	β по рис. 19 (смр. 29)
201	Частный случай задачи 199: сжимающая сила во второй стойке отсутствует $N_2 = 0$ ($n = 0$).		$m = 4k \frac{3k+1}{4k+1}$	β по рис. 19 (смр. 29)
202	Частный случай задачи 199: бесконечно жесткий ригель ($J_p = \infty$)			$\beta_1 = 1$ $\beta_2 = 1$
203	Несимметричная П-образная рама, стойки защемлены.		$p = \frac{h_1}{h_2}$	см. задачи 204 - 225
204	Частный случай задачи 203: $h_1 = 1,2 h_2$ ($p = 1,2$).		$m = \frac{J_2}{J_1}$	см. задачи 205, 206

Задача	Характеристика	Схема	Коэффициенты	Коэф. β
205	Частный случай задачи 204: $J_2 = 0,5 J_1$ ($m = 0,5$).	см. схему задачи 204	$k = \frac{J_p h_1}{J_1 l}$ $n = \frac{N_2}{N_1}$	β_1 по рис. 99 (стр. 135) $\beta_2 = \frac{0,848}{\sqrt{n}} \beta_1$
206	Частный случай задачи 204: жесткости стоек равны $J_2 = J_1 = J$ ($m = 1,0$).		$k = \frac{J_p h_1}{J l}$ $n = \frac{N_2}{N_1}$	β_1 по рис. 100 (стр. 135) $\beta_2 = \frac{1,2}{\sqrt{n}} \beta_1$
207	Частный случай задачи 203: стойки рабочей высоты $h_1 = h_2 = h$ ($p = 1$).		$m = \frac{J_2}{J_1}$ $n = \frac{N_2}{N_1}$ $k = \frac{J_p h}{J_1 l}$	$\beta_1 = \frac{2+5k}{1+5k} \sqrt{\frac{1+n}{1+m}}$ $\beta_2 = \sqrt{\frac{m}{n}} \beta_1$ см. также задачи 208-225
208	Частный случай задачи 207: $J_2 = 0,5 J_1$ ($m = 0,5$)	см. схему задачи 207.	$k = \frac{J_p h}{J_1 l}$ $n = \frac{N_2}{N_1}$	β по рис. 101 (стр. 136) $\beta_2 = \frac{0,707}{\sqrt{n}} \beta_1$
209	Частный случай задачи 207: $J_2 = 0,8 J_1$ ($m = 0,8$).	см. схему задачи 207.	$k = \frac{J_p h}{J_1 l}$ $n = \frac{N_2}{N_1}$	β_1 по рис. 102 (стр. 136) $\beta_2 = \frac{0,894}{\sqrt{n}} \beta_1$
210	Частный случай задачи 207: $J_2 = 0,9 J_1$ ($m = 0,9$).	см. схему задачи 207.	$k = \frac{J_p h}{J_1 l}$ $n = \frac{N_2}{N_1}$	β_1 по рис. 103 (стр. 137) $\beta_2 = \frac{0,949}{\sqrt{n}} \beta_1$
211	Частный случай задачи 207: жесткости стоек равны $J_2 = J_1 = J_c$ ($m = 1,0$).		$k = \frac{J_p h}{J_c l}$ $n = \frac{N_2}{N_1}$	$\beta_1 = \frac{2+5k}{1+5k} \sqrt{\frac{1+n}{2}}$ или по рис. 104 (стр. 137) $\beta_2 = \frac{\beta_1}{\sqrt{n}}$

Задача	Характеристика	Схема	Коэффициенты	КСД β
212	Частный случай задачи 211: сжимающие силы в стойках равны $N_1 = N_2 = N$ ($n=1$).		$k = \frac{J_p h}{J_c l}$	$\beta = \frac{2+5k}{1+5k}$ или по рис. 105 (смр. 138)
213	Частный случай задачи 211: сжимающая сила во второй стойке отсутствует. $N_2 = 0$ ($n=0$).		$k = \frac{J_p h}{J_c l}$	$\beta = 0,707 \frac{2+5k}{1+5k}$ или по рис. 105 (смр. 138)
214	Частный случай задачи 207: бесконечно жесткийriegель ($J_p = \infty$).		$m = \frac{J_2}{J_1}$ $n = \frac{N_2}{N_1}$	$\beta_1 = \sqrt{\frac{1+n}{1+m}}$ $\beta_2 = \sqrt{\frac{m}{n}} \beta_1$
215	Частный случай задачи 214: жесткости стоек равны $J_1 = J_2 = J_c$ ($m=1$).		$n = \frac{N_2}{N_1}$	$\beta_1 = \sqrt{\frac{1+n}{2}}$ $\beta_2 = \frac{\beta_1}{\sqrt{n}}$
216	Частный случай задачи 214: сжимающие силы в стойках равны $N_1 = N_2 = N$ ($n=1$).			$\beta_1 = \sqrt{\frac{2J_1}{J_1 + J_2}}$ $\beta_2 = \sqrt{\frac{2J_2}{J_1 + J_2}}$
217	Частный случай задачи 216: жесткости стоек равны $J_1 = J_2 = J_c$ ($m=1$).			$\beta = 1$

Задача	Характеристика	Схема	Коэффициенты	коэф. β
218	Частный случай задачи 214: сжимающая сила во второй стойке отсутствует. $N_2 = 0$ ($n = 0$).			$\beta = \sqrt{\frac{J_1}{J_1 + J_2}}$
219	Частный случай задачи 218: жесткости стоек равны $J_1 = J_2 = J_p$ ($m = 1$).			$\beta = 0,707$
220	Частный случай задачи 207: жесткость ригеля равна нулю $(J_p = 0)$.		$m = \frac{J_2}{J_1}$ $n = \frac{N_2}{N_1}$ сравни задачу 193.	$\beta_1 = 2 \sqrt{\frac{1+n}{1+m}}$ $\beta_2 = \sqrt{\frac{m}{n}} \beta_1$
221	Частный случай задачи 220: жесткости стоек $J_1 = J_2 = J_p$ ($m = 1$).		$n = \frac{N_2}{N_1}$ сравни задачу 194.	$\beta_1 = 2 \sqrt{\frac{1+n}{2}}$ $\beta_2 = \frac{\beta_1}{\sqrt{n}}$
222	Частный случай задачи 220: сжимающие силы в стойках равны $N_1 = N_2 = N$ ($n = 1$).		$m = \frac{J_2}{J_1}$ сравни задачу 195.	$\beta_1 = 2 \sqrt{\frac{2}{1+m}}$ $\beta_2 = \sqrt{m} \beta_1$
223	Частный случай задачи 222 жесткости стоек равны $J_1 = J_2 = J_p$ ($m = 1$).			$\beta = 2$ сравни задачу 196.

Задача	Характеристика	Схема	Коэффициенты	КСД β
224	Частный случай задачи 220: сжимающая сила во второй стойке отсутствует $N_2 = 0$ ($n = 0$)		$m = \frac{J_2}{J_1}$ сравни задачу 197.	$\beta = \frac{2}{\sqrt{1+m}}$
225	Частный случай задачи 224: жесткости стоеч равны $J_1 = J_2 = J_c$ ($m = 1$).			$\beta = 1,414$ сравни задачу 198.
226	Симметричная П-образная рама с несмещающимися узлами, стойки защемлены.		$k = \frac{J_p h}{J_c l}$ $n = \frac{N_2}{N_1}$	β_1 по рис. 106 (смр. 139) $\beta_2 = \frac{\beta_1}{\sqrt{n}}$
227	Частный случай задачи 226: сжимающие силы в стойках равны $N_1 = N_2 = N$ ($n = 1$).		$k = \frac{J_p h}{J_c l}$	β по рис. 107 (смр. 140)
228	Частный случай задачи 226: сжимающая сила во второй стойке отсутствует $N_2 = 0$ ($n = 0$).		$k = \frac{J_p h}{J_c l}$	β по рис. 107 (смр. 140)
229	Частный случай задачи 226: бесконечно жесткий ригель ($J_p = \infty$).			$\beta_1 = 0,5$ $\beta_2 = 0,5$
230	Частный случай задачи 226: жесткость ригеля равна нулю ($J_p = 0$).			$\beta_1 = 0,7$ $\beta_2 = 0,7$

Двухпролетная рама с шарнирно закрепленными стойками

Задача	Характеристика	Схема	Коэффициенты	КСД β
231	Двухпролетная рама с шарнирно закрепленными стойками, сжата крайняя стойка.		$k = \frac{J_p h}{J_c l}$	β по рис. 108 (смр. 141)
232	Двухпролетная рама с шарнирно закрепленными стойками, сжата средняя стойка.		$k = \frac{J_p h}{J_c l}$	β по рис. 108 (смр. 141)
233	Двухпролетная рама с шарнирно закрепленными стойками, сжаты обе крайние стойки.		$k = \frac{J_p h}{J_c l}$	β по рис. 109 (смр. 142)
234	Двухпролетная рама с шарнирно закрепленными стойками, сжаты две смежные стойки.		$k = \frac{J_p h}{J_c l}$	β по рис. 109 (смр. 142)
235	Двухпролетная рама с шарнирно закрепленными стойками, сжаты все три стойки.		$k = \frac{J_p h}{J_c l}$	β по рис. 110 (смр. 142)

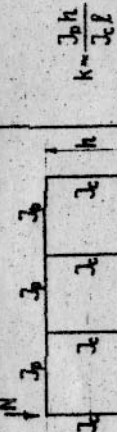
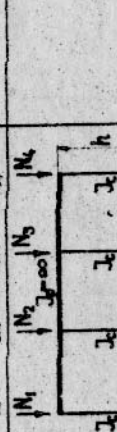
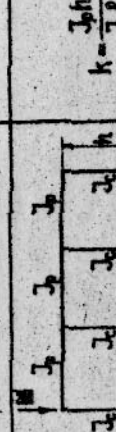
Задача	Характеристика	Схема	Множитель	Коэффициент
236	Двухпролетная рама с шарнирно закрепленными стойками, бесконечно жесткий ригель.	$N_1 \quad J_p = \infty \quad N_2 \quad N_3$ 	$\beta = 2 / \frac{N_1 + N_2 + N_3}{3N_1}$	$(l=1,2,3)$
237	Частный случай задачи 236: скажем одна стойка. $(N_2 = N_3 = 0)$.	$N_1 \quad J_p = \infty \quad N_2 \quad N_3$ 	$\beta = 1,154$	
238	Частный случай задачи 236: скажем две стойки $(N_3 = 0)$.	$N_1 \quad N_2 \quad J_p = \infty \quad N_3$ 		$\beta = 1,633$
239	Частный случай задачи 236: скажем две силы в стойках однаковы $(N_1 = N_2 = N_3 = N)$.	$N_1 \quad J_p = \infty \quad N_2 \quad N_3 \quad N$ 		$\beta = 2$

Двухпролетная рама с защемленными стойками

Задача	Характеристика	Схема	Коэффициенты	Коэф. β
240	Двухпролетная рама с защемленными стойками.		$k = \frac{J_p h}{J_c l}$	$\beta_1 = \frac{12+35k}{6+35k} \sqrt{\frac{N_1+N_2+N_3}{3N_1}}$ $\beta_2 = \frac{12+35k}{6+35k} \sqrt{\frac{N_1+N_2+N_3}{3N_2}}$ $\beta_3 = \frac{12+35k}{6+35k} \sqrt{\frac{N_1+N_2+N_3}{3N_3}}$ $\beta = 1,2,3$
241	Частный случай задачи 240: сжатая крайняя стойка $(N_2 = N_3 = 0)$.		$k = \frac{J_p h}{J_c l}$	$\beta = 0,577 \frac{12+35k}{6+35k}$ или по рис. 111 (стр. 143)
242	Частный случай задачи 240: сжатая средняя стойка $(N_1 = N_3 = 0)$.		$k = \frac{J_p h}{J_c l}$	$\beta = 0,577 \frac{12+35k}{6+35k}$ или по рис. 111 (стр. 143)
243	Частный случай задачи 240: сжаты обе крайние стойки $(N_2 = 0)$.		$k = \frac{J_p h}{J_c l}$	$\beta = 0,816 \frac{12+35k}{6+35k}$ или по рис. 112 (стр. 144)
244	Частный случай задачи 240: сжаты обе смежные стойки $(N_3 = 0)$.		$k = \frac{J_p h}{J_c l}$	$\beta = 0,816 \frac{12+35k}{6+35k}$ или по рис. 112 (стр. 144)
245	Частный случай задачи 240: сжимающие силы в стойках одинаковы $(N_1 = N_2 = N_3 = N)$.		$k = \frac{J_p h}{J_c l}$	$\beta = \frac{12+35k}{6+35k}$ или по рис. 113 (стр. 145)

Задача	Характеристика	Схема	Коэффициенты	Коэф. β
246	Частный случай задачи 240: бесконечно жесткий ригель $J_p = \infty$.			$\beta_i = \sqrt{\frac{N_1 + N_2 + N_3}{3N_i}}$ $(i=1,2,3)$
247	Частный случай задачи 246: сажата одна стойка ($N_2 = N_3 = 0$).			$\beta = 0,577$
248	Частный случай задачи 246: сажаты две стойки ($N_3 = 0$).			$\beta = 0,816$
249	Частный случай задачи 246: сжимающие силы в стойках одинаковы ($N_1 = N_2 = N_3 = N$).			$\beta = 1$
250	Частный случай задачи 240: жесткость ригеля равна нулю ($J_p = 0$).			$\beta_i = 2\sqrt{\frac{N_1 + N_2 + N_3}{3N_i}}$ $(i=1,2,3)$
251	Частные случаи задачи 250: $N_2 = N_3 = 0$	см. схему задачи 250.	сравни задачу 236.	237 $\beta = 1,154$
252	$N_1 = N_2, N_3 = 0$			238 $\beta = 1,633$
253	Частные случаи задачи 250: $N_1 = N_2 = N_3$			239 $\beta = 2$

Трехпролетные рамы

Задачи	Характеристика	Схема	Коэффициенты	Коф. Р
254.	Трехпролетная рама с шарнирно закрепленными стойками, средняя одна стойка.		$k = \frac{3h}{4l}$	Р по рис. 114 (смр. 146)
255.	Трехпролетная рама с шарнирно закрепленными стойками и бесконечно жестким разъемом.		$\beta_l = \sqrt{\frac{N_1 + N_2 + N_3 + N_4}{N_l}}$ (l = 1, 2, 3, 4)	
256.	Трехпролетная рама с эпюрами моментов стойками.		$k = \frac{3h}{4l}$	$\beta_l = \frac{14+45k}{7+45k} \sqrt{\frac{N_1 + N_2 + N_3 + N_4}{4N_l}}$ (l = 1, 2, 3, 4)
257.	Частичный стержней заданы 256: средняя одна стойка.		$k = \frac{3h}{4l}$	Р по рис. 115 (смр. 147)

Многопролетные рамы

Задача	Характеристика	Схема	Коэффициенты	коэф. β
258	Многопролетная рама с шарнирно закрепленными стойками, симметричные силы в стойках равны.		$k = \frac{J_c h}{J_c l}$	при числе пролетов $n=1, n=4$ и $n=\infty$ β по рис. 116 (стр. 148)
259	Многопролетная рама с шарнирно закрепленными стойками и бесконечно жесткимriegелем.		n - число пролетов	$\beta_i = 2 \sqrt{\frac{N_1 + N_2 + \dots + N_n + N_{n+1}}{(n+1) N_i}}$ $(i=1, 2, \dots, n, n+1)$
260	Многопролетная рама с защемленными стойками.		$m = \frac{2n+3}{n+4} \cdot \frac{J_c h}{J_c l}$ n - число пролетов	$\beta_i = \frac{2+5m}{1+5m} \sqrt{\frac{N_1 + N_2 + \dots + N_n + N_{n+1}}{(n+1) N_i}}$ $(i=1, 2, \dots, n, n+1)$
261	Частный случай задачи 260: сокращающие силы в стойках равны ($N_1 = N_2 = \dots = N_{n+1}$).			при числе пролетов $n=1, n=4$ и $n=\infty$ β по рис. 117 (стр. 149)

$$\eta = \frac{N_2 f_2}{N_1 f_1}$$

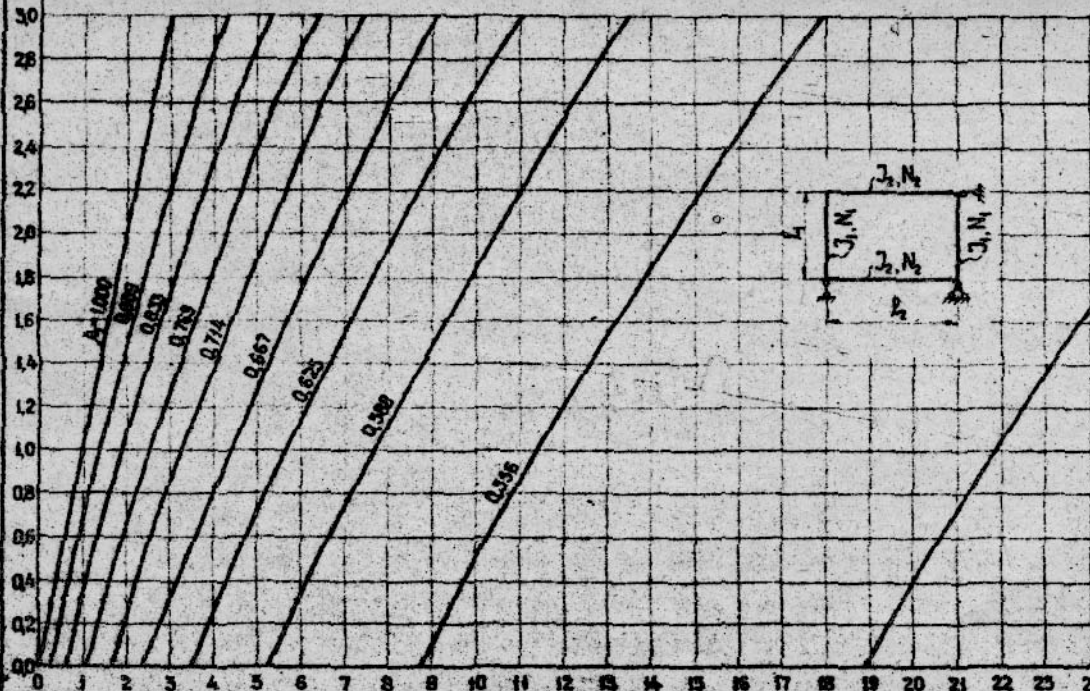


Рис. 81. Задача 158

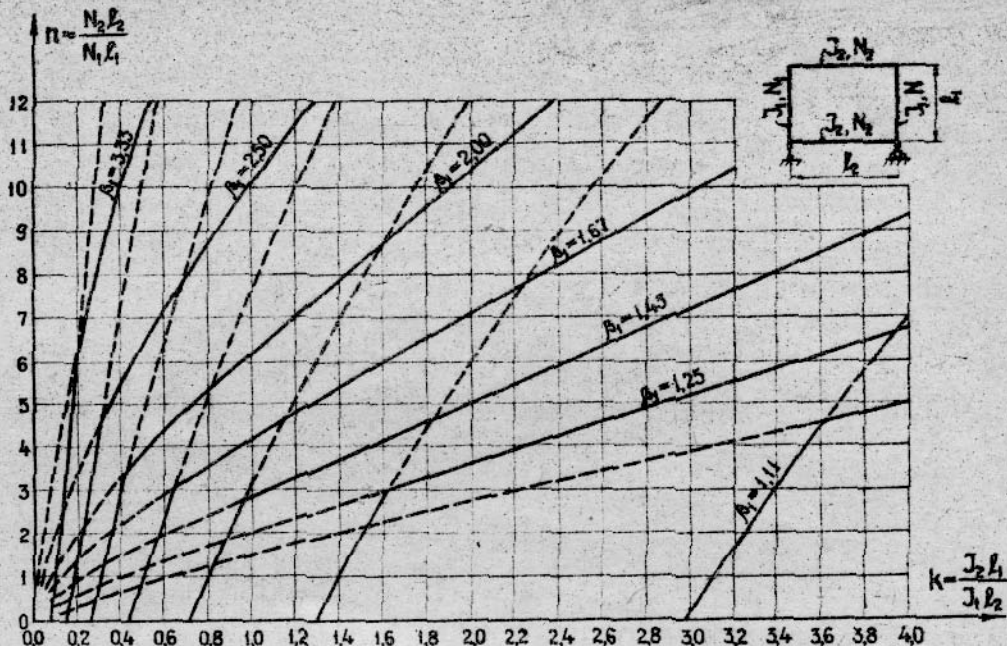


Рис 82. Задача 164.

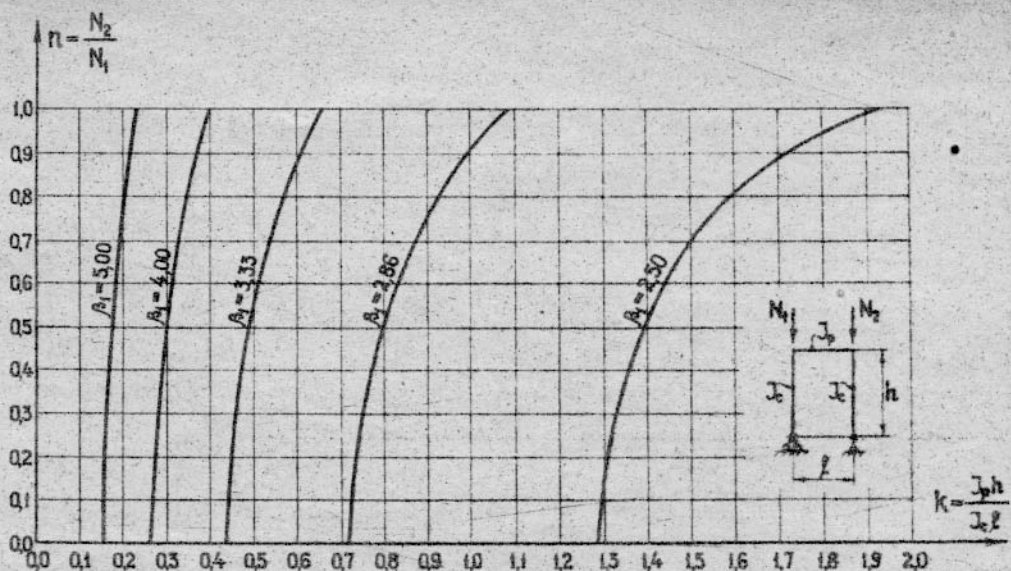


Рис. 85. Задача 168.

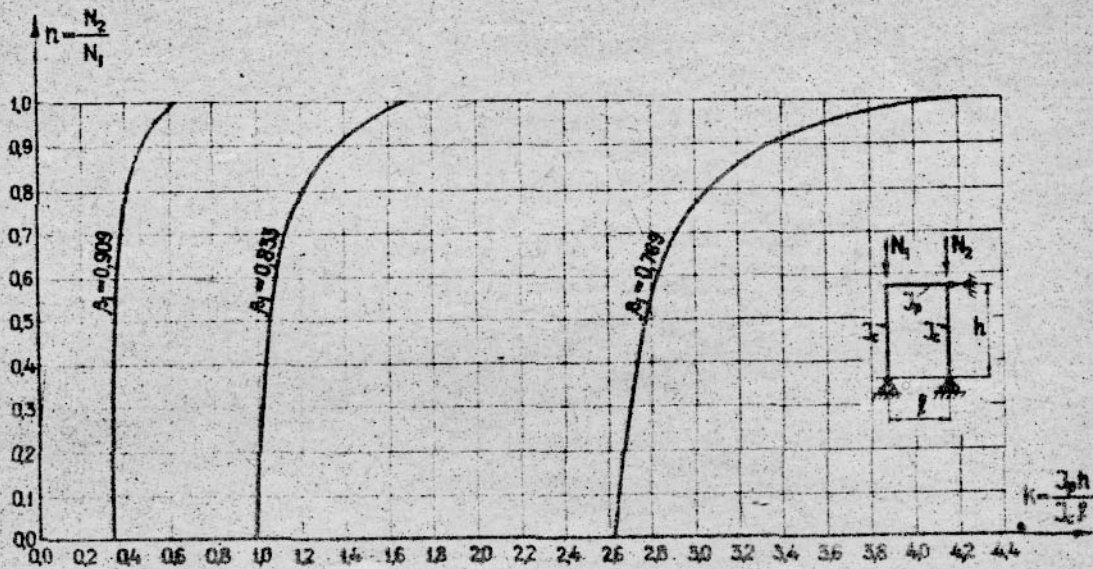


Рис. 84. Задача 172.

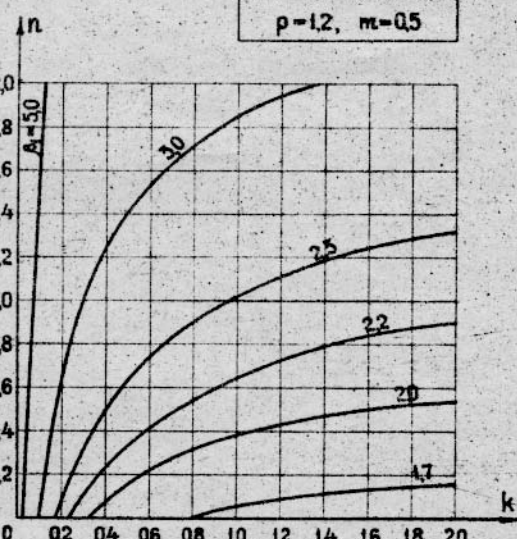


Рис. 85. Задача 178.

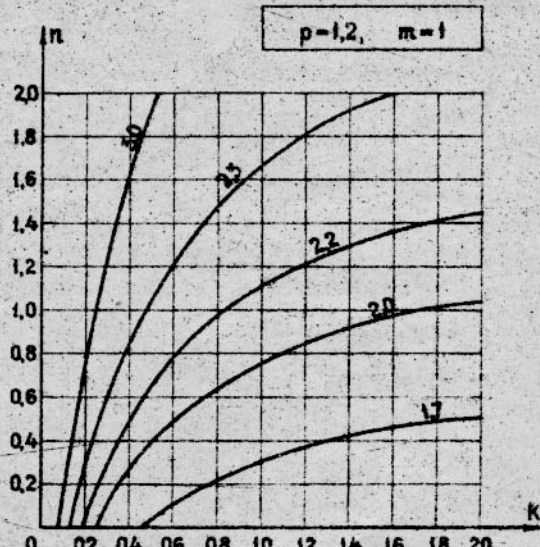


Рис. 86. Задача 183.

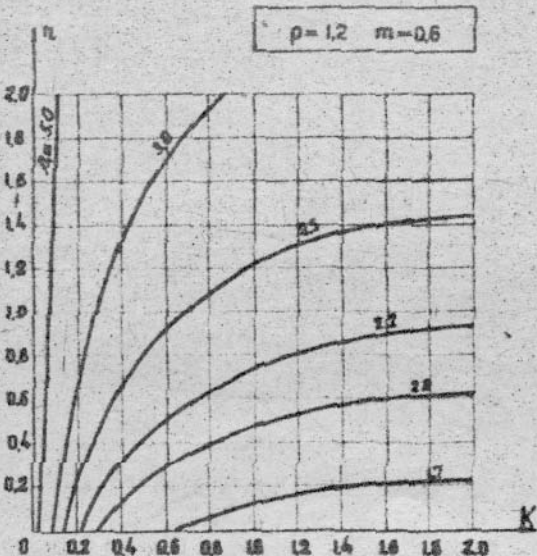


Рис. 87. Задача 172.

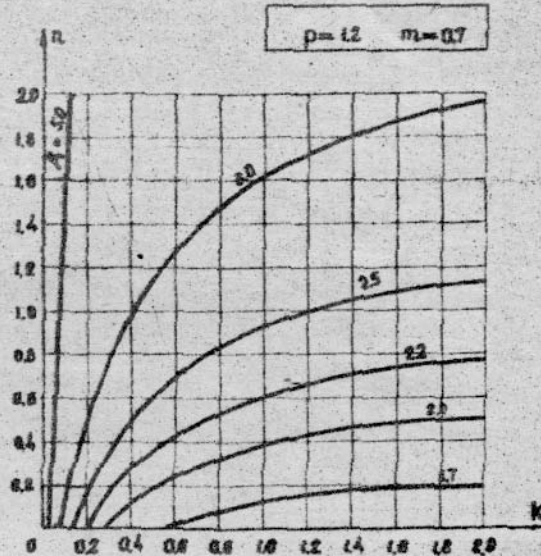


Рис. 88. Задача 180.

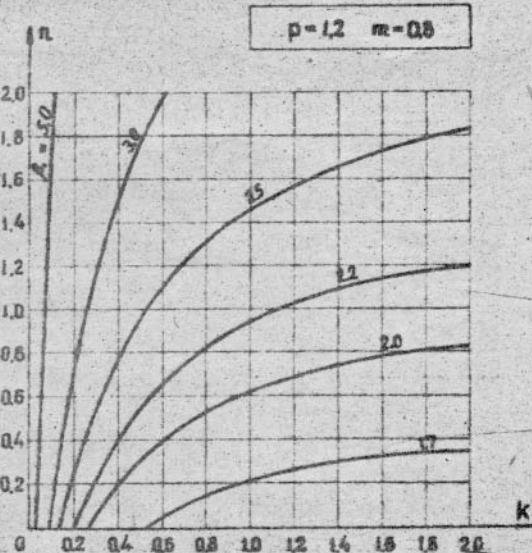


Рис.89 Задача 181.

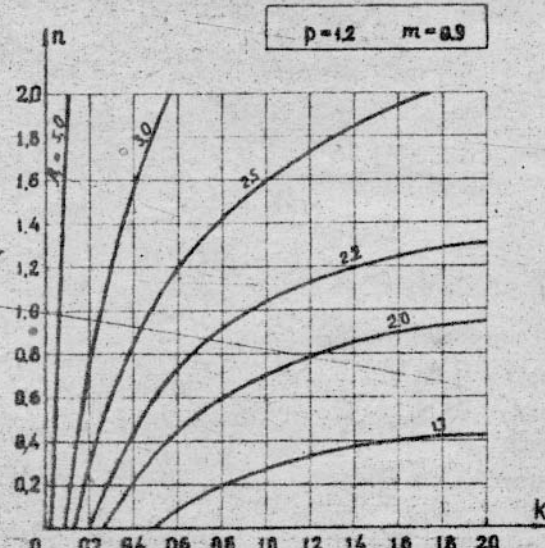


Рис.90 Задача 182.

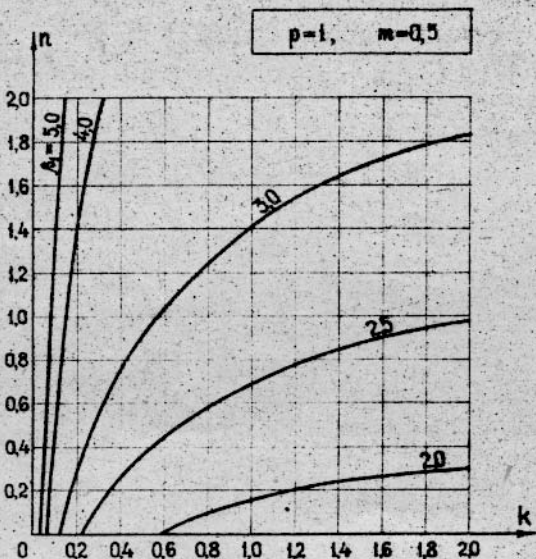


Рис. 91. Задача 185.

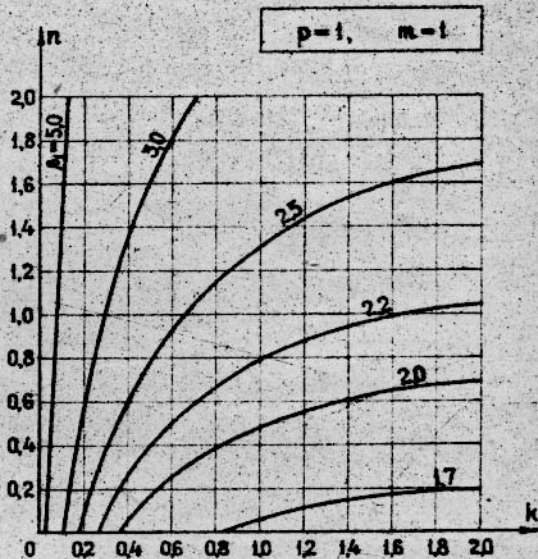


Рис. 92. Задача 190.

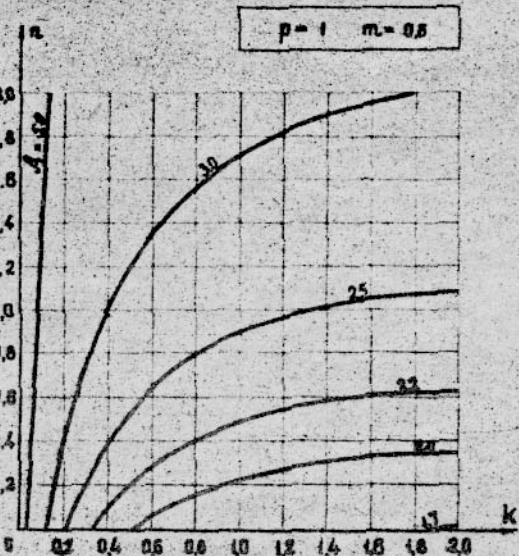


Рис.93 Задача 186.

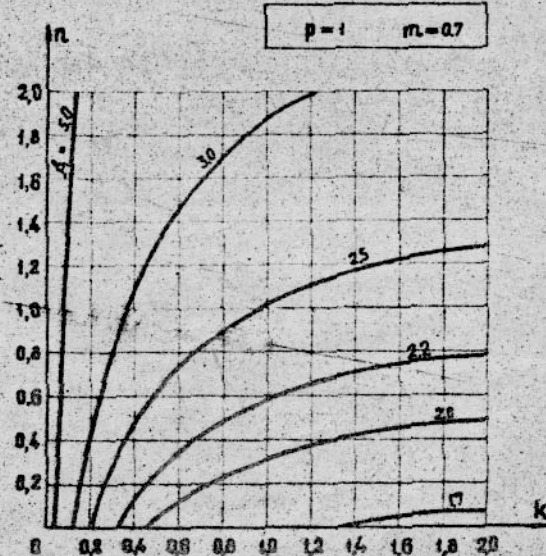


Рис.94 Задача 187.

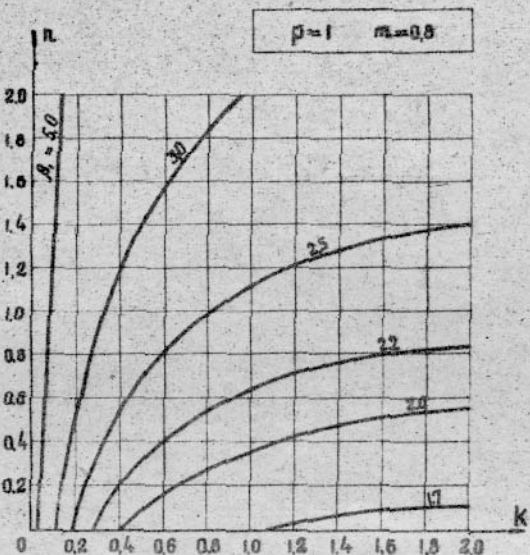


Рис.95 Задача 188.

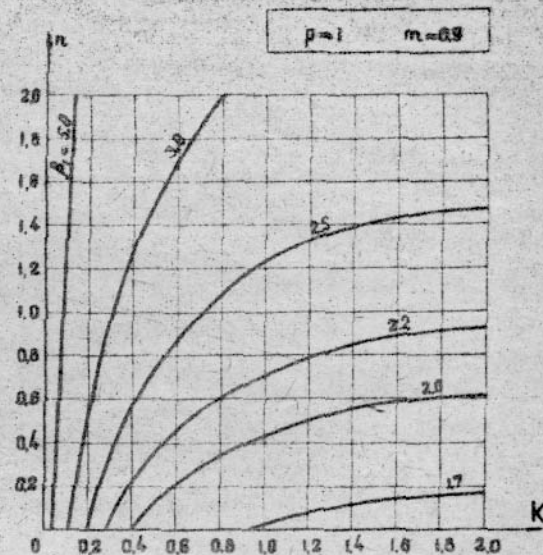


Рис.96 Задача 189.

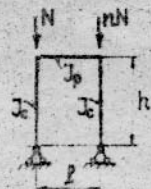
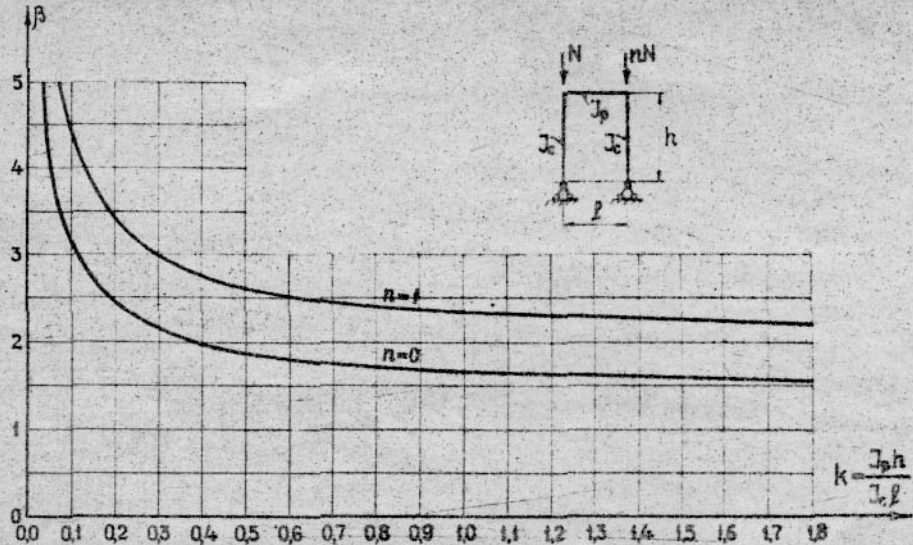


Рис.92 Задачи 191, 192.



Рис. 98. Задача 199.

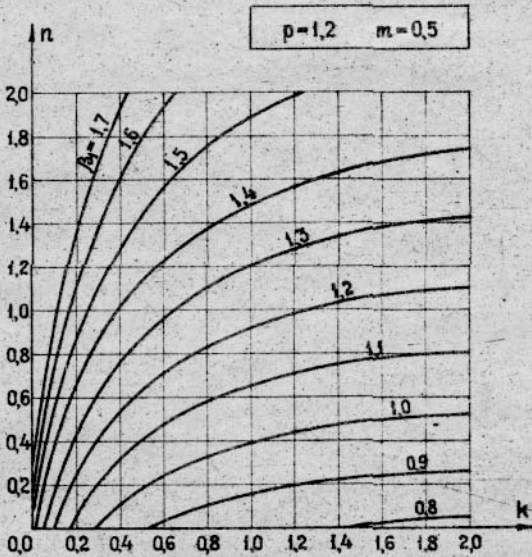


Рис.99 Задача 205.

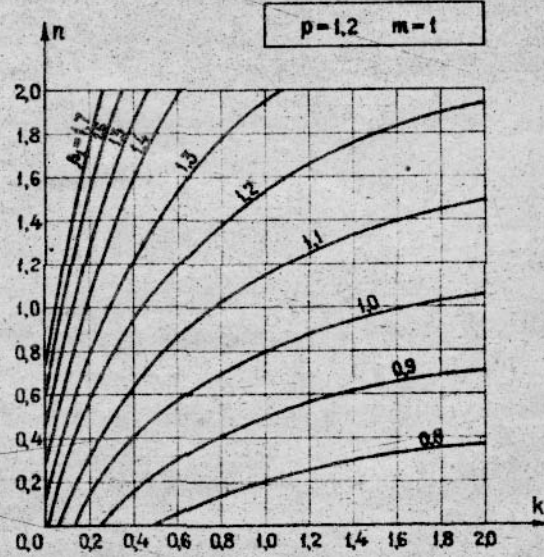


Рис.100. Задача 206.

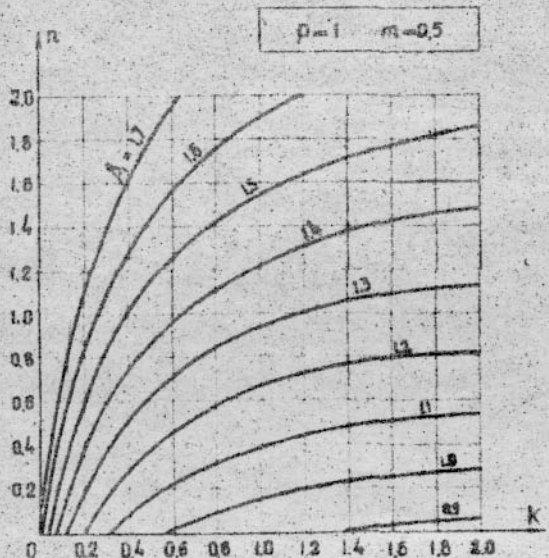


Рис. 101. Задача 208.

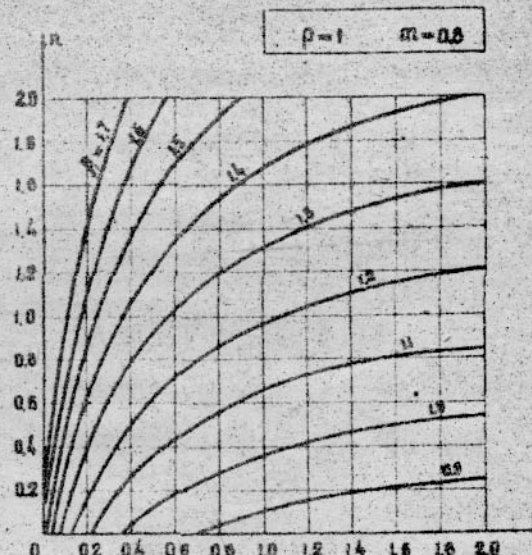


Рис. 102. Задача 209.

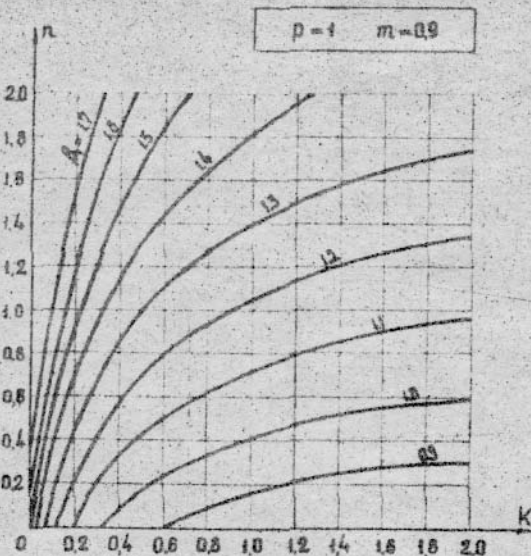


Рис. 103. Задача 210.

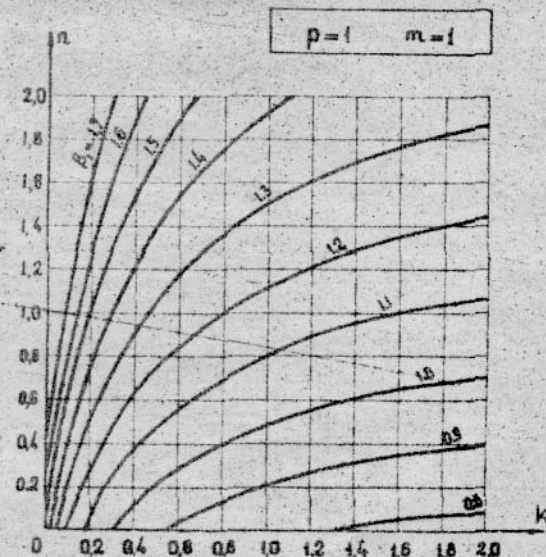


Рис. 104. Задача 211.

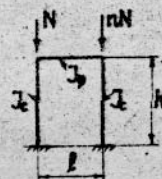
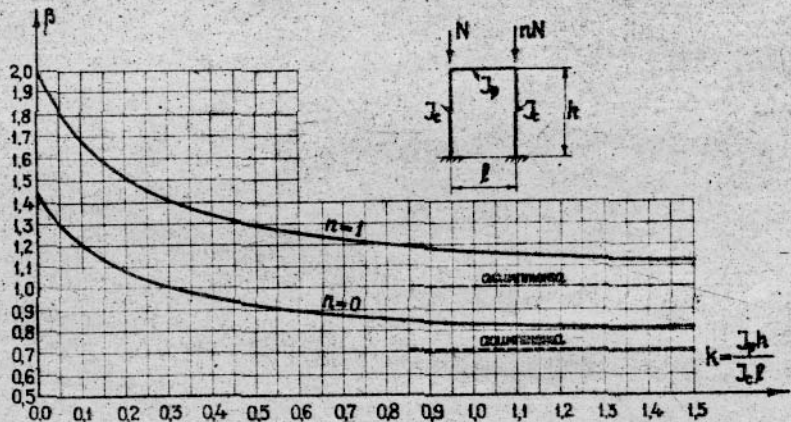


Рис. 105. Задачи 212, 213.

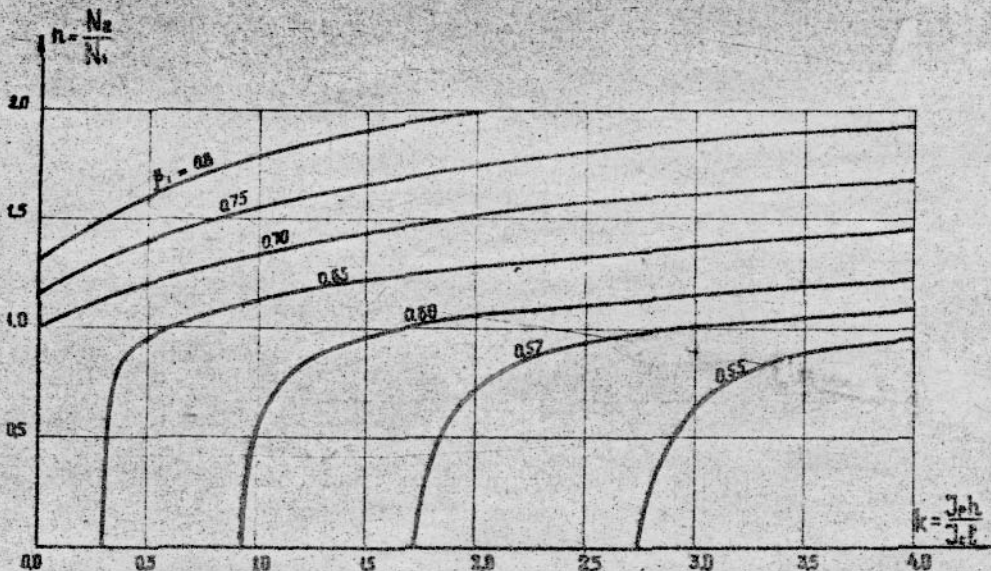


Рис 106. Задача 226.

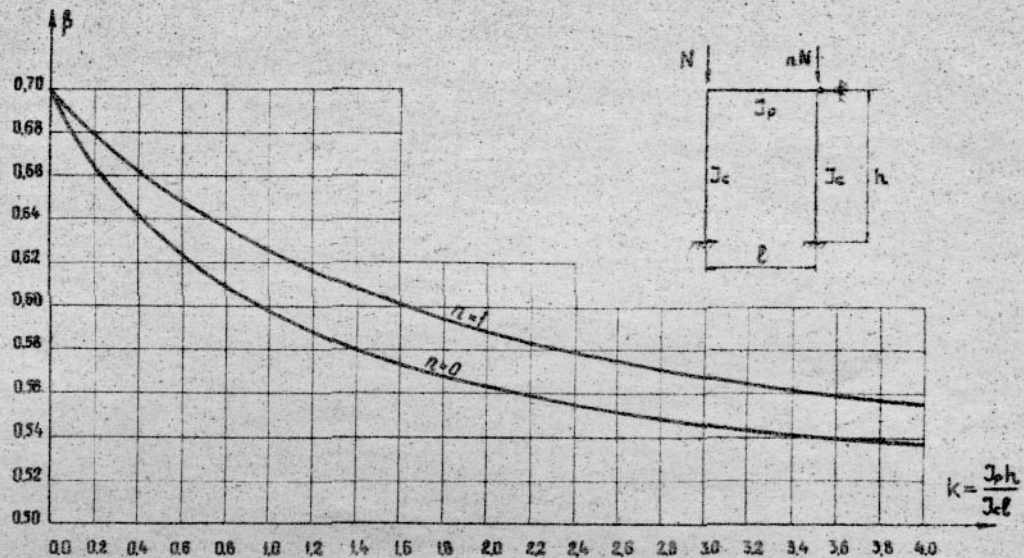


Рис. 107. Задачи 227 и 228.

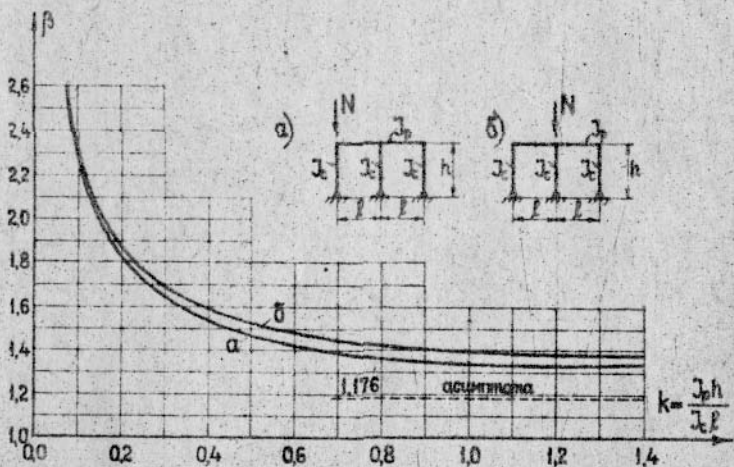


Рис. 108. Задачи 231 (а) и 232 (б).

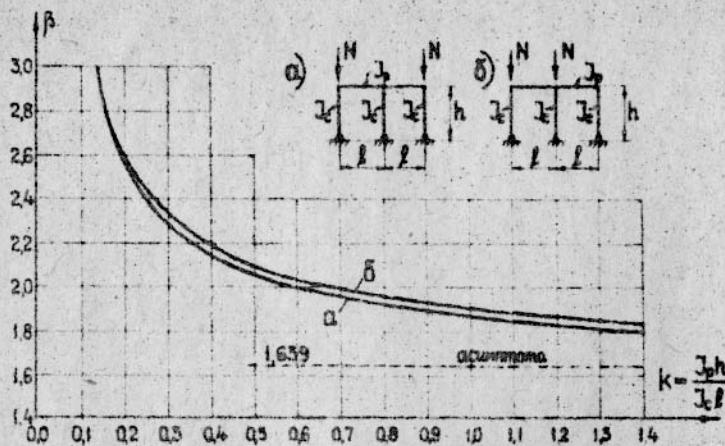


Рис 108. Задачи 233 (а) и 234 (б).

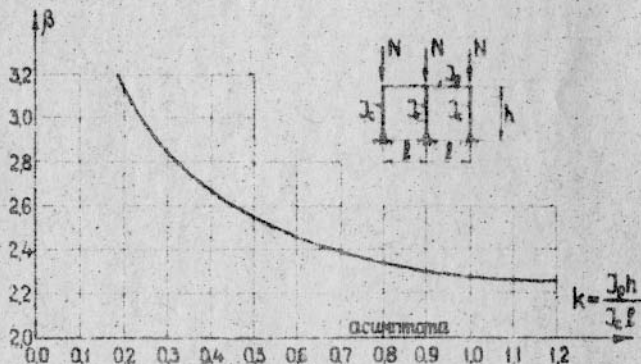


Рис 110. Задача 235.

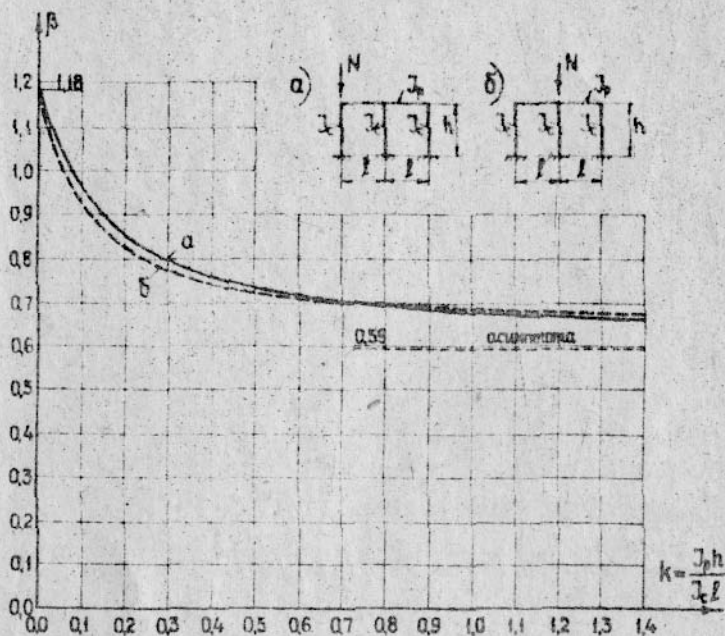


Рис. III. Задачи 241 (а) и 242 (б).

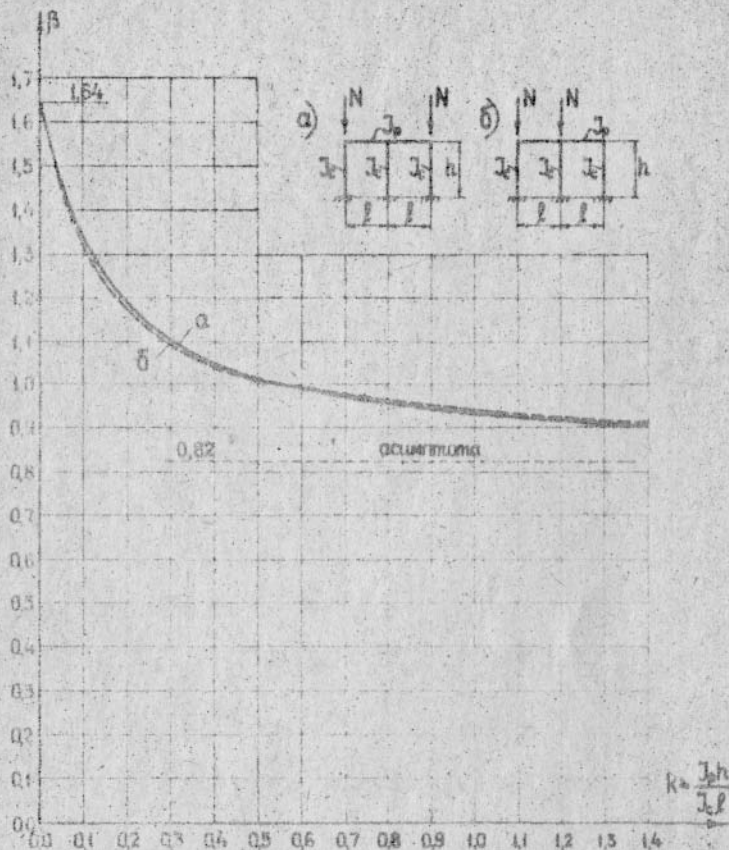


Рис. II2. Задачи 243 (а) и 244 (б).

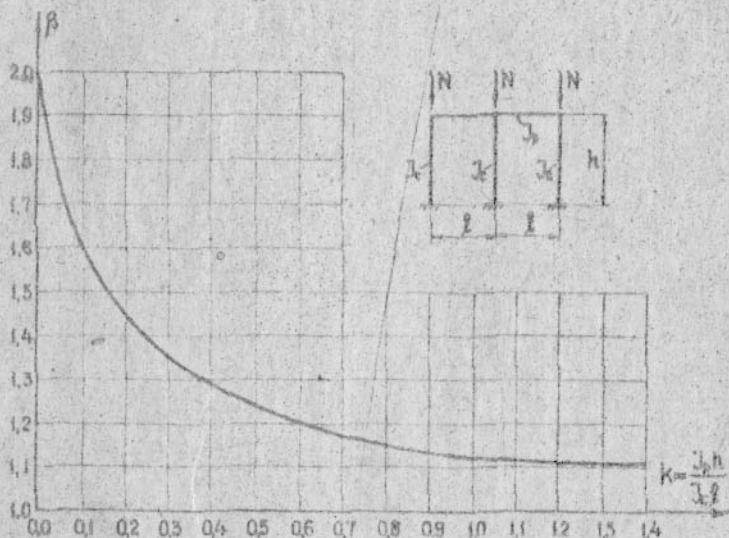


Рис II3. Задача 245.

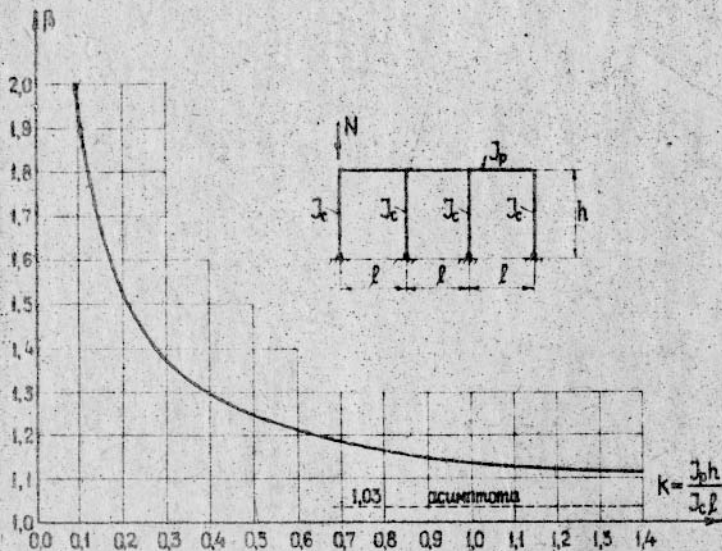


Рис. 114. Задача 254.

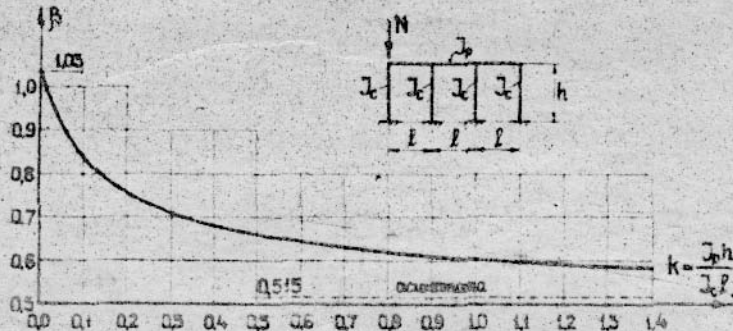


Рис 115. Задача 257.

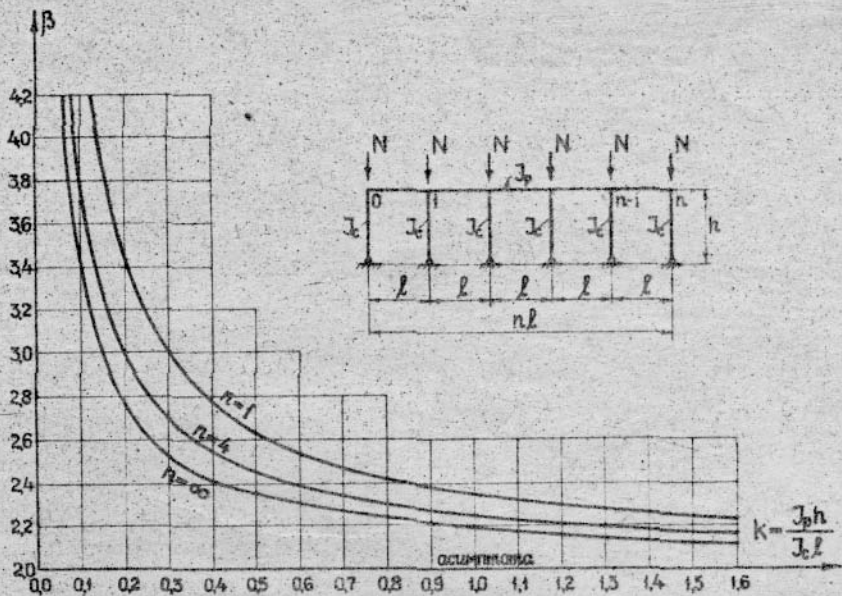


Рис. 116. Задача 258.

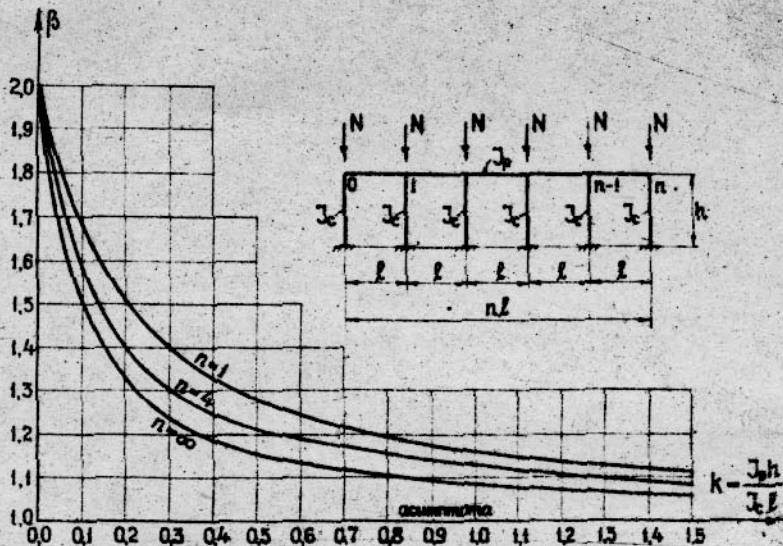
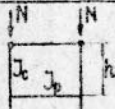
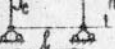
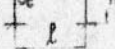
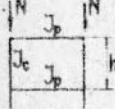
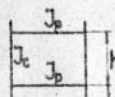
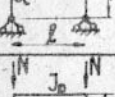
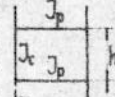
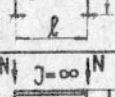
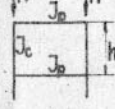
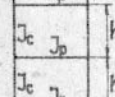
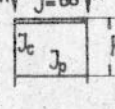
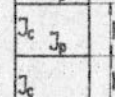
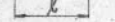


Рис. 117. Задача 261.

Глава восьмая
Многозатяжные рамы

Регулярные однопролетные многозатяжные рамы

Задача	Схема	Характеристика		Задача	Схема	Характеристика	
		Коэффици.	Ксд β			Коэффици.	Ксд β
262	  	Стойки шарнирно закреплены, жесткость верхнего ригеля равна нулю.		265	  	Стойки защемлены, жесткость верхнего ригеля равна нулю.	
263	  	Стойки шарнирно закреплены, жесткость всех ригелей одинакова.		266	  	Стойки защемлены, жесткость всех ригелей одна кова.	
264	  	Замкнутая рама, жесткость всех ригелей одна кова.		267	  	Стойки защемлены, жесткость верхнего ригеля равна бесконечности.	

Примечание. Значения Ксд β даны на графиках при числе этажей $n=2$, $n=3$ и $n=\infty$.

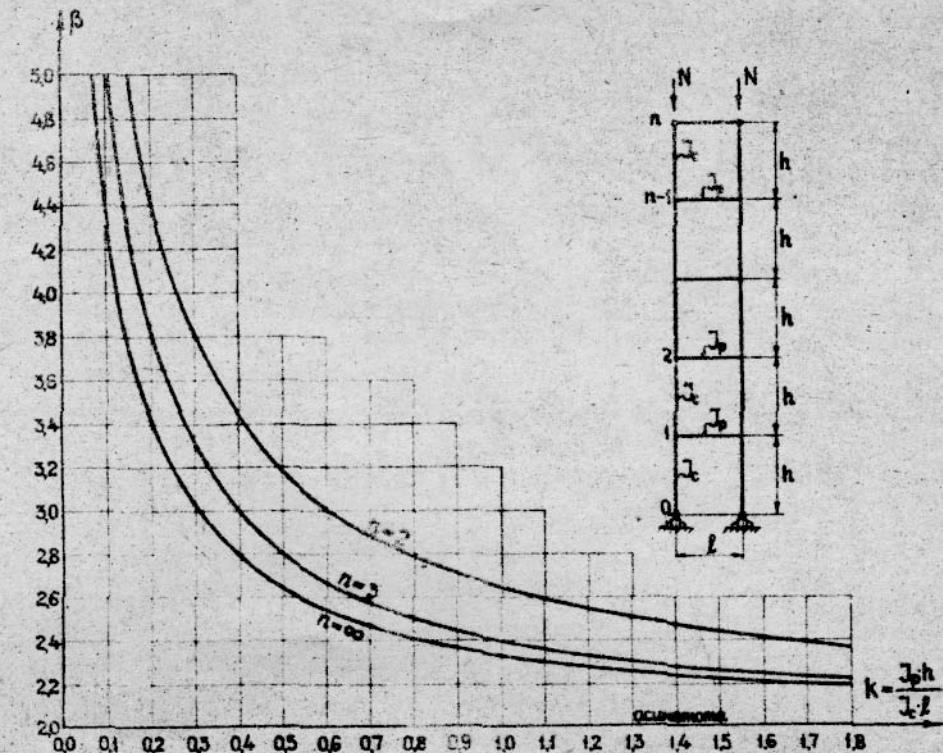


Рис. 118. Задача 262.

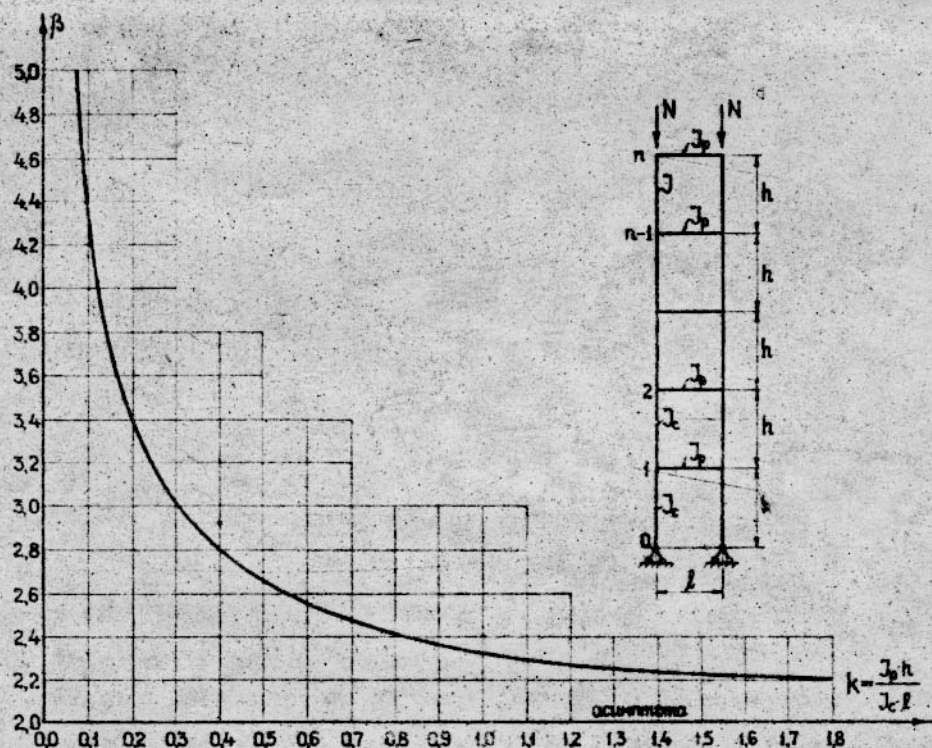


Рис. 119. Задача 263.

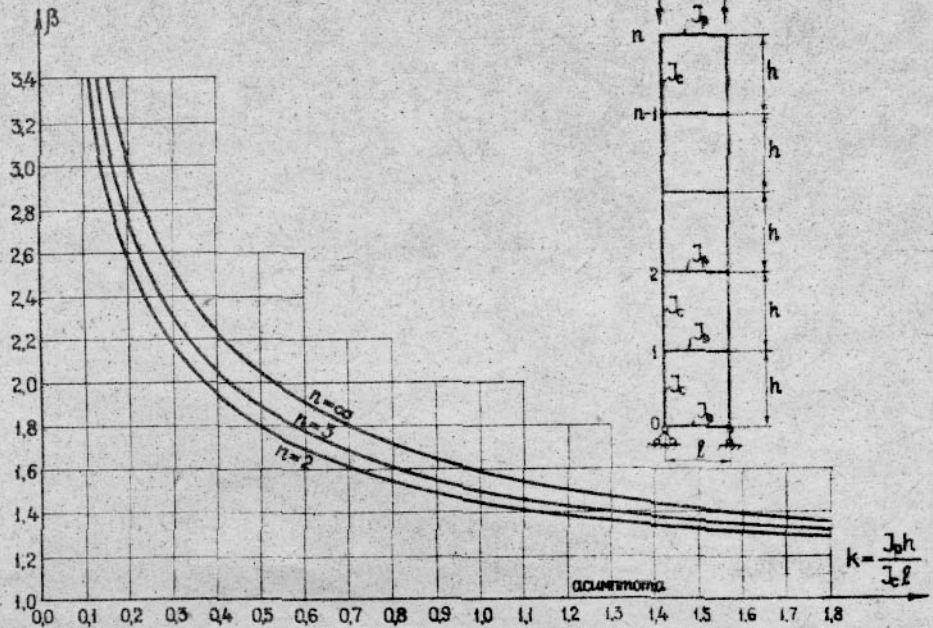
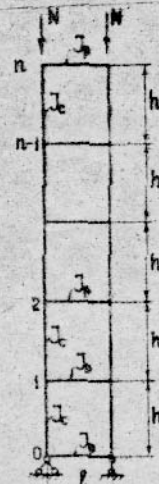


Рис. 120. Задача 264.



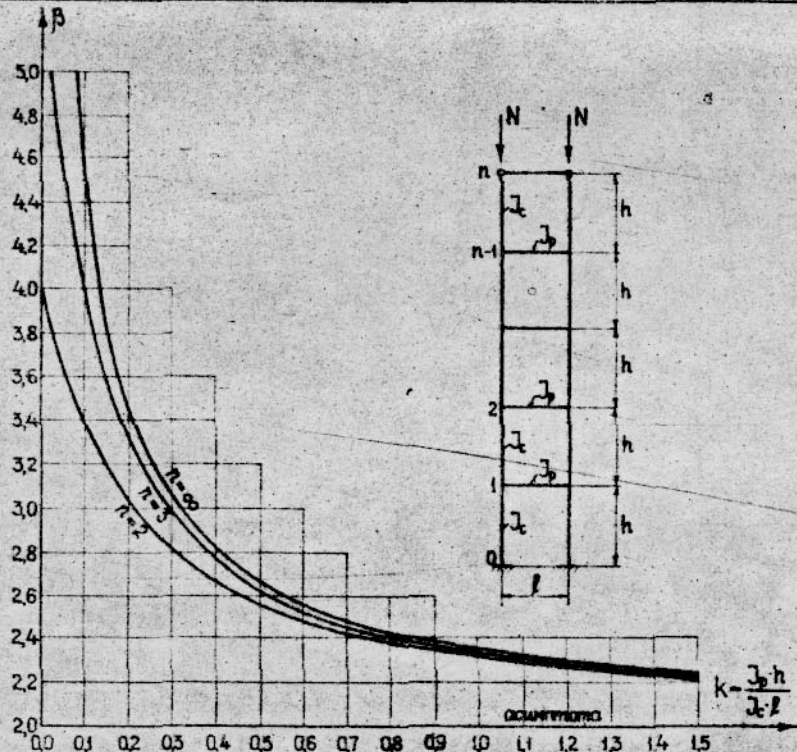


Рис. 121. Задача 265.

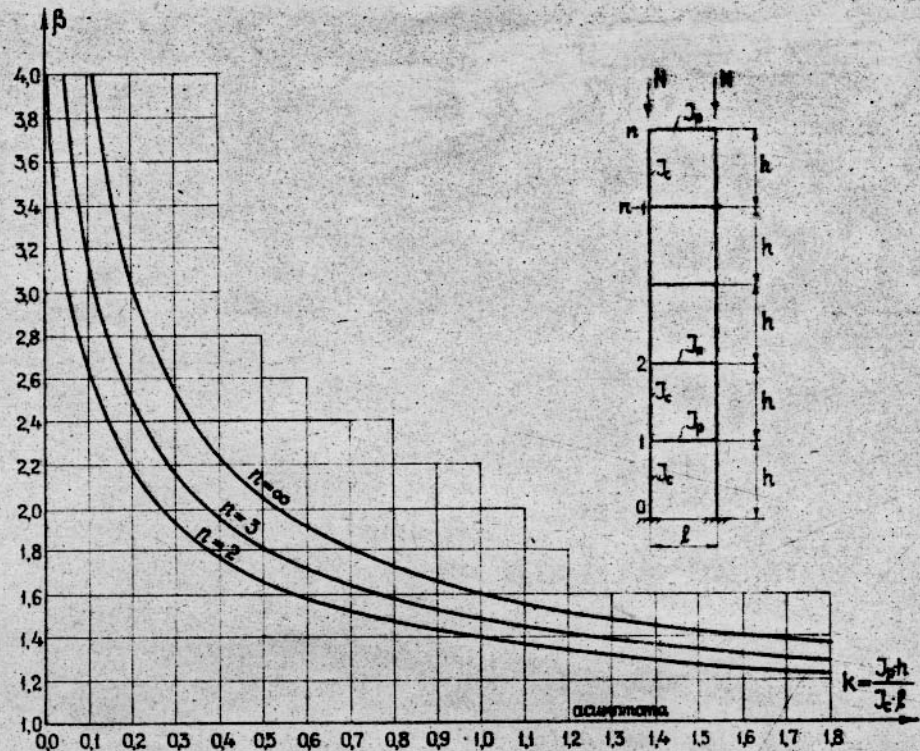


Рис. 122. Задача 266.

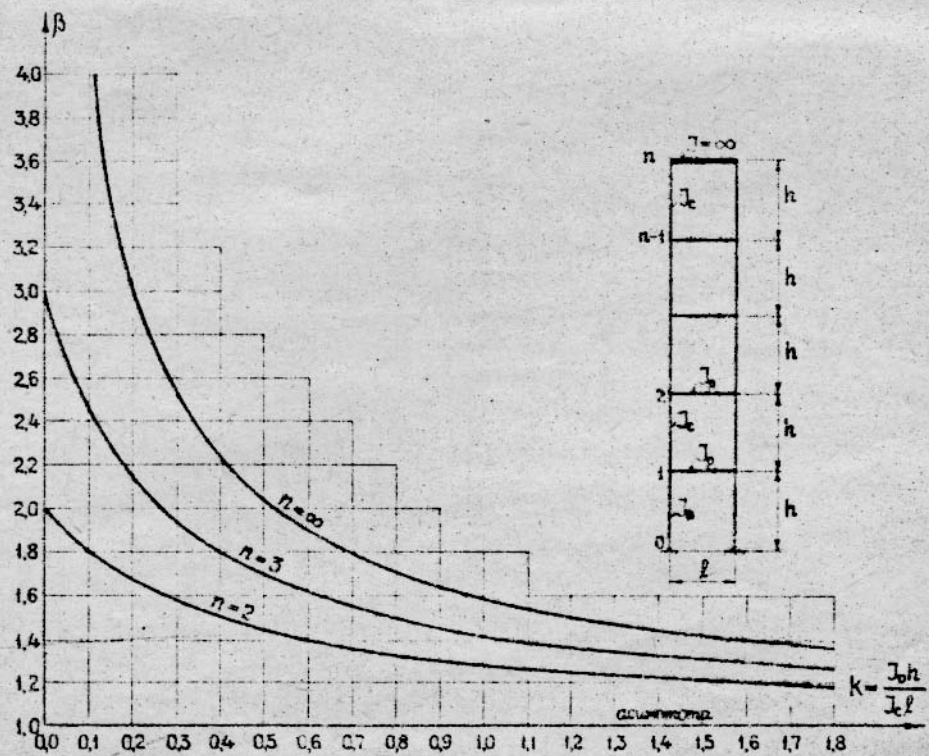
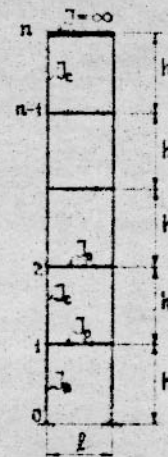


Рис. 123. Задача 267.



$$K = \frac{\beta_0 h}{\lambda l}$$

О Г Л А В Л Е Н И Е

	стр.
Предисловие	1
Введение	2
Сводка основных обозначений	4
<u>Глава первая. Однопролетные стержни, стержни с консолями</u>	
Однопролетные стержни с четко выраженными условиями закрепления концов (задачи 1-5)	5
Стержни с консолями (задачи 6-14)	6
Графики (рис. I-6)	8
<u>Глава вторая. Однопролетные стержни с упругими закреплениями</u>	
Однопролетные стержни с упругими зажимами (три и два упругих закрепления, задачи 15-27)	13
Однопролетные стержни с упругими зажимами (одно упругое закрепление, задачи 28-34)	17
Пояснение к номограмме	20
Номограмма и графики (рис. 8-26)	22
<u>Глава третья. Системы стержней с упругими соединениями</u>	
Шарнирная цепь из одного стержня (задачи 35-37)	33
	35

Шарнирная цепь из двух стержней (задачи 38-51)	36
Шарнирная цепь из трех стержней (задачи 52-62)	39
Регулярная шарнирная цепь из n стержней (задачи 63-69)	41
Система из двух упруго соединенных в карнизе стоеч с шарнирным закреплением основания (задачи 66-70)	42
Регулярная система из упруго соединенных в вершине стоек с шарнирным закреплением основания (задачи 71-72)	43
Регулярная система из упруго соединенных в вершине стоек с замкнутыми основаниями (задачи 73-74)	43
Последовательности упруго соединенных шарниро опорных балок (задачи 75-76) . . .	44
График (рис. 30-47)	45
 <u>Глава пятая. Неразрезные балки на нестких опорах</u>	59
Двухпролетная балка (задачи 77-101)	59
Трехпролетная рамка (задачи 102-122)	64
Регулярные многопролетные балки (задачи 123-125)	68
График (рис. 48-65)	69

<u>Глава пятая. Неразрезные балки на упругих опорах</u>	81
Неразрезные балки на крайних жестких и промежуточных упругих опорах (задача 126)	81
Регулярные неразрезные балки на крайних жестких и промежуточных упругих опорах (задачи 127-130)	82
Регулярные неразрезные балки на одной жесткой и прочих упругих опорах (задачи 131-134)	83
Регулярные неразрезные балки на упруго-закрепленных опорах (задачи 135-140)	84
Графики (рис. 66-75)	85
<u>Глава шестая. Пересекающиеся стержни</u>	95
Пересекающиеся стержни (задачи 141-145)	96
Шарниро-присоединенные стержни (задачи 146-151)	97
Стержень, опирающийся на поперечные балки (задачи 152-157)	99
Графики (рис. 76-80)	101
<u>Глава седьмая. Одностажные рамы</u>	105
Замкнутые рамы (задачи 158-167)	105
Однопролетные рамы с шарнирическими закреплениями стойками (задачи 168-198)	107
Однопролетные рамы с защемленными стойками (задачи 199-236)	112
Двухпролетная рама с шарнирическими закреплениями стойками (задачи 237-239)	117

Двухпролетная рама с защемленными стойками (задачи 240-253)	119
Трехпролетные рамы (задачи 254-257)	121
Многопролетные рамы (задачи 258-261)	122
Графики (рис. 8I-II?)	123
 <u>Глава восьмая. Многоэтажные рамы</u>	
Регулярные однопролетные многоэтажные рамы (задачи 262-267)	150
Графики (рис. II8-I28)	151

Исправление опечатки

Задача	Схема	
	напечатано	должно быть
II (смр. 7)	